

14 \*\*\*

МИНИСТЕРСТВО ГЕОЛОГИИ СССР  
ВСЕСОЮЗНЫЙ ОРДЕНА ЛЕНИНА  
НАУЧНО-ИССЛЕДОВАТЕЛЬСКИЙ  
ГЕОЛОГИЧЕСКИЙ ИНСТИТУТ (ВСЕГЕИ)

ГЕОЛОГИЧЕСКАЯ КАРТА СССР

Масштаб 1:1 000 000

(новая серия)

ОБЪЯСНИТЕЛЬНАЯ ЗАПИСКА

Лист L-(52), (53) — Пограничный

Редактор Ю. И. Майшева

Художник А. М. Гиман

Технический редактор Э. Г. Якубасова

Корректор Ю. И. Майшева

Сдано в набор 29.IX.1978 г. Пол. в печать 2.VII.1980 г.  
М-20709. Формат 70х108/16. Бумага тип. № 1.  
Высокая печать. Литограф. Гарн. Печ. л. 7½.  
Усл. печ. л. 9,9. Уч.-изд. л. 9,25. Тираж 750 экз.  
Заказ 354. Цена 90 коп.

Ленинградская картографическая фабрика объединения  
«Аэрогеология»

ГЕОЛОГИЧЕСКАЯ  
КАРТА  
СССР

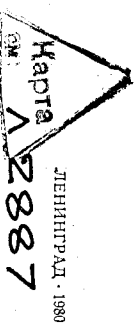
Масштаб 1:1 000 000

(новая серия)

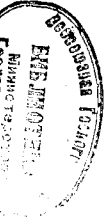
Объяснительная записка

Лист L-(52), (53) — Пограничный

Ответственный редактор Р. И. Соколов



2 6 9 5 2 9



ЛЕНИНГРАД · 1980

## ОГЛАВЛЕНИЕ

С篇章ия	Введение
Протерозой . . . . .	8
Палеозой . . . . .	13
Кембрийская система . . . . .	13
Силурийская система . . . . .	17
Девонская система . . . . .	18
Каменноугольная система . . . . .	19
Пермская система . . . . .	20
Мезозой . . . . .	22
Триасовая система . . . . .	29
Юрская система . . . . .	29
Меловая система . . . . .	30
Кайнозой . . . . .	32
Неогеновая система . . . . .	39
Четвертичная система . . . . .	42
Интузивные образования . . . . .	44
Тектоника . . . . .	49
Геоморфология . . . . .	79
Гидрогеологические условия . . . . .	89
Список литературы . . . . .	101
	112

**Геологическая карта СССР. Масштаб 1 : 1 000 000 (новая серия). Объяснительная записка. Лист 1-(52), (53) — Пограничный, 1980, 114 с. (Министерство геологии СССР, ВСЕГЕИ)**

Объяснительная записка к геологической карте обобщает фактический материал по стратиграфии, интузивным образованиям, тектонике, геоморфологии и истории геологического развития южной части Европейской автономной области, южной части Хабаровского, северной и северо-западной частей Приморского края. Использованы данные геологических и геофизических структур, разрезочных и поисковых скважин и основные результаты геологических исследований до 1970 г.

Книга рассчитана на широкий круг специалистов, интересующихся региональной геологией СССР.

Табл. 14, ил. 9, список лит. — 52 назв.

Материалы по листу 1-(52), (53) — Пограничный рассмотрены и одобрены к печати 4 июня 1973 г. на заседании Главной редакции Госгеокарты в составе: Е. В. Бабаевской, Ю. Р. Беккер, В. Н. Верещагин, Н. Н. Воронцов, Г. С. Гапешиц, А. Я. Дюлинский, Ю. С. Желобовский, И. К. Зайцев, К. Б. Ильин, Г. П. Клейман, З. А. Макаров, Ф. Г. Марков, С. А. Музылев (председатель), В. К. Путилов, Р. И. Соколов, В. В. Соловьев, Ю. И. Сытин.

## СПИСОК СОКРАЩЕНИЙ

### ВВЕДЕНИЕ

Б.— Большой (при назывании)	р.-и, р.-ны — район, -ы (при назывании);
басс.— бассейн, -ы	р.— река (при назывании)
В.— Восточный (при назывании)	рч.— речка (при назывании)
В — восток	ротл.— родник (при назывании)
г.— город (при назывании)	руч.— ручей (при назывании)
г, гг.— гол., -ы	с.— Северный (при назывании)
д.— деревня (при назывании)	с.— север
ж.-д.— железнодорожный, -ая	с.в.— северо-восток
З.— Западный (при назывании)	с.в.-з.— Северо-Восточный (при называ-
З— запад	ции)
зал.— залив, -ы	с3.— северо-запад
кипл.— киплак	с.з.— Северо-Западный (при называ-
кл.— клог (при назывании)	ни)
лев.— Левый (при назывании)	св.— село, селение (при назывании)
М.— Малый (при назывании)	скв.— скважина (при назывании и име-
м.— мыс (при назывании)	ре)
м-ние, м-ния — месторождение, -я (при	см.— смотри
назывании)	ср.— Средний (при назывании)
обл.— область (при назывании)	ур.— урошице (при назывании)
оз.— озеро (при назывании)	хр.— хребет, -ы (при назывании)
о-в, о-ва — остров, -а (при назывании)	ц.— Центральный (при назывании)
п-ов, п-ва — полуостров, -а (при называ-	ю.— Южный (при назывании)
ни)	ю.— юг
пос.— поселок (при назывании)	юв.— юго-восток
Пр.— Правый (при назывании)	ю.в.— юго-Восточный (при назывании)
прол.— пролив, -ы (при назывании)	юз.— юго-запад
Ю.-з.— Юго-Западный (при назывании)	ю.-з.— Юго-Западный (при назывании)

Территория листа Л- (52), (53) охватывает западные склоны Сихотэ-Алиня, отроги Восточно-Маньчжурской горной страны, южную часть Буреинского хребта, Западно-Приморскую равнину и юг Средне-Амурской равнины. Подробные «сведения о рельефе, водах и климате пригледены в книгах «Южная часть Дальнего Востока» [52] и «География Приморского края» [16].

В структурном отношении территории целиком расположаются во внешней зоне Тихоокеанского подвижного пояса. Восточная — большая ее часть захватывает Сихотэ-Алинскую складчатую систему, а западная — Ханкайский массив и юг Буреинского массива.

Сведения об истории геологического исследования территории изложены в работах Э. Э. Анерга [2, 3], П. Н. Кропоткина и др. [25], Н.А.Беляевского и др. [17, 35], Л. Н. Хетчикова [48], И. И. Берсенева [7], в ряде томов «Геология СССР» и в XXXII томе «Геология СССР» [18].

Район хорошо экономически освоен. В Лесозаводске, Дальнереченске, Бикине, Хоре имеются крупные предприятия по переработке древесины, а в г. Стасовке-Дальнем цементно-шиферный завод. Центрами угольной промышленности являются Листвовка, Ретчиовка, Лучегорск. Предприятия по добыче олова, цветных металлов и других полезных ископаемых расположены в Кавалеровском и Вознесенском рудных узлах. Имеются многочисленные месторождения разнообразных строительных материалов. Однако, несмотря на большой объем уже проведенных съемочно-поисковых работ, перспективы открытия новых месторождений полезных ископаемых остаются высокими.

Обнаженность района невысокомерная, но в целом плохая. Обнажения расположены в бортовых частях долин горных рек и реже на водоразделах. Скальные выходы образованы кремнистыми породами, известняками, массивными песчаниками и вулканическими породами. На склонах мощность делювия достигает 5—7 м.

В подготовке карты и объяснительной записки принимали участие сотрудники ВСЕГЕИ, Приморского территориального геологического управления и Института океанологии ДВФСО АН СССР.

Для увязки стратиграфических подразделений и подтверждения их геологического возраста и состава, а также проверки степени обоснованности разделения интрузий проведены специальные ревизионно-увязочные работы.

Несмотря на большую заснятость территории средне- и крупномасштабными съемками и значительное количество тематических исследований, некоторые вопросы геологического строения района остались еще решенными. Весьма слабо обоснованы стратиграфические схемы протерозоя и улахинской серии (карбон—пермь), не доказан пермский возраст ариадинской свиты. Спорным является возраст крупных массивов гранитоидов на юго-западе территории. Слабо изученными в отношении полезной минерализации остаются палеозойские вулканиты, кремнистые и территиные толщи и пермские субаэральные вулканиты.

Геологическая карта листа L-(52), (53) была подготовлена к изданнию в 1973 г., тогда же был написан и текст объяснительной записки.

Публикация последней значительно задержалась.

За истекший период с момента издания геологической карты и подготовки объяснительной записки появились дополнительные факты, позволяющие несколько по-иному трактовать возраст отдельных геологических объектов, что необходимо учитывать при чтении геологической карты и объяснительной записки. Так, на ПД Дальневосточном стратиграфическом совещании, состоявшемся в мае 1978 г. в г. Владивостоке, было принято решение о выделении в пределах Ханкайского массива архейских образований. В связи с этим решением матвеевская и ружинская свиты, входящие в имансскую серию и показанные на карте как нижнепротерозойские, отнесены сейчас к верхней части архея; а уссурийскую серию, включающую тургневскую, нахимовскую и созоневскую свиты, считают нижнепротерозойской. Удвоенен возраст и интервал определен от верхов нижнего протерозоя до низов верхнего (рифей).

Появились данные о более широком развитии девонских вулканогенных и вулканогенно-осадочных отложений в юго-восточной части Ханкайского массива, которые ранее относились к Верхней перми. На основании пересмотра флористических комплексов, содержащихся в породах сиантовской и богословской свит, ряд исследователей считает возможным отнести эти подразделения к датскому ярусу.

## СТРАТИГРАФИЯ

Сводный стратиграфический разрез, включающий образования от нижнего протерозоя до современных, лежащих выше 40 км. В соответствии со схемой районирования, принятой большинством исследователей, на территории листа L-(52), (53) выделяется ряд структурно-формационных зон, отличающихся типами разрезов (рис. 1). Протерозойские образования, представленные разнообразными гнейсами и кристаллическими сланцами, а также кембрийские, преимущественно терригенные и карбонатные отложения, обнажаются только

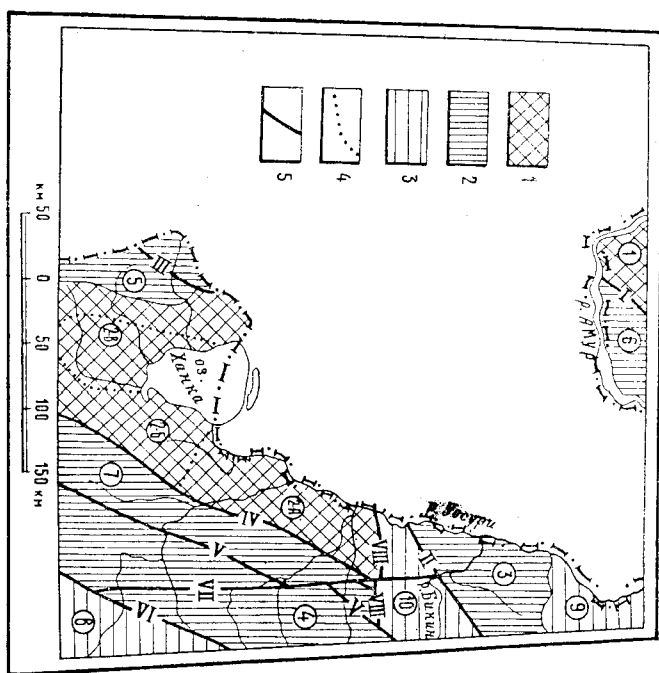


Рис. 1. Схема структурно-формационного районирования.  
1—3 — возраст структурно-формационных зон: 1 — протерозойско-раннепалеозойские, 2 — среднепалеозойские, 3 — позднепалеозойские.

Название зон (цифры в кружках): 1 — Буреинская, 2 — Ханкайская с подзонами: 2A — Сибирская, 2B — Благовещенская;

3 — Самурская, 4 — Лесозаводская, 26 — Спасская, 7 — Центрально-Сихотэ-Алиnsкая, 5 — Продетская, 9 — Вяземская, 10 — Даубинская, 8 — Восточно-Сихотэ-Алиnsкая;

Название разломов: 1 — Кукарский, 11 — Ачанская, III — Западный Амурский, IV — Западный Сихотэ-Алиnsкий, V — Даубинский, VI — Восточный Сихотэ-Алиnsкий, VII — Мерглиновский, VII — Центральный Сихотэ-Алиnsкий, VIII — Моринский.

в Ханкайской и Буренинской зонах. Наиболее полный разрез среднепротерозойских (песчано-сланцевых и вулканогенных) обнажениям наблюдается в Центрально-Сихотэ-Алиновской зоне, а кремнисто-алевролитовых — в Самурской зоне. Субаэральные и субакарные кислые и средние эфузивы первыми преобладают в Даубихинской зоне. Существенно мигеосинклинальные шестано-сланцевые отложения верхней перми, триаса, юры и мела развиты в Восточно-Сихотэ-Алиновской зоне. Меловые и третичные осадочные континентальные отложения, а также кислые, средние и основные эфузивы и их туфы обнаруживаются во всех зонах.

## ПРОТЕРОЗОЙ

Докембрийские метаморфические образования обнажены в Ханкайской, Буренинской и Даубихинской зонах. Возраст образований, особенно для нижних частей разреза, дискуссионен. А. З. Лазарев [27], Н. А. Беляевский [17], А. М. Смирнов [44], А. Ф. Шехоркина [5] и ряд

Таблица 1

### Схема сопоставления протерозойских отложений

Воз- раст	Ханкайская зона		Буренинская зона	
	Лесозаводская подзона	Спасская подзона	Вознесенская подзона	
Верхний протерозой				
Кабаргинская свита, 1000 м	Дальзаводская толща, 600—650 м	Муранданская свита, 480—550 м		
Лысогорская свита, 550—600 м	Лузановская толща, 950—1100 м	Игининская свита, 1000—1100 м		
Митрофановская свита, 2000 м		Дигурская свита, 1100—1200 м		
Спасская свита, 750—1000 м	Насыровская толща, 1200—1300 м	Союзинская свита, 1500—1700 м		
Не известны	Татьянов- ская свита, 2500 м	Не известны		
Средний протерозой				
Тургневская свита, 4300 м	Нахимов- ская свита, 3500 м	Не известны		
Матвеевская свита, 3000—3500 м	Не извест- ны	Тулунчинская свита, бóльше 500 м		
Ружинская свита, 2000 м				

## Нижний протерозой

К нижнему протерозою в Ханкайской зоне отнесены ружинская и матвеевская, а в Буренинской зоне — тулувчинская свиты.

Ружинская свита ( $PR_{n}z$ ) выделена Н. А. Беляевским [35]. Она выходит в ядрах брахиантектиналей у ст. Ружино, г. Дальнереченска, сел. Тамга, Матвеевка, Глазовка. Разрезы свиты изучены Ю. Н. Олейником в 1963 г. в районе сел Матвеевка и Глазовка. Свита сложена диопсидовыми мраморами, обрашающими толщи в 300—600 м, разделенными пачками биотитовых гнейсов и биотитовых, мусковит-биотитовых, графит-тремолитовых и диопсидовых сланцев. Мощность отдельных пачек сланцев и гнейсов — от 50 до 200 м. Графит в гнейсах местами образует промышленные скопления (Гамгинское месторождение).

Матвеевская свита ( $PR_{mt}$ ) выделена И. В. Мишкиной Е. П. Колесниковым в 1963 г. в районе с. Матвеевка. Ее разрезы изучались А. Ф. Крамчаниным, Б. П. Плодой и др. вблизи сел Невского и Пантелеймоновка, у г. Дальнереченск и ст. Ружино. В басс. р. Кедровка она согласно застолетия на мраморах ружинской свиты и представлена силимитовыми и биотитовыми сланцами, содержащими прослои кварцитов, гнейсов и мраморов. В окрестностях с. Матвеевка свита пограничена на три подсвиты. Нижняя мощностью около 500 м сложена биотитовыми, биотит-силлиманитовыми, пироксеновыми и диопсидовыми сланцами, а также мигматитами. Для второй подсвиты (2200—2300 м) характерно присутствие в ее средней части гранат-кордиеритовых кварцитов с прослоями диопсидовых мраморов, а в верхней части — железистых кварцитов. В верхней подсвите (700 м) преобладают порфириобластические гнейсы и биотитовые сланцы. Кроме них присутствуют пегматит-плагиоклазовых и пироксен-амфиболовых сланцев. Видимая мощность свиты 3000—3500 м.

Туло维奇инская свита ( $PR_{tl}$ ), сопоставляемая по положению в разрезе с матвеевской, развита только в Буренинской зоне. Поздним Л. В. Эйришем [1965], в басс. р. Самарка она сложена биотитовыми гнейсами, обильно насыщенными гранитным и полевошпатовым материалом метасоматического генезиса. Мощность свиты 500 м.

## Средний протерозой

Образования, отнесенные к среднему протерозою, развиты в Ханкайской зоне. В Лесозаводской подзоне — нахимовской и татьяновской, а в Спасской подзоне — нахимовской и татьяновской свитами. Тургневская свита ( $PR_{tr}$ ) выделена Е. П. Лепиковым, А. Ф. Крамчаниным и Б. П. Плодой в 1961 г. в басс. рек Кедровка, Тамга и Кабарга. Взаимоотношения свиты с подстилающими и перекрывающими отложениями неясны, так как выходы ее ограничены разломами. Вопрос о полном объеме и границах свиты до сих пор не решен. Е. П. Лепиковым в 1961 г. и Ю. Н. Олейником в 1967 г. в тур-

гнездовой свите выделяются две подсвиты. Южнее с. Ильмовка нижняя подсвита сложена биотитовыми, биотит-амфиболитами и амфиболитами сланцами и гнейсами с прослойками амфиболитов и линзами дисперсивных мраморов. Мощность отдельных горизонтов от 30 до 80 м. Мощность подсвиты в басс. р. Гамга 2280 м. В верхней подсвите мощностью около 2000 м преобладают биотитовые, биотит-мусковитовые и биотит-силиманитовые сланцы. Мощность горизонтов в этой подсвите — от 100 до 300 м. Видимая мощность свиты 4300 м.

На химовской свите ( $PR_{2nh}$ ) выделена в Стасской полозоне близ с. Нахимовка Ю. Я. Гротомовым [20] и детально описана М. А. Мишкиным в 1961 г. В районе сел Славинка и Руновка низы свиты сложены мигматитовыми биотитовыми гнейсами — артеритами, реже теневыми мигматитами, часто с микроклиновыми порфиробластами. В разрезе встречаются пластовые тела и линзы амфиболитов мощностью до нескольких метров. Близи сел Половладимировка и Нахимовка более высокие части свиты представлены тонкоколосчатыми биотитовыми и амфибол-биотитовыми сланцами и гнейсами. Полная мощность свиты не установлена, но, видимо, она более 3500 м.

Татьяновская свита ( $PR_{2t}$ ) на Нахимовской залегает согласно. В разрезе свиты, изученной М. А. Мишкиным и И. В. Мишкиной [32] в окрестностях сел Татьяновка, Зеленовка и Нововладимировка, наблюдается частое переслаивание биотитовых, биотит-диопсидовых, мусковит-биотитовых сланцев и реже гнейсов. Встречаются прослойки диопсид-амфиболитовых сланцев и амфиболитов. Мощность отдельных пачек пород от 10 до 130 м.

Установлено на этих участках свита подразделяется на три подсвиты: нижнюю, мощностью 850—1000 м, среднюю — до 350 м и верхнюю — около 1250 м. За границы подсвиты принимаются слои биотитовых гнейсов, мощность которых колеблется от 15 до 60 м. Общая мощность свиты 2500—2600 м.

Установлено к среднему протерозою ( $PR_2?$ ) отнесены сильно гранитизированные биотит-мусковитовые и диопсидовые сланцы и гнейсы, местами приобретающие облик теневых мигматитов, а также мраморы и амфиболиты. Эти породы развиты между с. Чкаловским и г. Лесозаводском и обнажаются небольшими фрагментами из-под четвертичных отложений. Контуры их распространения в большей части условны и на карте показаны в основном по геофизическим данным.

## Верхний протерозой

Верхнепротерозойские отложения выделены в Ханкайской и Буренской зонах, где они разделены на ряд свит и толщи.

К низам разреза в Ханкайской зоне, к ЮВ от г. Стасска и г. Лесозаводска, относена стасская свита, а у с. Вознесенка — насыровская толща. В Буренской зоне им соответствует соизненская свита.

Стасская свита ( $PR_{3s}$ ), впервые выделенная и описанная Ю. Я. Гротомовым [20] в междууречье Стасовка — Оларка, по данным И. В. Мишкиной [1965 г.], залегает на Татьяновской согласии. Полные разрезы свиты ниже не наблюдались. К югу от г. Стасска низы свиты сложены биотитовыми сланцами (иногда замещающимися по простиранию песчаниками), а верхи — мусковитовыми, биотитовыми и биотит-мусковитовыми сланцами. В басс. р. Стасовка в разрезе преобладают сложены биотитовыми сланцами, образующие горизонты от 60 до 125 м. Простой меньшей мощности слагают графитовые и хлоритовые сланцы. Общая мощность свиты здесь определяется в 1000 м.

На севере Ханкайской зоны, юго-восточнее с. Туриево, мощность свиты А. Ф. Крамчаниным и Е. А. Леликовым определяется в 725 м.

На этом участке в составе свиты преобладают мусковитовые сланцы с редкими простоями кварцитов.

В Вознесенской полозоне, в районе с. Вознесенска, к низам верхнего протерозоя отнесена насыровская толща ( $PR_{3ns}$ ), развитая в басс. р. Насыровка и прослеживающаяся на юге, к р. Абрамовка. Нижняя граница толщи неизвестна. Наиболее полно разрез толщи вскрыт горными выработками на водоразделе рек Насыровка и Паль Казачья. Толща сложена переслаивающимися серпентитовыми и серпентит-гематитовыми сланцами, алевролитами, кварцитовидными песчаниками, микрокаракитами и редко гравелитами. Мощность слоев микрокаракитов, представляющих собой перекристаллизованные кремнистые породы, — 30—55 м. Общая мощность толщи без базальных слоев 1200—1300 м. Характерной для всех пород толщи является красная и фиолетовая окраска.

Соезнская свита ( $PR_{3sz}$ ), выделенная С. А. Музылевым в Буренской зоне, по составу подразделена Л. В. Эйришем на две подсвиты. Нижняя подсвита (900—1000 м) сложена кварц-слюдяными, силиманитовыми, гранатовыми, полевошпатовыми, амфиболитовыми и другими кристаллическими сланцами, а также кварцитами и микрогнейсами. Внутри подсвиты наблюдаются прослои мраморов мощностью до 50 м. Верхняя подсвита (600—700 м) сложена преимущественно графитонистыми кварцитами, силиманитовыми, полевошпатовыми и графитовыми сланцами, содержащими редкие прослои мраморов. Содержание графита в графитовых сланцах достигает 10—15%, но встречаются прослои и чистого графита. Вверху подсвиты преобладают кристаллические сланцы и микрогнейсы. Мощность свиты в целом — 1500—1700 м.

Более высокие части разреза верхнего протерозоя в разных зонах и подзонах в связи с разнородным составом отложений получили различные наименования.

В Стасской подзоне к этой части разреза отнесены митрофановская и лысогорская свиты.

Митрофоновская свита ( $PR_{4mt}$ ), по данным Е. П. Леликова и А. Ф. Крамчанина, имеет постепенные переходы со стасской свитой, и севернее с. Митрофоновка сложена в основном графитовыми и мусковит-графитовыми сланцами с подчиненным количеством серпентитовых и серпентит-хлоритовых сланцев и амфиболитов. Мощность свиты 600—700 м.

Наиболее полные разрезы свиты описаны И. В. Мишкиной в басс. р. Стасовка, где эти отложения ранее включались в состав стасской свиты. Здесь митрофоновская свита делится на три подсвиты (500 м) сложена чередующимися слоями хлорит-биотитовых, серпент-биотитовых, хлорит-серпент-биотитовых и графитовых сланцев и, в меньшем количестве, графитовых кварцитов. Мощность слоев внизу — 25—50 м, вверху — 100—150 м. Средняя подсвита (1300 м), в отличие от нижней, почти не содержит графитонистых пород, но в ней появляются прослои и пачки кварц-серпентитовых, мусковитовых и серпент-хварц-титанитовых сланцев. Мощность пачек от 30 до 150 м. Верхняя подсвита (200—250 м) представлена слюдисто-графитовыми сланцами. Общая мощность свиты около 2000 м.

Северо-западнее с. Митрофоновка разрез наращивается согласно залегающей лысогорской свитой, сложенной преимущественно мраморизованными известняками, среди которых восточнее горы Лысая Сопка имеются пачки и прослои графитовых, амфибол-биотитовых и серпентитовых сланцев. В районе горы Лысая Сопка мощность свиты определяется в 550—600 м.

Иной состав имеют отложения, отнесенные к этой части протерозоя, в районе с. Вознесенка. Здесь согласно на насыровской толще залегает

толща, названная А. Ф. Крамчаниным лузаповской ( $PR_{3/2}$ ).

Весьма узкая толща подразделяется на две части, каждая из которых наиболее полно представлена в басс. р. Насыровка и районе Павловских высот, где она была изучена А. А. Рязанцевым. Всюду в основании подтолщики присутствует пачка шунгитовых сланцев, алевролитов и, реже, песчаников мощностью от 50—100 м по р. Насыровке до 150—200 м — в районе Павловских высот. Выше расположены горизонты (60—100 м) тонкогерстландающихся алевролитов и серицит-гематитовых сланцев фиолетово-красной и зеленовато-серой окраски. Верхние части разреза (около 250 м) характеризуются тонким чередованием шунгитовых сланцев, алевролитов и песчаников, также пестроокрашенных.

Мощность нижней подтолщики — 500—550 м. Верхняя подтолща (500—600 м) отличается от нижней только появлением редких прослоев известняков и доломитов. Общая мощность толщи — 950—1100 м.

В Буренинской зоне к этой части верхнего протерозоя отнесены литурская и гигинская свиты. Литурская свита ( $PR_{3/2}dt$ ) широко развита в басс. р. Маньчурука. Разрез свиты изучен Л. В. Эйришем в береговых обнажениях Амура, между устьями рек Белая и Пескотиха, где она согласно залегает на союзенской свите и внизу представлена светло-серыми среднекристаллическими полосчатыми мраморами с редкими прослоями стеклянных сланцев, кварцитов, филлитов, зелено-каменных пород. В средней части развиты мелкокристаллические тонкополосчатые мраморы и мраморизованные известняки, почтливилистенные прослои терригенных пород. Верхи свиты сложены мраморами с известняками с прослоями мергелистых известняков и филлитов. Мощность литурской свиты — 1100—1200 м.

Гигинская свита ( $PR_{3/2}g$ ) широко распространена восточнее долины р. Маньчурука, где она согласно перекрывает дитурскую свиту. Внизу свита сложена тонкозернистыми песчаниками с подчиненными прослоями алевролитов и глинистых сланцев мощностью от десяти сантиметров до первых метров. В верхах свиты сложены алевролиты и глинистые сланцы, преобладают над тонкозернистыми песчаниками. Мощность свиты — 1000—1100 м.

Отложения, отнесенные к верхам протерозоя, на севере и в центральной части Ханкайской зоны объединены в кабаргинскую свиту ( $PR_{3/2}k$ ), которая, по данным А. Ф. Крамчанина, в басс. р. Кабарга внизу сложена пачкой серицит-хлоритовых и серицитовых сланцев мощностью в 580 м, в средней части — кварцевыми и кварц-полевошпатовыми песчаниками, переслаивающимися с биотит-мусковитовыми сланцами (мощность 250—300 м), а вверху — двойниками и биотитовыми сланцами видимой мощностью более 120 м. Общая мощность свиты превышает 1000 м. К в. от г. Спасска-Дальнего кабаргинская свита, по данным И. В. Милькиной, залегает со скрытым угловым несогласием на подстилающих образованиях. Низы свиты (540—580 м) представлены кварц-серидитовыми, кварц-хлоритовыми, хлорит-серидитовыми и кварц-серидит-хлоритовыми филлитами. В верхах свиты преобладают известковистые песчаники при подчиненной роли кварц-серидитовых филлитов. Мощность пачки — 420 м, а всей свиты — около 1000 м.

На юге Ханкайской зоны, в Вознесенской подзоне, кабаргинской свите соответствует дальзоловская толща ( $PR_{3/2}d$ ), прослеживающаяся от совхоза Дальзавод до с. Благодатное. Толща отличается непостоянным и разнообразным составом пород. На восточных склонах горы Гремячка, вблизи с. Григорьевка, Ю. С. Липкиным и М. И. Липкиной в 1967 г. установлено согласное залегание дальзаводской толщи на шунгитовых сланцах лузаповской свиты. Низы толщи мощностью от 210 до 300 м представлены пачкой переслаивающихся алевролитов, песчаников и, реже, серидитовых сланцев. В нижней половине этой пач-

ки преобладают алевролиты, а в верхней — песчаники. Выше А. А. Рязаневым (1964 г.) установлено пересланение серицитовых и серицит-хлоритовых сланцев с известняками. Мощность отдельных прослоев — от десятка сантиметров до 5—6 м. Изредка присутствуют линзовидные прослоёчки кремнистых пород. В 50 м от кровли толщи в районе лысогоры 210,9 м встречены прослои аргиломератов кислого состава и туффи-тов мощностью до 10 м. Общая мощность толщи — 600—650 м. В середине толщи в органогенных известняках М. И. Липкиной обнаружены остатки сине-зеленых водорослей, сходных с формами из верхнего протерозоя Енисейского кряжа.

В Буренинской зоне к верхам протерозоя отнесена мурандавская свита ( $PR_{3/2}m$ ), широко развитая в междууречье Маньчуруки и Самары. Разрез свиты изучен М. В. Чебогаровым [134], который разделил ее на три подсвиты. Нижняя подсвита представлена массивными известняками, доломитами с линзами магнезиальных пород и известняков, и маломощными прослоями кремнисто-глинистых сланцев и доломитовых песчаников. В нижней части встречаются прослои глинистых сланцев [161]. Мощность подсвиты — 150—250 м. Средняя подсвита сложена полосатыми глинистыми сланцами, песчаниками, седиментационными брекчиями, конгломератами, общей мощностью от 30 до 200 м. Верхняя подсвита представлена массивными доломитами с водорослями типа *Collenia* и *Newlandia*. Присутствуют линзы магнезиальных сланцев, в верхних пади Широкая и р. Комисаровка, вблизи с. Карева. Отложения представляют однородными темно-бурыми, темно-мусковит-биотит-кальцевыми сланцами с невыдержаными кальцитовыми прослоями и линзами амфиболитов и слюдистых кальцитов. Разрез этой толщи изучен плохо, общая мощность ее определяется в 1500—1800 м.

## ПАЛЕОЗОЙ

### Кембрийская система

Кембрийские отложения обнажены в Ханкайской и Буренинской зонах, где они пространственно тесно связаны с верхнепротерозойскими толщами и близки с ними по характеру складчатости и метаморфизму. В настоящее время здесь выделяются алданский и ленский ярусы нижнего кембрия и нерасщепленные нижне-среднекембрийские отложения.

К алданскому ярусу в Спасской подзоне отнесены песчано-сланцевая толща и прохоровская свита. Песчано-сланцевая толща (более 800 м) имеет весьма ограниченное распространение. Она обнажена на левобережье р. Спассовки близ г. Спасска-Дальнего и по единичным выходам прослеживается до с. Евсеково. С верхнепротерозойскими отложениями взаимоотношения не выяснены. Более половины толщи состоят из полимиктовых песчаников. Из других пород установлены филлитовидные сланцы, известняки и кремнистые породы.

И. В. Милькина в известняках обнаружила органические остатки, среди которых определены археоплаты: *Archaeolithus sibiricus* \* П. К. Маркевич и В. И. Шорохов [112] относят эти образования к силуру — девону на основании сопоставления их с неметаморфизованными отложениями кордильской свиты силурийского возраста.

(Толл.), *Ajacicyathus* sp., *Protopharreta* и др.; водоросли *Eriphyton* cf. *scoparium* Когде и др.; трущие образования *Biotinella lineata* Reitl. и др.; катаграфии. Комплекс органических остатков позволяет, по мнению О. Г. Окуневой, отнести породы к средней части алданского яруса.

Прохоровская свита ( $\mathbb{E}_1 pr$ ). Stratотипический разрез свиты установлен Ю. Я. Громовым в 1959 г. у д. Прохоры, откуда она прослеживается на ЮВ до хр. Синего Западного и басс. р. Синегорка.

Разрез свиты детально изучался Ю. К. Таниным в 1960 г. и И. В. Мишкиной в 1965 г. на горе Медежя. Наибольший объем в свите занимают известняки различной текстуры: массивные, слоистые, брекчевые виды. Обычно известняки чистые, но встречаются мергелистые, доломитистые, битуминозные и др. В виде пластов и линз среди известняков залегают кремнистые породы, доломиты, глинистые и кремнисто-глинистые сланцы, алевролиты. А. Ф. Шехоркина [51] в составе свиты наблюдала спонголиты. Мощность отдельных крупных пачек известняков — от 200 до 800 м, а кремнистых пород — 120—400 м. Общая мощность свиты более 3000 м. На разных уровнях в известняках И. В. Мишкина и О. Г. Окунева обнаружили археоиды: *Archaeolytus* (Толл.), *A. unimarginatus* (Vologd.), *A. ex gr. nativikini* (Vologd.), *Ajacicyathus arteintervallum* (Vologd.), *A. sverdanskii* (Vologd.), *Capsulocyathus subcallosus* Zhur., *Rohustocyathus tenimurus* (Vologd.), *Coscincocyathus* cf. *arquatus* Vologd., *Di-cyoscyathus javorskii* Vologd. и др., и водоросли *Eriphyton simplex* Vologd., *Girvanella* sp. Обнаруженные в свите археоиды позволили О. Г. Окуневой отнести ее к позднеалданскому веку.

Кленскому ярусу отнесена Дмитриевская свита ( $\mathbb{E}_1 dm$ ), которая от с. Дмитриевки прослеживается на ЮВ до с. Евсевка. Несколько условно она выделена в басс. р. Синегорка. С прохоровской сопоставления не известны. Стратотипический разрез свиты изучен И. В. Мишкиной, О. Г. Окуневой и Ю. Н. Олейником северо-восточнее с. Дмитриевки, на высоте Карьерная. Мощность свиты около 2000 м.

В свите преобладают известняки (70%), иногда оолитовые, в меньшем количестве присутствуют глинистые сланцы, алевролиты и полимиктовые известковистые песчаники. Возможно, к средней части Дмитриевской свиты приурочены гравелиты района пос. Синий Гай, в которых Ю. Н. Олейниковом найден триLOBIT *Redlichia* sp., характеризующий, по определению Л. Н. Репиной, санаштыкский горизонт ленского яруса.

По всему разрезу в известняках встречены многочисленные органические остатки, среди которых определены археоиды: *Archaeolytus nativikini* (Vologd.), *Capsulocyathus irregularis* Zhur., *C. subcallosus* Zhur., *Ajacicyathus artemiterratum* (Vologd.), *Robustocyathus membraniticus* (Vologd.), *R. polypseudatus* Vologd., *Loculicyathus membranites* Vologd., *Archaeofungus incelebratus* Osad., *Archaeocyathellus konjushkovi* Osad., *Ethmophyllum grandiperforatum* (Vologd.), *Ciathrocoecinus infirmus* (Vologd.), *C. vassilievi* (Vologd.), *Protopharreta polymorpha* Bog., *Chankacyathus strachoi jakovii*, *Coscincocyathus diarthrus* Bog. и др.; триLOBITЫ: *Rondocerphalus mirandus* Рогк., *Laticephalites tuberosus* Рогк., *Serodiscus agnostoides* Рогк. и др.; остатки водорослей, губок, брахиопод, хиолитов.

Археоиды Дмитриевской свиты О. Г. Окунева сопоставляет с комплексом археоидов санаштыкского горизонта ленского яруса.

К нижнему кембрию ( $\mathbb{E}_1$ ) без более подробного расчленения в Бознесенской подзоне отнесена мощная (4500 м) терригенно-карбонатная толща, которая в большей своей части (3500 м) сопоставлялась

Ю. С. Липкиным (1967 г.) с rifфом, главным образом на основании находок сине-зеленных водорослей. Однако еще в 1956 г. В. Н. Яковлев, в 1957 г. Ю. М. Олейник и в 1966 г. М. А. Евланова в этой толще обнаружили нижнекембринские археоиды. Стратиграфическое положение толщи из-за плохой обнаженности и интенсивной тектоники не может считаться окончательно выясненным.

Самые нижние части разреза нижнего кембра названы Ю. С. Липкиным [28] первомайской толщей. Она прослеживается от Первомайского м-ния к совхозу «Дальзавод», горе Липовец и в басс. р. Абрамовка. По простирию разрез толщи не устойчив. В ее составе присутствуют известняки, доломиты и доломитовые известники с прослоями серитовых и кварцево-серитовых сланцев и алевролитов. К этой же толще Ю. С. Липкин условно отнес конгломерато-брекции, содержащие известные и в среднем риффе Слюпки и Ю. Урала и *Nubecularites* sp., туфовый материал, встреченные в двух скважинах участка Пологого. Мощность толщи 500—600 м. Ю. С. Липкин в толще обнаружил и определил археоиды: *Archaeolytus sibiricus* (Толл.), *Ajacicyathus ex gr. arteintervallum* (Vologd.), *Gordonia campensis* Okup. sp. nov., *Clathrocoscinus vassiljevi* (Vologd.), *Protopharreta polymorpha* Бог. и др. и многочисленные триLOBITЫ, хиолиты и брахиоподы. По мнению О. Г. Окуневой, этот комплекс археоидов позволяет относить первомайскую толщу к низам ленского яруса.

Вышележащие отложения получили наименование березянской толщи. Она прослеживается от горы Ветровая (среднее течение р. Березянка) на ЮВ до Ярославского м-ния. А. Н. Рязанцев делит толщу на три части. Нижняя часть представлена преимущественно серитово-песчаниками, содержащими пачкой алевролитов и кварцитовидных сланцами, мощность — 150—170 м). Средняя часть толщи (290—300 м), сложена кварцитовидными песчаниками с очень небольшими прослоями сланцев, а верхняя — внизу сланцами (120—150 м), вверху — сланцами и алевролитами (250—360 м). Местами в составе толщи горными выработками вскрыты линзы известняков. Мощность толщи не менее 900 м.

Более высокие слои нижнего кембра выделены в новоярославскую толщу, разрезы которой изучены на Ярославском м-нии. Здесь согласно на березянской толще залегает пачка известняков (150 м), переслаивающихся с серитовидными и реже шунгитовыми сланцами. В основании пачки присутствуют прослои доломитов. Мощность отдельных слоев известняков достигает 35—40 м, а мощность сланцев не превышает первых метров.

Верхние части толщи представлены внизу песчаниками (до 50 м), а выше шунгитовыми и серитовидными сланцами с очень редкими и маломощными прослоями известняков, алевролитов и песчаников. Мощность этой части разреза — 600 м, а всей толщи — 700—750 м.

Разрез нижнего кембра наращивается Волкупинской толщей, распространенной в басс. рек Волкуша и Илистая. Толща сложена кристаллическими, в средней части органогенными известняками, шунгитовыми известняками, перестоенными шунгитовыми, известковистыми, известковисто-серитовыми сланцами, редко алевролитами и кремнистыми породами. По простирию состав толщи и ее мощность изменчивы. В частности, от верховьев к низьям р. Волкуша в разрезе толщи почти полностью исчезают органогенные известники, а мощность ее уменьшается с 750 м до 450 м.

Верхи кембра в этой подзоне выделяны в коваленковскую толщу, широко распространенную в междууречье Лесной и Волкуши. Полные

разрезы толщи не известны. Э. И. Шкурко и Н. И. Мостовская (1961 г.) по скважинам установили, что толща мощностью не менее 500 м сложена серидитовыми и кварц-серидитовыми филлитовидными сланцами с подчиненными прослойками алевролитов, песчаников, кремнистых пород и известняков.

На севере, в Лесозаводской ползне, нижнекембрийские ( $E_1$ ) об разования пока палеонтологически не охарактеризованы и выделены под названием терригенно-карбонатной толщи. В отличие от более южных участков здесь в составе нижнего кембрая, вероятно, частично или полностью соответствующего прохоровской и Дмитриевской свитам, появляются прослои спилитов, амфиболитов, железистых и железомаранцевых кварцитов.

Толща, по данным Ю. Н. Олейника, Ю. К. Танина, А. Ф. Крамчанина, крайне незадержана по простиранию и представлена известняками, сланцами и кварцитами общей мощностью 2500 м.

В Буренской зоне к нижнему кембрию относятся рудоносная и лопатковская свиты, которые на карте не разделяются.

Рудоносная свита, развитая в междууречье Маньчукурки и Самары, залегает на мурандовской без углового несогласия, но с разрывом. В основании свиты присутствуют седиментационные брекции с обломками доломитов из подстилающей мурандовской свиты. Рудоносная свита разделена М. В. Чеботаревым на три подсвиты. Нижняя подсвита состоит из двух пачек, одна из которых (4—20 м) представлена углистыми, кремнисто-углистыми, углисто-глинистыми сланцами, алевролитами и глинисто-доломитовой брекцией, вторая (20—30 м) сложена кремнисто-глинистыми сланцами, доломитами, реже доломитовыми песчаниками. В береговых обнажениях Амура, выше Медвежьего Утеса, в строении подсвиты главная роль принадлежит доломитовым брекциям, содержащим прослой кремнистых доломитов с остатками водорослей. Средняя подсвита содержит два рудных пласта. Нижний, маранцеворудный, сложен браунитом, родохрозитом, гаусманитом, хальцедоном, гематитом, доломитом. Мощность пласта — от 0,3 до 4,7 м. Верхний, железорудный, представлен полосчатыми магнетитовыми, гематитовыми и магнетит-магнетитовыми микропесчаниками с линзами доломитовой брекции. Мощность пласта — от 8 до 25 м. Верхняя подсвита сложена глинистыми, реже кремнисто-глинистыми, сланцами с прослойями и линзами черного известняка, доломитового песчаника и глинисто-доломитовой брекции. Мощность подсвиты — 110—225 м.

В рудоносной свите С. Г. Костанян и К. А. Львов в 1949 г. на Кимканском м-не (севернее описываемой территории) обнаружили окаменелости, по определению Н. Н. Яковлева похожие на кембрий ские *Modioloides priscus* Walcott.

М. В. Чеботарев в лопатковской свите (600—800 м) выделяет нижнюю часть (400—500 м), сложенную мраморизованными известняками с пачками углисто-глинистых сланцев внизу разреза.

К нижнему — среднему кембрию ( $E_1-2$ ) на юге Ханкайской зоны отнесены преимущественно терригенные отложения, суммарная мощность которых превышает 8500 м. Стратиграфия этих образований разработана плохо. Нет единого мнения о последовательности толщ и их объеме. В низах разреза в последние годы выделяют две свиты — меркушевскую и мелвекинскую, являющиеся, по мнению Ю. Н. Олейника, одновозрастными.

Меркушевская свита, выделенная Ю. Я. Громовым в 1959 г., развита севернее с Дмитриевка, где повсеместно ложится на размытую, обычно закарстованную поверхность карбонатных пород Дмитриевской свиты. Состав свиты резко изменчив по простиранию. В районе

пос. Синий Гай в ней преобладают средне- и крупногалечные пестроокрашенные, существенно известковистые конгломераты, среди которых имеется горизонт (70—80 м) гравелитов. Юго-восточнее, вблизи с. Дмитриевка, в свите количеством гравелитов и песчаников резко увеличивается. В этом же направлении уменьшается размер обломков в конгломератах. Мощность свиты около 600 м.

Медвежинская свита выделена Ю. Н. Олейником на правобережье р. Медведица, южнее с. Дмитриевка, и изучена Л. А. Изотовым. Kontakt свиты с подстилающими образованиями не наблюдался. Разрез начинается с конгломератов и гравелитов мощностью около 50 м. Выше свита сложена полимиктовыми песчаниками с прослойями гравелистов, конгломератов и алевролитов. Видимая мощность — более 1500 м.

В басс. р. Медведица и в верховьях р. С. Тихая обнаружены трилобиты *Pagaroletta sulcata* N. Tchern., *Cheiruroides ex gr.*, *C. arcticus* N. Tchern., *C. incanella* aff. *gracilis* Legg. и др., брахиоподы семейства Astrotritidae *Obolellidae*, Lingulelidae. Комплекс фауны, по мнению О. Г. Окуневой и М. А. Аксариной, характерен для конца раннего — начала среднего кембра.

Более высокие слои кембра лучше всего обнажены вдоль железнодорожной дороги Ретиховка — Чернышевка. На левом берегу кл. Буянкова на конгломератах мелвекинской свиты согласно залегают ретиховская свита (278 м), в составе которой преобладают зеленоватые, желтоватые и сургучно-красные алевролиты и глинистые сланцы при подчиненном значении полимиктовых песчаников. Выше без видимого несогласия залегает фланзовая толща (2200 м), в разрезе которой количество алевролитов и песчаников примерно равно. Венчает разрез кембрейских отложений толща, выделенная В. А. Бажановым в 1966 г. под названием снеутровской, отличающаяся от предыдущих режимом преобразления кварцевых, олигомиктовых и полимиктовых песчаников. Алевролиты образуют линзы, тонкие прослойки, реже пачки, в которых они переслаиваются с песчаниками. Мощность толщи около 3800 м. На водоразделе рек Вторая и Третья Тихая в толще песчаников найдена фауна: *Maritimella rara* Repina et Okup'eva gen. et sp. nov., *Orientifella rotundata* Repina et Okup'eva, gen. et sp. nov., *Chankaspis bakhakii* Repina et Okup'eva, gen. et sp. nov., *Beckwithia daubichiensis* Repina et Okup'eva, sp. nov. По заключению Л. Н. Репиной и О. Г. Окуневой, возраст толщи, вмещающей фауну, может быть определен ранним — средним кембriем.

## Силурийская система

Силурийские отложения установлены только по окраинам Ханкайской зоны. На западе территории они объединены в кордонкинскую свиту, а на северо-востоке — в тамгинскую серию.

Кордонкинская свита (*S kr*) выделена Н. М. Органовой в 1958 г. в басс. р. Кордонка. Слагающие свиту породы прослеживаются на Ю от рек Падихеза и Каменушка до рек Кордонка и Атланиха. На севере свита обнажена плохо. Низы ее изучены Е. П. Гуровым в 1961 г. на водоразделе рек Корлонка и Атланиха, а более высокие слои — в басс. рек Карагинская и Банная. В основании разреза залегает пачка (80—100 м) переслаивающихся гравелитов, песчаников, конгломератов и алевролитов. Выше разрез сложен алевролитами, глинистыми сланцами и мелкозернистыми песчаниками, образующими пачки по 300—400 м мощности, разделенными прослойками (50—100 м) разнозернистых песчаников, гравелитов и, реже, конгломератов. В 300—400 м от кровли свиты располагается пачка (400—500 м) миндалека.

менных эффибузов, туфов и туфобрекций. Общая мощность свиты 3000 м.

В верхах свиты севернее с. Софье-Алексеевское в басс. р. Кордона [18] в песчаниках обнаружены остатки трилобитов *Calymene ex gr. blumentbachi* Brong. Здесь же найдены брахиоподы: *Lentostrrophia aff. filosa elegestica* Tschegl., *Platystrophia aff. reversata* (Фогстедт), *Leptaena triomphalis* Wilk., *Diamantella* sp., *Eosipifer* sp. и др. По мнению Е. А. Молзалевской, эта фауна скорее всего силурийская, хотя некоторые формы присутствуют как в ордовике, так и в девоне. На северо-востоке Ханкайской зоны условно к силуру отнесена тамгинская серия (4600 м), узкой полосой прослеживающаяся от истоков р. Б. Кабарга до р. Малиновка. С нижнекембрийскими породами она граничит по разлому. Тамгинская серия ( $S_{tm}$ ) глубоко подразделяется на три толщи. Нижняя толща (мощностью до 1600 м) сложена преимущественно кварцитовидными, часто графитистыми, песчаниками, содержащими простые хлорит-серинитовые сланцы, фильтров и известняков. Пачка известняков (до 200 м) с прослоями песчаников и сланцев залегает в верхах толщи. В сланцах обнаружены отпечатки плауновых, сходных с *Balagashinathia*, *Tastaerphyton*, *Saxonia* и другими формами, встречающимися в силурских отложениях\*. В нижних средней толши преобладают фильтры (550—750 м), а выше — песчаники с редкими прослоями (до 1 м) фильтровидных сланцев и известняками (до 20 м) известняков. Мощность средней толши около 2300 м. Верхняя толща (около 700 м) внизу сложена фильтрами (300 м) с редкими прослоями астидных сланцев, вверху — ритмично переслаивающимися песчаниками, фильтрами и, реже, астидными сланцами и известняками.

Условно к силуру ( $S_?$ ) в районе с. Вознесенска отнесена толща чередующихся туфопесчаников, туфоалевролитов, туфоконгломератов, туфов кислого, среднего и основного состава, фельзитов, липаритовых порфиров и порфиритов. По данным Ю. С. Липкина (1967 г.), мощность толщи не менее 500 м.

## Девонская система

Девонские образования до последнего времени были известны только в Буренской зоне. На юге территории они выявлены лишь в 1969—1971 гг. и изучены пока плохо.

К нижнему — среднему девону ( $D_{1-2}$ ) нерасщепленному отнесены две толщи — существенно вулканогенная и вулканогенно-осадочная. Вулканогенная толща выделена в верхнем течении р. Арсеньевка. Взаимоотношения ее с подстилающими и перекрывающими отложениями в данном районе не установлены. Южнее, в районе с. Известка, поданным С. Р. Робермана (1969 г.), апальчанская толща с размытым перекрыта пермскими образованиями, а в басс. рек Артемовка и Супутника — среднедевонской толщей. По литологическому составу в толще выделяются две пачки: нижняя (600—700 м), сложенная дашитовыми порфираами, реже туфами, и верхняя (1200—1400 м), представленная туфами и инимбритами, реже липаритовыми порфираами. Мощность толщи — 1900—2000 м, ее радиологический возраст — 304—360 млн. лет. Химические составы этих пород из Сандингской вулканической структуры приведены в табл. 2. Вулканогенно-осадочная толща.

Химический состав нижне-среднедевонских вулканитов  
(Сандинганская вулканическая структура)

Породы	Количественный анализ	Оксиды											
		SiO <sub>2</sub>	TiO <sub>2</sub>	Al <sub>2</sub> O <sub>3</sub>	Fe <sub>2</sub> O <sub>3</sub>	FeO	MnO	MgO	CaO	Na <sub>2</sub> O	K <sub>2</sub> O	ППП	Сумма
Липариты . . . . .	13	73,52	0,10	13,40	0,87	3,42	0,05	0,12	0,18	2,95	4,43	0,43	99,67
Фельзиты . . . . .	3	74,84	0,12	13,40	0,60	2,80	0,05	0,13	0,14	4,45	2,87	0,56	99,26
Инимбриты . . . . .	3	74,88	0,11	12,78	0,93	3,32	0,06	0,10	0,15	2,16	4,78	0,20	99,45
Дашиты . . . . .	8	65,63	0,43	17,52	1,00	5,59	0,09	0,68	1,86	3,83	3,83	0,17	100,68

Таблица 2

Условно к этому подразделению в Центрально-Сихотэалинской зоне отнесена тулловская свита [ $(S-D)?td$ ], распространенная в басс. рр. Малиновка, Горная и Откосная. В Н. Силантьевым в 1965 г. она подразделена на две подсвиты. Нижняя подсвита (1850 м) на левобережье р. Малиновка сложена фильтровидными сланцами, переслаивающимися с графитистыми фильтровидными сланцами и, редко, слоями микрокаракитов мощностью до 5—20 м. Вверху подсвиты появляются прослой тонкозернистых песчаников. На водоразделе р. Откосная с падью Санделова и в долине р. Малиновка в 1100 м мощность липаритового участка Печениной в составе подсвиты вскрычены мраморы мощностью 10—30 м. Верхняя подсвита (1500—1900 м), залегающая на нижней, по видимому, согласно, представлена глинистыми сланцами, переслаивающимися с кремнистыми породами. Мощность пачек сланцев — 5—40 м, кремнистых пород — 10—30 м. Общая мощность свиты — 3400—3700 м. Условное отнесение свиты к силуру — девону основывается на положении ее ниже отложений, характеризованных нижнекаменноугольной фауной. Ю. И. Максименко (1970 г.) считает возраст этой толщи условно юрским.

\* Ю. Н. Олейник считает, что нижние части разреза, возможно, относятся к кембрию.

В басс. р. Черниговка, по данным Л. Ф. Назаренко (1970 г.), в строении толщи, сопоставимых с девонскими, большое значение приобретают вулканогенные образования, причем внизу разреза появляются порфириты и их туфы, а выше — фельзиты и туфы смешанного состава. Мощность этих девонских толщ 2300—2500 м.

Отложения живетского яруса ( $D_{2v}$ ) развиты в Буренской зоне, в хр. Добринском, где они залегают на гранитах. Л. В. Эйриш делит эти отложения на три пачки. Нижняя пачка (25—100 м) представлена песчаниками, гравелитами и конгломератами, замещающими друг друга.

га по простиранию и по разрезу. Средняя пачка (400—500 м) сложена мелкозернистыми алеврозитами и кварцевыми песчаниками с прослойми алевролитов и линзами известняков. Верхняя пачка (200—300 м) представлена сланцеватыми алевролитами, грубо переслаивающимися с аркозовыми песчаниками, гравелитами и конгломератами. В алевролитах собраны остатки брахиопод, криноидей, трилобитов, мицанок и бластоидей. Г. Р. Шипкина среди брахиопод определила *Lamellespirifer mucronatus* Солтад, *Furspirifer chechiel* Солтад и др., являющиеся руководящими формами для верхов живого. Живетский возраст подтверждается и наличием членников морских лилий *Solanostinus mammillatus* Жельт., *Pentagonoscytus vastus* Жельт., описанных Р. С. Ельшевской.

## Каменноугольная система

Выделение каменноугольных образований основано только на общегеологических соображениях, так как встречающаяся в них фауна не позволяет точно установить возраст вмещающих пород.

На западных склонах хр. Сихотэ-Алия условно к нижнему карбону отнесена малояновская свита ( $C_2$ , *ml*), выделенная В. Н. Слантьевым (1965 г.) в басс. кл. Малынова. Она залегает с угловым несогласием на туловакской свите и согласно перекрывается самаринской свитой с фауной среднего — верхнего карбона. Свита (870 м) сложена кремнистыми породами, порфиритами, туфами порфиритов, алевролитами и песчаниками. Соотношение входящих в свиту пород непостоянно.

Юго-западнее, в свите (материалы А. А. Асипова) увеличивается количество алевролитов, которые еще реже замещаются туфами порфиритов. На северо-востоке, в низовых р. Ореховка, Л. А. Неволин (1969 г.) указывает на преобладание в разрезе кремнистых пород и порфиритов при почти полном отсутствии алевролитов и туфов. Мощность порфиритов в басс. р. Орехова достигла 400 м, а к СВ они почти выклиниваются и замещаются кремнистыми сланцами. Мощность свиты на разных участках — от 1100 до 1600 м.

Нерасчлененные отложения, отнесенные к нижнему — среднему карбону ( $C_1$ — $2$ ) выделены в басс. рек Алчан, Контровод, Ракитиха, Большая и др. Отложения обнажены плохо. По данным Б. Я. Чертышева (1969 г.), низы разреза, которые он условно относит к нижнему карбону, сложены алевролитами, глинистыми и кремнисто-глинистыми сланцами, кремнистыми породами, диабазовыми порфириями и доломитизированными песчаниками. Мощность линз и прослоев диабазовых порфиритов — 5—10 м, песчаников — 2—30 м, кремнистых пород — 10—70 м. Количество кремнистых пород увеличивается в разрезе снизу вверх. Мощность отложений — 1100—1450 м.

Выщележание отложения (1300—1800 м), прослеживающееся от р. Уссури до р. Алчан, представлены кремнистыми породами с редкими линзами глинистых и глинисто-кремнистых сланцев с прослойями ямповидных пород, заляжами спилитов и диабазовых порфиритов. В верхах разреза по р. Хоран обнаружена линза известняка с *Endothyrida* cf. *intcostata* Gr. o. d. et Leb., *Bryonia* cf. *cibrostomata* Raus., *Eostaffella* cf. *prolensis* Raus., *Tetraclaxis* cf. *nigerabii* Reitl. и др.

Приведенный выше комплекс микрофауны, по заключению А. П. Никитиной, свойствен среднему карбону, скорее всего, башкирскому ярусу и, очевидно, определяет возраст верхов толщи. Нижняя часть непрерывной толщи, учитывая ее большую мощность, условно отнесена к нижнему карбону. Общая мощность нижнего — среднего

карбона — 3000 м. Находки в районе г. Вяземского остатков табулят *Amphirota* sp. (определение И. И. Чудинова) и водорослей *Hedrostomia aequoris* Hoeg, *Parachonetes* sp. (определение К. Б. Корда) указывают на возможное присутствие в данной зоне и девонских отложений [30].

К средне-верхнекаменноугольным ( $C_2$ — $3$ ) отнесены молочные толщи, развитые на В и С территории. В Центрально-Сихотэ-Алинской зоне они выделены в самаринскую свиту ( $C_2$ — $3$  sm).

В районе с. Самарка видимую часть разреза (без базальных слоев) В. Н. Слантьев делит на три части.

1. Глинистые сланцы с редкими маломощными прослойками песчаников, кремнистых пород, контгломерато-брекчий и туфов среднего состава с линзами (8—12 м) известняков с фораминиферами.

Рефотектулята *Terebratula* sp., *Syriocerasimina* sp., *Fusulinella* cf. *subnudata* Pr., *F. cf. schwagerinoides* Deprat., *F. cf. bocki* Moell., *Fusulina* (?) cf. *samarica* Raus. et Bel., *Triticites* cf. *montiparus* (Ehrenb.) et Moell., *T. cf. arcticus* (Schellw.) и др. М. И. Соснина считает эту фауну характерной для верхнего карбона — нижней перми. Однако присутствие трилобитов, явлюющихся руководящими формами верхнего карбона Русской платформы, позволяет М. И. Сосниной отнести вмещающие породы к верхнему карбону.

2. Кремнистые породы с маломощными прослойками глинистых и кремнисто-глинистых сланцев (1500 м) с многочисленными прослойками и линзами мелкозернистых песчаников и кремнистых пород и редкими пластами порфиритов (мощностью до 10 м).

3. Глинистые сланцы с редкими маломощными прослойками песчаников, кремнистых пород, контгломерато-брекчий и туфов средней части свиты в известняках Л. А. Неволин обнаружил остатки фораминифер: *Archaeodiscus* (?) cf. *pustulus* Grodz. et Leb., *Globivalvula* sp., *Palaotextularinae* sp., *Endothyra* cf. *crassa* Bragadu. и др. По мнению М. И. Сосниной, возраст фораминифер не древнее вида и не моложе середины карбона.

В басс. р. Муравейка в свите несколько увеличивается количество кремнистых пород, порфиритов и спилитов. Мощность свиты без нижних частей — 1000—1100 м.

Опирающиеся фораминиферы *Ammodiscus* sp., *Endothyra* sp., *Spirorickettsiamina* (?) sp., по мнению М. И. Сосниной, определяют возраст известняков от вида до начала среднего карбона. Из коллекции И. П. Макухиной (1961 г.) в этой же линзе найдены: *Monostratis* sp., *Endothyra* sp., *Parathurammina* sp., *Nyergesinina* sp., по заключению А. П. Никитиной, характерные для нижнего — среднего карбона.

В 1961 г. А. П. Никитина из линзы известняков по кл. Партизанскому (басс. р. Уссури) определила верхнекаменноугольный комплекс фузулинил: *Trilobites* sp., *Tubertina* sp., *Fusulinella* ex gr. *pulchra* Raus. et Bel., *Palaotextularia* sp., *Fusulinella* sp. К С от с. Самарка, в басс. р. Быстрая (правом притоке р. Журавлевка), нижние части свиты не вскрыты. Изученная В. И. Надежкиным часть свиты сложена алевролитами, среди которых имеются маломощные прослои песчаников. По сравнению с западными разрезами здесь увеличивается количество и мощность прослоев кремнистых пород, а порфириты встречаются в единичных случаях. В средней и верхней частях разреза встречаются линзы известняков. В одной из них обнаружены *Tubertina* sp., *Eostaffella* sp., *Pseudostaffella* cf. *antiqua* (Dutk.), *Profusulinella* sp. aff. *primitiva* (Sosn.), *Eusulinella* pseudo-bocki Lee et Chen, по мнению М. И. Сосниной, башкирского возраста. Мощность изученной части разреза — 1200—1300 м.

Средне-верхнекаменноугольные ( $C_{2-3}$ ) отложения на северо-востоке территории, в басс. рек Уссури и Альчан однообразны, а их разрезы выдержаны по простиранию и отличаются от нижележащих нижнекаменноугольных образований отсутствием кремнистых пород и эфузивов. Толща сложена глинистыми и филлитовидными сланцами, переслаивающимися с пластами мелкозернистых песчаников (до 5 м), с редкими линзами (1—5 м) мраморизованных известняков, приуроченных к верхам разреза. Мощность толщи 1400—1700 м. Возраст определяется по ее положению между нижне-среднекаменноугольными и пермскими отложениями.

Верхнекаменноугольные отложения на западных склонах хр. Сихотэ-Алиня, вблизи устья р. Удка, выделены в 1956 г. А. И. Бурдэ и Ф. А. Паскуновым в улековскую свиту ( $C_3$  и  $d$ ). Наиболее полно разрез свиты (1100—1200 м), согласно залегающей на самаринской, изучен В. И. Надежкиным в басс. рек Быстрой и Журавлевка. Здесь свита сложена мелко- и среднезернистыми кварцполевошпатовыми песчаниками, часть тuffогенными, среди которых в подчиненном количестве имеются горизонты глинистых сланцев и алевролитов.

В басс. р. Откосная в свите увеличивается количество глинистых сланцев, иногда образующих с мелкозернистыми тuffогенными песчаниками пачки ритмичного наслонения. Мощность отдельных слоев в пачках — от 0,5 до 3 м. В верхах разреза появляются среднезернистые песчаники, по составу приближающиеся к кварц-полевошпатовым. Мощность свиты — 720 м.

### Каменоугольная система — нижний отдел пермской системы

Эти отложения развиты к 3 от оз. Ханка, в междуречье Лев. Ко-мисаровка — Мраморная и в басс. рек Лев. и Пр. Комисаровка. Основание толщи не известно. П. В. Маркевич для района горы Известковая указывает на постепенный переход к верхнепермским породам.

Толща сложена внизу углисто-графитистыми и углисто-глинистыми сланцами с гранатом и мелкочешуйчатым биотитом (400 м), на которых лежат слюдистые кварциты (1300 м), перекрытые метаморфизованными эфузивами кислотного состава (300—400 м) и углистыми углисто-графитистыми и глинисто-хлоритовыми сланцами (до 800 м). Более высокие звенья разреза, обнаженные в междуречье Лев. Комисаровка — Мраморная сложены углисто-глинистыми сланцами с прослоями и линзами алевролитов, мелкозернистых песчаников и криноидных из-вестниковых (1000—1200 м). Общая мощность 3500—3700 м.

В известняках, залегающих в виде линз среди углисто-глинистых сланцев, в 8 км к СЗ от с. Решетниково, Ю. Е. Литвинов (1964 г.) обнаружил членники криноидей, сходных с *Penitagonocisticus dilatatus* Stuk — формой, характерной для девона и карбона Ц. Казахстана. В 1965 г. Б. А. Иванов на левом берегу р. Комисаровка нашел остатки мышанок, *Fistulipora* sp., *Fistulammina* sp., *Hexagonella* sp., *Tabularia*? sp., *Dyscritella*? sp., *Polypora* sp., *Nematopora*? sp., в возраст которых определяется А. Д. Киселевой как пермский или каменно-угольный.

### Пермская система

Пермские отложения наиболее широко развиты в Гродековской, Даубильинской и Центрально-Сихотэалинской зонах. Стратиграфия перми изучена недостаточно: неполностью известен объем, последователь-

ность, состав и даже возраст ряда пермских толщ. На западе территории пермские толщи сложены грубообломочными породами и вулканогенными образованиями, близкими к порфироной формации. На востоке развиты геосинклинальные толщи. По палеонтологическим остаткам установлены нижняя и верхняя пермы, подразделяемая на ряд свит и толщ, различных по составу в разных зонах.

Нижняя пермь распространена в Даубильинской и Центрально-Сихотэалинской зонах. В первой зоне она разделена на дунайскую и постдунайскую свиты, а во второй — на себуцарскую и ариадинскую.

Дунайская свита ( $P_{dn}$ ) в междуречье Малиновки и Б. Кабарги, по Б. С. Набролову (1965 г.), несогласно залегает на силурийских (?) отложениях. Внизу свита лежит пачка конгломератов, песчаников и алевролитов мощностью до 100 м с двумя потоками фельзитовых порфиров мощностью 5 и 15 м. В алевролитах найдены остатки *Pyrgulaeacopteris* *anthriscifolia* (Гое р.) Radcz., *P. suffrancifolia* (Гое р.) Radcz., *Cathipteris* cf. *conferta* Brong., *Zamiopteris*? sp., *Paracalamites* sp. Выше залегает покров (300—700 м) типичною порфиров, фельзит-порфиров, туфов кислого состава с мощностью отдельных потоков и прослоев 5—50 м. Общая мощность свиты — около 1000 м.

Л. А. Неволин (1962 г.) указывает на присутствие в составе свиты в басс. р. Мангоушка миддлакменных порфиритов с редкими прослоями туфобрекций, песчаников и алевролитов, содержащих остатки *Paracalamites deliquescens* (Гое р.) Radcz., *Gamophylites* cf. *nueburgiana* Radcz., *Noeggerathiopsis* cf. *dervillii* Neub., *N. cf. minax* Goele., *N. latifolia* Neub., *Nazonaria orientina* Radcz., *Cardiocarpus ovatus* Radcz. Мощность свиты — 1060 м.

Южнее, на левобережье р. Быстрой, дунайская свита, по В. А. Бажанову (1962 г.), представлена туфогенно-осадочной толщей (300—250 м), перекрытой покровом литаритовых порфиритов, их туфов и туфобрекций с прослоями туфопесчаников и кремнистых алевролитов мощностью около 1000 м.

Возраст свиты по растительным остаткам определяется как верхний пермь. Определение абсолютного возраста эфузивов весьма разноречивы (от 280 до 150 и даже 85 млн. лет). Возможно, в ряде случаев в составе свиты ошибочно включены верхнепермские, триасовые и меловые эфузивы.

В Центрально-Сихотэалинской зоне возрастным аналогом дунайской свиты является сеучурская свита ( $P_{sb}$ ). В басс. р. Откосная, по В. Н. Силантьеву, свита имеет следующий разрез.

1. Глинистые и кремнисто-глинистые сланцы с прослоями диабазовых порфиритов, яшм, алевролитов, реже песчаников и линз известняков с *Ozarkitiella* aff. *paracalymoides* Raiss., *Fusulinella* ex gr. *subulifera* Pütz., *F. ex gr. fusulifera* Radz. et B. L. Tricelles aff. *parcula* (Schellw.). . . . . 150—220
2. Туфогенные алевролиты с редкими прослоями кремнистыми, кремнисто-глинистыми породами, диабазовых и андезитовых порфиритов, базальтов, андезитов и их туфов . . . . . 700—1300
3. Порфириты с прослоями и пачками алевролитов . . . . . 1200
4. Глинистые и кремнисто-глинистые сланцы с прослоями порфиритов, реже кремней, алевролитов и песчаников . . . . . 500
5. Яшмы, чередующиеся с порфиритами; редкие прослои глинистых и кремнисто-глинистых сланцев и алевролитов . . . . . 350

зито-базальты, андезиты, андезито-дациты и милениты. Преобладают базальты. Химические составы этих вулканитов приведены в табл. 3.

Химические составы вулканитов сеебучарской свиты в басс. р. Малиновка

Таблица 3.

Породы	Оксиды													
	Колич. анализов	SiO <sub>2</sub>	TiO <sub>2</sub>	Al <sub>2</sub> O <sub>3</sub>	Fe <sub>2</sub> O <sub>3</sub>	FeO	MnO	MgO	CaO	Na <sub>2</sub> O	K <sub>2</sub> O	ППП	P <sub>2</sub> O <sub>5</sub>	Сумма
Ангиты . . . . .	7	43,19	2,44	12,96	3,14	11,34	0,30	8,92	9,48	1,97	1,84	3,39	0,35	99,33
Базальты . . . . .	21	49,09	2,44	15,05	3,88	8,17	0,19	6,03	7,78	3,80	0,41	3,15	0,25	100,20
Измененные базальты . . . . .	12	48,85	1,97	14,75	3,46	8,57	0,20	5,94	7,50	2,67	1,79	3,81	0,33	99,99
Ангито-базальты . . . . .	13	54,78	1,57	16,27	2,24	7,17	0,13	3,72	5,28	3,71	2,16	2,65	0,34	100,02
Ангиты, альбито-базальты . . . . .	10	61,54	0,69	15,08	2,07	5,97	0,16	2,23	2,63	2,71	2,99	2,85	0,16	99,98
Липариты . . . . .	8	73,88	0,18	12,18	0,93	3,50	0,10	0,13	0,59	2,41	4,10	1,00	0,02	100,02

К Ю мощность свиты уменьшается и в басс. р. Поляниха составляет около 1500 м. На западе, в верховьях р. Крыловка, свита, по данным Ю. И. Максименко (1964 г.), отличается от стратотипа преобладанием алевролитов и кремней в верхах разреза. Мощность ее здесь около 1500 м. В басс. р. Ореховка в известняках нижней части свиты обнаружены *Tuberitina* sp., *Tetralaxis* sp., *Endothura* sp., *Fusulinella* sp., *Triticites* sp., *Waagenophyllum* cf. *indicum* Wag. et Wentzel., *Lonsdaleiastraea* cf. *vittata* Gérth.

Себучарская свита согласно залегает на Удековской и согласно перекрывает ариадинской свитой\*. Органические остатки определяют ее возраст от среднего карбона до ранней перми. Раннепермский возраст свиты принят решением Второго Дальневосточного стратиграфического совещания. Более высоким частям нижней перми в Даубинской и Гродековской зонах соответствуют постпеловская свита и ее эквиваленты, а в Центрально-Сихотэалинской зоне — ариадинская свита. Постпеловская свита, по-видимому, согласно залегает на Дунайской и согласно или с локальными несогласиями перекрывается верхнепермскими толщами. Возраст свиты по растительным остаткам определяется Г. П. Раченко как конец ранней или начало поздней перми.

Ариадинская свита (*Par*) выделена Н. А. Беляевским.

В междуречье Ореховки и Малиновки свита делится на три подсвиты.

Нижняя подсвита (Савиновская) сложена глинистыми сланцами и туфогенными песчаниками, содержащими линзы и прослои порфиритов, кремнистых пород и известняков. Граница между себучарской и ариадинской свитами проводится условно по кровле мелкой пачки кремнистых пород. Мощность нижней подсвиты — 1100—1400 м. Средняя подсвита (660 м) представлена туфогенными песчаниками и алевритистыми сланцами, присущими примерно в равных количествах. Верхняя подсвита (1140 м) сложена преимущественно тонкорасчленованными алевролитами и филлитовидными сланцами. Песчаники присутствуют в отдельных прослоях мощностью от 20 до 70 м. Общая мощность свиты 2300—3000 м.

Южнее обширные участки свиты сохраняются, но в составе ее, по данным А. И. Бурда и Ч. П. Черныш, преобладают алевритовые сланцы. В басс. р. Журавлевка В. Н. Слантьевым в песчаниках, относимых к ариадинской свите, найдены отпечатки мшанок *Fenestella* sp., *Batostomella* sp., *Polytoma* sp.

К нерасчлененным нижнепермским (*P*) отнесен ряд толщ неясного стратиграфического положения или объема. К нижней перми условно относятся верхняя часть самурской серии, описанной Б. Я. Чирмышом (1969 г.) в хр. Стрельникова. Она сложена песчаниками, филилловидными глинистыми сланцами с линзами мраморизованных известняков суммарной мощностью 1400—2000 м. На востоке территории никней перми уверенно могут быть отнесены только те части известняковых массивов, которые содержат раннепермскую фауну, например, *Prymadaeopteris* aff. *natalinae* Gorel., *Pecopteris* sp., *Callipteris* sp., *ivansevii* Gorel., *Comia dentata* Radcz., *Santalopsis* sp. и др.

Далее к Ю постпеловская свита почти полностью перекрыта более молодыми образованиями и снова появляется лишь в Гродековской зоне, где она выделена Н. М. Органовой под названием решетниковской свиты. Здесь она очень сходна со стратотипом. По данным В. И. Бурдаго и др. (1968 г.), в басс. р. Комисаровка свита начинается мелкогалечными конгломератами и гравелитами, сменяющимися выше песчаниками мелкозернистыми кварцево-полевшпатоватыми с маломощными прослоями почти чистых слоистых алевролитов с *Paracalamites angustis* Sch., *P. decoratus* (Eichw.) Zal., *P. pseudocircinalis* Radcz., *Sphenopteris* aff. *tenuis* Schenk., *Prymadaeopteris tungusica* (Schw.) Radcz., *Noggerathiopsis oldjerassica* Gorel., *N. kuznetskiana* Gorel., *N. concinna* Radcz., *Crassineria pentagonata* Gorel., *Neophryopsis romensis* Zal. и др. Мощность этой части разреза 660 м.

Выше наблюдается чередование алевролитов с мелко- и среднезернистыми песчаниками. Мощность пачки 300 м. Еще выше залегают алевролиты и аргиллиты (более 1000 м), содержащие линзы известняков с *Fistulifera* cf. *ciliangochorensis* Lo o, *Fistulamina* sp., *Hekagonella* sp., *Discritella* sp., *Streblascosheris* cf. *confusa* Mor., *Ufimia densum* (Hil.) Cadomofusella sp. В. И. Бураго, А. В. Киселева и А. П. Никитина считают, что слои, содержащие известняки, могут быть отнесены к верхней перми. Облачная мощность свиты около 2000 м.

Постпеловская свита, по-видимому, согласно залегает на Дунайской и согласно или с локальными несогласиями перекрывается верхнепермскими толщами. Возраст свиты по растительным остаткам определяется Г. П. Раченко как конец ранней или начало поздней перми.

Ариадинская свита (*Par*) выделена Н. А. Беляевским. В междуречье Ореховки и Малиновки свита делится на три подсвиты.

Нижняя подсвита (Савиновская) сложена глинистыми сланцами и туфогенными песчаниками, содержащими линзы и прослои порфиритов, кремнистых пород и известняков. Граница между себучарской и ариадинской свитами проводится условно по кровле мелкой пачки кремнистых пород. Мощность нижней подсвиты — 1100—1400 м. Средняя подсвита (660 м) представлена туфогенными песчаниками и алевритистыми сланцами, присущими примерно в равных количествах. Верхняя подсвита (1140 м) сложена преимущественно тонкорасчленованными алевролитами и филлитовидными сланцами. Песчаники присутствуют в отдельных прослоях мощностью от 20 до 70 м. Общая мощность свиты 2300—3000 м.

Южнее обширные участки свиты сохраняются, но в составе ее, по данным А. И. Бурда и Ч. П. Черныш, преобладают алевритовые сланцы. В басс. р. Журавлевка В. Н. Слантьевым в песчаниках, относимых к ариадинской свите, найдены отпечатки мшанок *Fenestella* sp., *Batostomella* sp., *Polytoma* sp.

К нерасчлененным нижнепермским (*P*) отнесен ряд толщ неясного стратиграфического положения или объема. К нижней перми условно относятся верхняя часть самурской серии, описанной Б. Я. Чирмышом (1969 г.) в хр. Стрельникова. Она сложена песчаниками, филилловидными глинистыми сланцами с линзами мраморизованных известняков суммарной мощностью 1400—2000 м. На востоке территории никней перми уверенно могут быть отнесены только те части известняковых массивов, которые содержат раннепермскую фауну, например,

\* Н. А. Беляевский [4], А. И. Бурда (1956 г.) и ряд других исследователей считают, что ариадинская свита лежит под себучарской.

В Даубихинской зоне к инзам верхней перми относятся в лади-  
каменушинской или березовской свиты (называемая иногда  
зиво).

#### На севере хр. Малинового Владивостокская свита (без базальных слоев и кровли), по данным В. А. Бажанова (1962 г.) и В. Г. Понома- рева (1964 г.), сложена внизу миндалекаменными диабазами, порфи- ритами с прослоями туфопесчаников и туфоалевролитов (400—500 м), в средней части — покровом фельзитов, фельзит-порфиров и туфобре- чий (около 400 м), между которыми лежит пачка (около 180 м) че- дования потоков фельзитов и порфиритов. Разрез заканчивается па- кой (около 600 м) чередующихся туфов основного состава, алевроли- тов, порфиритов и туффиотов. Общая мощность свиты около 1200 м.

Рожнес, в верховых р. Крыловка, мощность свиты — 2000—2500 м.  
На этом участке О. Г. Старов (1965 г.) к инзам разреза относит пач-  
ку фельзитов и липаритовых порфиров мощностью до 3000 м, что, воз-  
можно, связано с ошибками при увязке частных разрезов.

Восточнее, на междууречье Полянских и Арсеньевки, И. П. Черныш  
описала толщу эфузивов, соответствующую владивостокской свите.  
Нижнюю ее часть (400—700 м) слагают эфузивы среднего состава и  
их туфы, верхнюю (200—650 м) — эфузивы кислого и основного со-  
става, туфы и алевролиты. Разрез верхней части весьма неустойчив.

Общая мощность толщи — 600—1000 м.

В басс. р. Синегорка Владивостокская свита (1350 м) несогласно  
залегает на кембрий. По Л. Ф. Назаренко, низы свиты (около 800 м)  
сложены туфами дацитов с пачками туфогравелитов, туфоконгломера-  
тов, конгломерато-брекцииами и потоками дацитовых и липаритовых  
порфиров. В ней собраны *Paracalamites* ex gr. *Ulijinskensis* Gorel.,  
*P. goezperpii* Radcz., *Callipteris congermana* Zal., *Pursongia mongo-  
lica* Neub., *Protobechtignum wongii* Halle, *Comia* ex gr. *dentata*  
Radcz., *Listrophylgium uscatense* Zal., *Nephropsis lampadiformis*  
Gorel., *Lepidophilum cf. iljinskensis* Suchy, и др. Верхняя часть  
свиты (400—450 м) образована, чередованием потоков и покровов  
(20—120 м) липаритовых порфиров и пачкой (в 200 м) туфов. Коли-  
чество туфов увеличивается с В на З. Выше согласно залегает толща  
алевролитов и песчаников, обычно туфогенных. В составе этой толщи  
местами присутствуют редкие прослои туффиотов, порфиритов и потоков  
фельзитов. Мощность алевролитовой толщи меняется от 400  
до 1300 м.

В басс. р. Синегорка в туфоалевролитах собраны *Phyllotheeca* sp., *Pa-  
racalamites* sp., *Prynadaeopteris* aff. *maritima* (Zal.) Radcz., *P. an-  
thriscifolia* (Goepf.) Radcz., *Cladopliobis* cf. *tychiensis* Zal., *C.  
evenkensis* Radcz., *Callipteris* cf. *altaica* Zal., *C. zoilleri* Zal., *C.  
heleniana* Zal., *C. orientalis* Zal., *Compsopteris* cf. *tikhikovae* (?) Zal.,  
*Iniopteris sibirica* Zal., *Noeggerathiopsis candelarensis* Zal. и др.

Химические составы некоторых вулканитов из басс. рек Завитая и  
Смирновка приведены в табл. 4.

Средние эфузивы владивостокской свиты по химическому составу  
относятся к пересыпанным  $\text{SiO}_2$ , богатым шелочами породам, находя-  
щимся между андезитами и дацитами, с одной стороны, и трахитами  
и латитами — с другой.

Кислые эфузивы близки к риолитам и кварцевым кератофирам.  
Количество кислых эфузивов увеличивается в западном направлении  
(прим. вдоль Даубихинского разлома они либо отсутствуют, либо  
принадлежность их к Владивостокской свите сомнительна). Одновре-  
менно уменьшается количество осадочных пород (алевролитовая тол-

Химические составы пород Владивостокской свиты  
из басс. рек Завитая и Смирновка

Таблица 4

Породы	Оксиды												
	Количества	$\text{SiO}_2$	$\text{TiO}_2$	$\text{Al}_2\text{O}_3$	$\text{Fe}_2\text{O}_3$	$\text{FeO}$	$\text{MnO}$	$\text{MgO}$	$\text{CaO}$	$\text{Na}_2\text{O}$	Сумма		
Липариты . . . . .	26	76,78	0,12	12,48	11,53	2,95	0,04	0,10	0,38	1,64	4,59	0,17	100,69
Фельзиты . . . . .	3	77,23	0,08	10,27	2,98	2,24	0,06	0,13	0,10	2,35	4,75	0,21	100,57
Итимбриты . . . . .	3	72,29	0,13	13,47	1,39	3,43	0,06	0,30	0,32	2,02	5,09	1,20	99,61
Дациты . . . . .	2	64,56	0,37	18,00	1,54	2,91	0,05	1,67	1,93	4,85	2,80	0,91	99,59
Англезиты . . . . .	2	57,72	1,34	17,95	2,22	6,64	0,08	2,58	1,85	3,39	2,73	3,20	99,60
Базальты . . . . .	6	50,11	1,26	18,64	5,42	5,19	0,19	4,27	4,13	3,12	2,20	4,80	99,33

ша неизвестна) и увеличивается количество субаэральных эфузивов.

Барашанская свита ( $\text{P}_{\text{v}, \text{gt}}$ ) показана в Гродековской зоне,  
на водоразделе рек Студеная и Бойкая, где она залегает на средне-  
палеозойских Гранитах. Свита пестра по составу и изменчива по про-  
стиранию и мощности, в связи с чем ни один разрез не дает о ней до-  
статочно полного представления. Ю. Б. Евланов (1967 г.) дает сводное  
описание свиты для басс. рек Крепостная и Бойкая:

1. Кварцевые порфирры, частично, возможно, эк-  
струзивные . . . . .

не более первых  
сотен метров

2. Порфириты андезитовые, их туфы и туфобре-  
чии с маломощными прослоями туфопесчаников, содер-  
жащими остатки брахиопод. К Ю андезиты замещаются  
дацитами и их туфами

3. Туфы и липаритовые порфирры, фельзит-порфи-  
ры и дациты с маломощными прослоями порфиритов  
и их туфов и пластами туфогенно-осадочных пород,

кремнистых сланцев, кремнистых аргиллитов, туфов  
кислого состава, туфопесчаников и пелитоморфных из-  
вестняков

4. Пересланение песчаников арковых, туfo-  
конгломератов, туфогравелитов, туфоалевролитов, из-  
вестниковых туфлитов, туф дацитов и фельзитов,

линизованных известняков мощностью до 100 м и фельзитов.

В туфлитах остатки *Fenestella* sp., *Polygora* sp., *Raf-  
foria* sp., *Sutcliftepora* sp., *Aulaciotecton* cf. *hiem-  
atolita* Tschern., *Lepidodus iwanovi* Frcks., *Marginitera* cf. *in-  
criniformis* Frcks., *C. villosi* Orb., *Striatifera* cf.

*compressus* var. *corniformis* Chao . . . . .

150—900

5. Эфузивы и туфы состава липаритовых пор-  
фиров, фельзит-порфиротов и дацитов с маломощными  
линизованными прослоями туфопесчаников и туфлитов

325—725

6. Порфириты андезитовые и их туфы с прослоя-  
ми туфоалевролитов, туфлитов и туфопесчаников.

Верху туфы липаритовых порфиротов

350—375

2025—4350

Смирновка приведены в табл. 4.

Средние эфузивы владивостокской свиты по химическому составу  
относятся к пересыпанным  $\text{SiO}_2$ , богатым шелочами породам, находя-  
щимся между андезитами и дацитами, с одной стороны, и трахитами  
и латитами — с другой.

Кислые эфузивы близки к риолитам и кварцевым кератофирам.  
Количество кислых эфузивов увеличивается в западном направлении  
(прим. вдоль Даубихинского разлома они либо отсутствуют, либо  
принадлежность их к Владивостокской свите сомнительна). Одновре-  
менно уменьшается количество осадочных пород (алевролитовая тол-

е с более молодыми пермскими породами во многом неясно. По видимому, они лежат на ней несогласно. Органические остатки, найденные в барашской свите, определяют позднепермский ее возраст.

Более высокие слои верхней перми в Даубихинской зоне выделены в угодинскую свиту ( $P_{2,3}$ ). На левобережье р. Мангоутчики, по данным В. А. Бажанова (1964 г.), в основании свиты залегают среднегалечные конгломераты и крупнозернистые полимиктовые песчаники (70—80 м), и на них пачка алевролитов и мелкозернистых песчаников (180 м). Верхняя часть разреза сложена песчаниками (60 м), сменяющимися выше алевролитами мощностью до 160 м. Общая мощность свиты 480 м. Из алевролитов Г. В. Котляр определила: *Cancrinella villetsi* Ог. и *Aegiclyptes sizensis* (Masl.). На водоразделе рек Киренец и Мангоутчики в низах свиты обнаружены мицланки *Fenestella*, *Polytora*, *Lima* (?) *formosa* Lo b.

Примерно такое же строение сохраняет свита и южнее, в верховье стокской свите и несогласно перекрывает карнийским отложениям. Р. Петровка, где она несогласно или с размытием залегает на влагиво-южнее, близ с. Марьиновка, в низах свиты (1450 м) появляются многочисленные прослои известняков, которые сменяются выше алевролитами с прослоями песчаников, а еще выше — слюдистыми туфогенными алевролитами и песчаниками. В районе пос. Владимирка мощность известняков значительно увеличивается за счет небольших рифовых массивов. Из известняков определены *Lasioidiscus* sp., *Lasiotrochus* sp., *Colaniella* sp., *Gelatinina* sp., *Nodosaria* sp., позволяющие угодинскую свиту относить к верхам верхней перми.

В Гродековской зоне к верхам перми с известной долей условности относится погранетровская свита ( $P_{2,3}$ ). Ю. Б. Евлановым (1967 г.) она делится на две подсвиты. В основании свиты залегают туфогенные крупновалунные конгломераты, фельзиты, туфы и туфобрекции кристаллического состава и различные туффиты. В основном же нижняя подсвита (1100—1500 м) сложена туфогенными песчаниками различной зернистости. Верхняя подсвита (2000 м) представлена глинистыми и углисто-глинистыми сланцами, с прослоями песчаных сланцев и мелкозернистых песчаников и с потоками андезитовых и базальтовых порфиритов, дацитов и их туфов. Количества эфузивов увеличивается к С. Мощность свиты — 3000 м. В породах свиты собраны *Cancriella cancriformis* (Tsch.), *Anidanthus ussuricus silishagensis* Kotl., *Spiriferina* cf. *cristata* (Schloeth.), *Pterospirifer* cf. *alatiformis*. Lich. и др.

К несогласленной верхней перми ( $P_2$ ) в Центрально-Сихотэалинской зоне относится извилинская свита, выделенная В. Н. Сибиряковым (1965 г.). По данным А. А. Астапова (1968 г.), на правобережье р. Пр. Антоновка свита сложена алевролитами и песчаниками, частично слюдистыми, среди которых имеются небольшие линзы известняков. Иногда криноидных, содержащих *Lasiodiscus* sp., *Nodosaria* sp., *Tetralaxis* sp., *Lagenidae* и др. (определения М. И. Сосиной); *Alexenia* cf. *gratiosa* Wag., *Enteletes* cf. *nucleolus* Gab., *Camaroniphoria* aff. *marginata* Tsch., *Waagenites* *matchensis* Lich., *Spirifer* cf. *reedi* Lich., *Spiriferina cristata* Schloeth. и др. (определения Г. В. Котляра). Мощность свиты 220 м. На других участках состав свиты сохраняется, но мощность колеблется от 50 до 150 м.

Севернее, в междууречье Б. Уссури и Малиновки, к верхней перми относится толща (700—1000 м) туфогенных песчаников, туфитов и алевролитов. Толща несогласно ложится на ариадинскую и субкубическую свиты. В основании ее часто присутствуют туфоконгломераты и грубозернистые песчаники.

На левобережье р. Амура к верхней перми отнесена толща (200—300 м), слагающая Вениловские сопки. Она представлена массивны-

ми алевролитами с прослоями среднезернистых аркозовых песчаников и полимиктовыми мелкогалечными конгломератами с галькой роговиков, алевролитов, песчаников, разнообразных гранитов, фельзитов и других пород. Конгломераты залегают в низах толщи. В алевролитах содержатся неопределенные остатки растений. К верхней перми толща отнесена по литологическому сходству с верхнепермской угнунской свитой хр. Чурки.

## МЕЗОЗОЙ

### Триасовая система

Триасовые отложения на рассматриваемой территории распространены крайне ограничено, в основном в Даубихинской зоне. Здесь достоверно выделяются нижний и верхний открыты.

Нижний триас ( $T_1$ ) залегает на верхнепермских отложениях с незначительным угловым несогласием. В басс. кт. Известкового он расчленяется на горизонт базальных конгломератов и мелкозернистых песчаников мощностью до 100 м и горизонт тонкослоистых алевролитов и тонкозернистых песчаников мощностью 160—200 м. В нижнем горизонте в песчаниках обнаружены *Xerocoelites* cf. *spitsbergensis* Sp. Rath., *Eumorphites* af. *occidentalis* (Whit.), *«Pteria» ussurica* Kipar. *P. ussurica* Kipar. и др., характерные для верхов олешинского яруса, но встречающиеся и в азиатских отложениях.

На водоразделе рек Крыловка и Уссури, западнее пос. Межгорье О. Г. Старовым (1965 г.) выделены слюдистые алевропесчаники и глинистые сланцы (около 70 м) с многочисленными *Leiophyllites* cf. *prae-maturus* Kipar., *Postonita abrekensis* Kipar., *Eumorphites occidentalis* (Whit.), *«Pteria» ussurica* (Kipar.), *Claraia aurita* (Hauer.). Отложения верхнего триаса распространены шире. Они делятся на карнийский и норийский ярусы. Там, где границы ярусов не выяснены, на карте верхнетриасовые толщи показаны нерасчлененными.

Карнийские отложения ( $T_2$ ) распространены от басс. р. Синегорка на юг до р. Ореховка на севере. На нижележащих толщах залегают несогласно, разрез этих образований устойчив. В основании толщи обычно залегают конгломераты, от среднегалечных до валунных, сменяющиеся выше песчаниками с подчиненным количеством алевро-

литов и углисто-глинистых сланцев. Характерным для всех пород является примесь вулканогенного материала. Мощность толщи весьма изменчива и на левобережье Арсеньевки, западнее с. Яковлевки, равна 800—980 м, на правобережье Уссури — 550—660 м. В песчаниках и алевролитах почти повсеместно имеются многочисленные карнийские *Monoitis scutiformis* var. *kolymica* Kipar., *M. scutiformis* var. *multicostata* Kipar., *M. scutiformis* var. *typica* Kipar., *M. jakutica* Tel. и др. В углисто-глинистых сланцах на левобережье р. Арсеньевки обнаружены растительные остатки: *Cladophlebis* sp., *Taeniopteris* sp., *Podozamites lanceolatus* L. et H., *Phoenixopteris* sp.

Норийские отложения ( $T_3$ ) распространены на тех же участках, что и карнийские. В басс. р. Арсеньевка, вблизи с. Марьинка, норийские отложения залегают несогласно на карнийских и верхнепермских образованиях, а в басс. рек Крыловка и Уссури разрез карнийских и норийских отложений непрерывен.

В басс. р. Арсеньевка, вблизи д. Андреевка, по данным Ю. В. Бариника (1962 г.), в основании норийского яруса залегает пачка (250 м) алевролитов с подчиненным количеством песчаников. Выше лежащая пачка (220—250 м) сложена песчаниками разной зернистости с мощностью пластов от 7 до 40 м. В середине разреза присутствует прослой

траверлитов мощностью 3—5 см. На правобережье р. Крыловка, по О. Г. Старову (1965 г.), низы яруса (до 500 м) представлены мелко- и среднезернистыми полимиктовыми и аркозовыми песчаниками, в верхах (850 м) — алевролитами, переслаивающимися с песчаниками. Мощность пластов — от 0,1 до 0,8 м. Для пород характерна примесь туфового материала. Мощность норийских отложений на этом участке — 1040—1060 м.

В басс. р. Сильтань-Шань норийские отложения (650—800 м), согласно залегают на карнийских. Они начинаются пачкой мелкозернистых песчаников мощностью 150—200 м, которые перекрыты пачкой (около 100 м) алевролитов и аргиллитов с маломощными (0,36 м) пластами каменного угля. Верхняя часть яруса (400—500 м) представлена песчаниками, среди которых в верхах появляются прослои мелкогалечных конгломератов и алевролитов. В них всюду обнаружены остатки *Motolis ochotica* и его вариетета, а также редкие *Motolis jakutica* Гел., *Entolium cf. kolytaense* Кират и другие виды, характерные для норийского яруса Приморья.

К нерасщлененному верхнему триасу ( $T_3$ ) в Даубихинской зоне отнесены песчано-сланцевые толщи с карнийской и норийской фауной, но пока не подразделенные на ярусы. В Центрально- и Восточно-Сихотэалинской зонах в верхнетриасовых толщах присутствуют известковистые алевролиты и песчаники (басс. р. Журавлевка и верхнее течение р. Павловка) и линзы известняков, кремнистых пород и спилитов (район горы Ким). Мощность толщи изменяется от 160 м по р. Журавлевка до 1000 м по кл. Ольгому.

Красноармейская свита ( $T_3kr$ ) в басс. рек Третья и Первая Сельмая и в районе г. Вяземский. Свита, по данным Ю. Г. Струве, в нижней части (800 м) сложена преимущественно известняками (мощность отдельных горизонтов до 150 м), а также яшмовидными породами и аргиллитами, а в верхней (400 м) — яшмовидными породами с подчиненными прослоями аргиллитов. Общая мощность свиты 1200 м. Обнаружен А. Н. Ефимовым (1951 г.) и Ю. Г. Струве (1966 г.) в яшмовидных породах радиолярии указывают на триасовый возраст свиты или юрский возраст вмещающих пород. Позднетриасовый возраст свиты принимается на основании находок в ней остатков *Halobia* на смежной территории.

## Юрская система

Юрские отложения выделены только на юго-востоке и севере территории. По составу и фауне они подразделяются на ряд толщи и свит. Нижний — средний отделы юры на юго-востоке территории выделены В. Н. Силантьевым (1965 г.) в окрестности с. Краснодар ( $J_1-J_2k$ ). В басс. р. Лев. Антоновка эта свита без видимого несогласия залегает на верхнем триасе. Она сложена преимущественно алевролитами с очень тонкими (до 1—5 м) прослоями песчаников. Мощность свиты — 350—450 м на большей части территории и до 1000 м на водоразделе рр. Гольдячка и Попечка. По р. Лев. Антоновка и р. Муравейка в свите обнаружены среднетриасовые *Myllocoeratus* aff. *ussuriensis* Vog., *Posidonia* cf. *buchi* Roem., а в басс. р. Извилинка И. И. Сей — Е. Д. Калачева (1970 г.) [4] — *Amaltheus stokesi* Sow., *Arieticeras japonicum* Mats., A. aff. *agrovianum* Opr., *Dactylioceras polymorphum* F. C. Sp. и др.

К В от поля развития окраинской свиты отложения нижней — средней юры ( $J_1-J_2$ ) известны под называнием эрдатоусской свиты. В бассейне верхнего течения рек Павловка и Зеркальная эта свита обнажается в ядрах антиклинальных складок или в тектонических блоках среди меловых толщ.

Свита сложена мелко- и среднезернистыми песчаниками, алевролитами, глинистыми и кремнисто-глинистыми сланцами. Мощность свиты от 600 до 2000 м. Возраст ее определен по остаткам радиолярий. На севере территории к ниже-среднекорским отложениям К. П. Титовым (1966 г.) условно отнесена толща алевролитов и толща кремнистых пород. Первая толща прослеживается на правобережье р. Улитка, где она залегает на каменоугольных сланцах, реже тонкозернистых песчаников и единичными линзами кремнистых пород, по пространнию замещающихся алевролитами, глинистыми сланцами и, реже, песчаниками.

Толща кремнистых сланцев (600—800 м), залегающая согласно на толще алевролитов, в своем составе, кроме кремнистых сланцев, содержит редкие алевролиты, кремнисто-глинистых сланцев, песчаников и, очень редко, известняков. Общая мощность нижней — средней юры в басс. р. Култуха определяется в 2100—2350 м. Р. Х. Липман в кремнистых сланцах обнаружила мезозойские радиолярии *Dictyonella* sp., *Cyrtosarsa* sp., *Staurolonche* sp., *Porodiscus* sp. К. П. Титов составляет толщу алевролитов с отложениями, в которых в басс. р. Первая Сельмая найдены *Myllocoeratus formosulus* Vog., *Pecten* (*Gasteropetes*) cf. *artatus* (Wag.) ранне-среднекорского возраста.

К средней юре ( $J_2$ ) отнесены отложения, распространенные на юго-востоке территории, где они залегают с резким угловым несогласием на палеозойских отложениях. В окрестностях с. Уборка, в басс. р. Павловка, толща сложена крупнозернистыми песчаниками, гравелитами, континентально-брекчиями и алевролитами, а в басс. Журавлевка — континентальными и континентально-брекчиями. На водоразделе ключей Воскресенский и Сидаев среди песчаников присутствуют прослои туфов и эфузивов среднего состава. В песчаниках найден среднекорский *Myllocoeratus ex gr. retrorsus*. Видимая мощность толщи — 200—250 м.

Верхнегорские отложения выделяются несколько условно. На юго-востоке к ним отнесена погская свита ( $J_3^2pg$ ). Она приурочена к полям распространения окраинской свиты, на которой залегает с небольшим угловым несогласием. В свите преобладают порфириты, спилиты, туфы и туфобрекции субшелочных базальтоидов и отчасти туфо-алевролиты и туфоконгломераты, быстро фациально меняющиеся.

По данным Г. К. Еременко (1961 г.), в басс. р. Павловка нижняя часть свиты (200—300 м) сложена мелкобломочными и пепловыми, выстро-кристаллоактическими туфами субшелочных базальтоидов. Верхняя пачка (80—100 м) представлена туфобрекциями, туфоконгломератами и туфами с лапиллями и бомбами и редкими прослоями спилитов. Общая мощность свиты — 200—400 м. В подстилающих свите породах обнаружены изометричные некки, сложенные эруптивными брекчиями, и гипабиссальные тела кампотонитов — монцикитов. Небольшие площади погской свиты известны севернее в верховьях р. Лев. Антоновка. По материалам Ф. Т. Кинева (1960 г.), здесь она несогласно перекрывает ниже-среднекорские и триасовые толщи. Сложена она преимущественно порфиритами и имеет мощность около 500 м. Ф. Т. Кинев отмечает, что порфиры, вероятно, несогласно перекрываются песчаниками, в которых были найдены раковины юрских *Postegamia* (?) *Entolium* и *Melearginella*.

На севере территории к верхней юре ( $J_3^2$ ) отнесена култухинская толща (басс. р. Улитка). Наиболее полный разрез нижней части толщи составлен К. П. Титовым (1966 г.) по линии горных выработок на правобережье р. Улитка. Здесь на кремнистых породах, отнесенных к нижней — средней юре, залегают рассланцованные алевролиты с пластиами (до 20 м) кварц-полевошпатовых песчаников и линзами минда-

лекаменных порфиритов. В верхах разреза среди алевролитов очень редко встречаются прослои тонкозернистых песчаников и эфузивов. Характерным является наличие прослоев и линз известняков с кремнями. Мощность толщи 700—950 м.

В карьере на правом берегу р. Улитка, выше устья р. Золотой Ключ, найдены остатки *Bucania lahuseni* Pavl. и *B. stantoni* Pavl. позднеорского — берриасского возраста.

## Меловая система

Меловая система на рассматриваемой территории представлена осадочными, вулканогенно-осадочными и вулканогенными образованиями.

**Берриасский и валанжинский ярусы** (Куб — в) распространены преимущественно в Восточно-Сихотэалинской зоне и фрагментарно встречаются в Центрально-Сихотэалинской и Буренской зонах. В Восточно-Сихотэалинской зоне они подразделяются на таухинскую и ключевскую свиты.

В верхоях рек Павловка и Зеркальная таухинская свита (700—750 м) залягает с угловым несогласием на юрских и верхнетриасовых отложениях. В низах ее (20—200 м) преобладают песчаники и гравелиты, а в средней части (до 360 м) — песчаники и алевролиты с прослоями и линзами кремнистых алевролитов и кремнисто-шеблевых пород. Верхи свиты (150—400 м) сложены массивными, реже слоистыми алевролитами, содержащими прослои мелкозернистых полимиктовых песчаников. В свите по р. Павловка найдены *Neosomites* (?) sp., *Polyptychites* (?) sp. ind., *Buchia* ex gr. *keyserlingi* Lah., а в истоках руч. Леспромхозовский — *Grammatodon* sp., *Astarte* sp. По мнению В. П. Коновалова, эти фаунистические остатки указывают на берриас, что дает возможность сопоставления их с таухинской свитой Приморья.

В верхоях р. Павловка, в басс. руч. Отлогий и в районе горы Ким, А. И. Бураго (1967 г.) выделяет ключевскую свиту, которая здесь несогласно залягает на карнийских, норийских и, предположительно, юрских отложениях. Свита (300—350 м) сложена мелко- и крупнозернистыми песчаниками, реже алевролитами, гравелитами и мелкогалечными конгломератами. Севернее, в басс. р. Перевальная, берриас-валанжинские отложения разделяются на две согласно лежащие толщи. Взаимоотношения с подстилающими отложениями осложнены разломами, базальные слои неизвестны.

Нижняя толща (500 м) сложена массивными алевролитами с редкими прослоями тонкозернистых песчаников. Верхняя толща (500—600 м) начинается конгломератами мощностью от 3 до 70 м, которые сменяются мелкозернистыми песчаниками, переслаивающимися с алевролитами. Близкая по составу и мощности толща выходит на поверхность в басс. р. Антоновка. Отложения того же возраста широко развиты в басс. р. Журавлевка. Они представлены алевролитами с подчиненным количеством песчаников, часто плохо сортированных, плохо окатанных зернами. Мощность отложений здесь превышает 1200 м.

В Центрально-Сихотэалинской зоне известны отложения, сопоставимые с ключевской свитой. В верхоях рек Синей Журавлевской и Синей Северной с резким угловым несогласием они ложатся на шелочных базальты пограничной свиты, имея в основании средне-, крупноглечные конгломераты, гравелиты и песчаники мощностью около 150 м. В остальном свита сложена песчаниками, среди которых есть несколь-

ко прослоев алевролитов (до 10 см) и один пласт конгломерата мощностью в 9 м. Мощность свиты 350—500 м. В этих отложениях всегда содержатся многочисленные раковины валанжинских *Bucania* cf. *vulgaris* Lah., *B. cf. terebratoides* Lah., *B. inflata* (Toul) Lah., *B. crassa* Pav., *B. cf. uncitoides* Pav., *B. bulloides* Lah., *B. cf. sizarensis* Pav., *B. cf. keyserlingi* Lah., *B. crassicollis* Keyss.

В басс. р. Синей Журавлевской в алевролитах найдены отпечатки *Cladophlebis bronniiana* (Dunck.) Sew., *C. denticulata* (Balogh.) Font., *Nissonia* sp. cf., *N. orientalis* Heer, *Dictyozamites* sp. условно к валанжину отнесены Л. В. Эйришем (1964 г.) отложения ургальской свиты (Куб), обнажающиеся по р. Амур и заливающие с угловым несогласием на нижнепалеозойских гранитах и поклонах протерозоя. Толща сложена крупновалунными полимиктовыми конгломератами с редкими прослоями гравелитов и грубозернистыми песчаниками мощностью до 8 м. Песчаники содержат прослои (до 20 см) углистых аргиллитов и алевролитов с остатками обуглившимися растений и с тонкими (до 5 см) пропластками угля. Видимая мощность толщи порядка 100 м. Среди остатков ископаемой флоры М. М. Кошиман определила *Rigitophillum nordenstielii* Nath., *Phoenixopsis* sp., *Rodogamites* cf. *lanceolatus* L. et H.

Готеривские — альбовые отложения (Куб—ал) разделяются на морские и континентальные толщи и свиты. Морские фации развиты только на юго-западе и севере территории, где им, по аналогии с северными районами Сихотэ-Алиня, присвоено наименование укутской свиты.

Укутская свита (Куб) в Восточно-Сихотэалинской зоне прослеживается от верховьев р. Аввакумовка до верховьев р. Журавлевка. В западных участках зоны свита залягает с разрывом на валанжине, часто с конгломератами в основании, в центральных же частях зоны перерывы между валанжином и укутской свитой не наблюдаются, хотя местами к основанию свиты и приурочены грубозернистые отложения.

На юге зоны, в басс. рек Павловка, Перевальная, Партизанка, Б. Д. Чемерис (1966 г.) и А. И. Бураго (1967 г.) в свите выделяют три подсвиты. Нижняя подсвита (400—670 м) сложена аркозовыми песчаниками, переслаивающимися с алевролитами. Последние составляют до трети объема подсвиты. В средней подсвите (100—500 м) преобладают алевролиты и аргиллиты, слагающие до 75% разреза; меньшее значение имеют песчаники. Верхняя подсвита (100—850 м) сложена существенно песчаниками с отдельными пачками (20—40 м) переслаивающихся песчаников и алевролитов. Близкий состав укутской свиты имеет и на остальной территории Восточно-Сихотэалинской зоны. Местами присутствуют только количественные соотношения песчаников и алевролитов, мощности подсвит и общая мощность свиты. Иногда в разрезах появляются небольшие прослои конгломератов и гравелитов. Общая мощность укутской свиты — от 1500 до 2500 м. Возраст свиты определяется по находкам (басс. р. Журавлевка) растительных остатков, среди которых И. Н. Сребродолская определила *Dictyozamites* aff. *cordatus* (Kuhsht. et Prugh.) Prugh., а также аммоныты *Aستانхоноплитес* cf. *ascithensis* (Antula), имеющих распространение от верхов альба до альба включительно. Из верхней подсвиты (верховье к. Партизанский) А. А. Асипов (1968 г.) собрал *Parasites* sp. и *Phylloparastites* cf. *infundibulum* (Ogb.), позволивших отнести прослои к альбу или альбо. Хотя перенесенная фауна определяет возраст пород в пределах альпа или альба, вся толща пород, согласно залегающей на валанжине, уверенно сопоставляется с укутской свитой более северных районов, где она по возрасту охватывает интервал от гетерива до альба.

В Центрально-Сихотэалинской зоне укутурская свита распространена на небольших площадях и залегает на палеозойских или юрских отложениях. Свита чаще всего начинается конгломератами мощностью

до 60 м, в центре же она сложена преимущественно грубоозернистыми песчаниками с линзовидными прослойями Илья-Макаритнова. (Видимая ее мощность 200 м. В басс. р. Муравейки И. А. Макаритнов (1961 г.) со-бранны аммонит *Spiriferiscus* sp. и ауцеллины: *Aicellina apiensis* Prosp., A. cf. *casicasica* Busch., A. cf. *icturiensis* Ver. Эта фауна позволяет датировать вмещающие породы ютериевом — альбом.

На северо-востоке территории к Уктуруской свите \* в верховьях рек Первая Сельмая, Вторая Сельмая, Бира и Подхоренок отнесена мощная толща, сложенная глинистыми и кремнисто-глинистыми пачками, выделенная восемью подсвитами аналогичного строения и состава, различающими только количественными соотношениями пород. Мощность этих подсвит колеблется от 490 до 1430 м, а общую мощность свиты Н. Ф. Смирнов (1963 г.) определяет в 9000 м.

В верховьях р. Вторая Сельмая обнаружены: *Aicellina* (?) sp., (*aff. casicasica* Busch.), A. cf. *apriensis* Orb. [1], характерные для верхов Уктуруской свиты.

На западных склонах хр. Стрельникова Б. Я. Чернышом (1969 г.)  
из уктурской свиты отнесены отложения, залегающие на каменноуголь-  
ных тощих. В ней выделяются три подсвиты.

и мелкозернистыми пестниками, квадро-поливолистовидными. Среди тубогенными. В 200—300 м от подошвы отмечены аргиллиты, насыщенные растительным детритом, а также пласт очень зольного каменного угля мощностью 0,2—0,5 м. В аргилитах на горе Точильная обнаружены *Cladophlebis oerstedii* (Heeg) Se w., *Elatocladus manchuricus* (Yok.) Уабе, *E. brevifolia* Ргун., *Pagiophillum orientalis* Kryucht. et Ргун., *P. circulifolium* Dunk., *Coniopteris nympharum* (Heeg) Vach., *Sagenopteris* sp., *Nilssonia ussuriensis* (Möell.).  
Halle.

В верхах подсвиты находятся в изобилии отпечатки нукул, лед и пектенов, а также *Hulsenites* (?) sp. и *Tetragonites* sp., по заключению В. И. Коновалова свидетельствующие об альпийском или альбском возрасте вмещающих слоев. Нижняя часть подсвиты может соответствовать гетерив-баррему, чьему не противоречат встречающиеся в ней растения никанского комплекса.

Средняя подсвита (630—800 м) сложена алевролитами, в меньшем количестве туффитами, туфопесчаниками и туфами порфиритов. В 30—40 м от кровли в подсвите имеются горизонты порфиритов и линза битуминозных органогенных известняков. В подсвите обнаружены линзы *Ancylites aptenensis* Ромп., *A. caucasicus* Бич., *A. ukturensis* Вег., *A. anadyrensis* Вер., *A. kryzhanovskii* Вег., *Inoceramus concentricus* Рагк., *Elatostomus manchuricus* (Уок.) Уаве. Комплекс однозначно указывает на алт-альбский возраст подсвиты в целом, а ее самые молодые слои с *Inoceramus concentricus* Рагк. датируются как средний — поздний альб.

Верхняя подсвита (500 м) состоит из ритмично чередующихся (0,1—0,4 м мощностью) косослоистых мелкогернистых песчаников и алевролитов с раковистым дентритом, причем в верхах подсвиты много песчаников и иногда содержатся линзы среднегалечных контгломератов. На западных склонах хр. Стрельникова, по данным Б. Я. Черышева (1962 г.), в составе подсвиты резко увеличивается роль конгломератов.

\* Н. Ф. Смирнов (1963 г.) выделял эти отложения под названием Шуминской свиты.

Мераторов и мощность подсвиты достигает 1000—1200 м. Здесь в подсвите найдены аммониты, сходные с алтакими *Deshajesites cf. consobrinoides* [11].

В Ханкайской зоне с уктурской свитой сопоставляются угленосные отложения сучанской серии (*Kisc*), наиболее широко развитые в басс. р. Раздолная. Они залегают с угловым несогласием на Верхнепермских отложениях и на палеозойских гранитах. По литологическому составу они делятся на три толщи. Нижняя толща (150—300 м) представлена среднегалечными конгломератами, кварц-пелевоплитовыми песчаниками и алевролитами с прослоями (до 0,2 м) каменного угля. Средняя толща (150—300 м) наименее десантметровым горизонтом мелкогалечных конгломератов, сменяющихся высокими песчаниками. В подчиненном количестве присутствуют алевролиты и аргиллиты. Верхняя толща (160—200 м) сложена аркозовыми, реже полимиктовыми песчаниками с подчиненными прослоями глинистых сланцев. Толща содержит от 2 до 4 пластов и несколько пропластков каменного угля. Нижний пласт — «рабочий», повсеместно распространенный, принимается за маркирующий. В районе с. Новогеоргиевка нижняя толща отсутствует и разрез начинается со средней толщи, в основании которой залегают базальные конгломераты мощностью от 4 до 50 м.

Многочисленны остатки никанской фауны, приуроченные в основном к горизонтам угольных пластов: *Claudophrlebis* ex gr. *denticulata* (B. I. o. g.) Font., *Marchantites yabei* K. y u s h t., *Gleichenia* cf. *nordenskioldii* Heer, *Nissoniopteris rhizotorrhachis* (K. y u s h t.), *Antomozamites niessoni* (Phil.) S. e w., *Ptilophyllum arcticum* (Goepp.) S. e w., *Cephalotaxopsis* cf. *heterophylla* Hollieck, *Zamites ivanovi* K. y u s h t. et Phil. и др., указывают на алт-альбский возраст. Отложения, составляемые с сучанской серией, встречаются также на небольших разрозненных площадях, а именно на восточных склонах хр. Синий, на воротаделе ключей Огойной и Ореховой (кр. Холодный), где они с угловыми несогласиями перекрывают верхнетриасовые отложения.

Мощность этих образований 400—500 м.

Из коллекции флоры, собранной В. А. Бажановым и др. (1962 г.) в аргиллитах по кличу Июбориному, определены: *Onychiopsis* sp., *Gadophlebis lobifolia* (Phil.) B. I. o. g. p., *Sphenopteris* sp. ex gr. *goeppetti* Dunk., *Elatocladus* sp. cf. *E. manicurica* (Yok.), Уаве. Возраст толши, по мнению С. А. Баготы, вероятнее всего, раннелемовой.

Кальбуй в Восточно-Сихотэалинской зоне отнесена лужинская свита (*Kilz*). Наиболее полно ее разрез (680 м) изучен по правому берегу р. Павловка от ключа Силачтева до пос. Нижние Лужки. Свита залегает пачка (190 м) песчаников с линзами мелкогалечных конгломератов, содержащих ракушняковые банки. В ос talном свите сложена мелкозернистыми песчаниками, переходящими по простиранию в алевролиты; имеются тонкие прослои углистого аргилита. По простиранию состав свиты сохраняется, меняется только количественное соотношение песчаников и алевролитов (Б. Д. Чемерис, 1966 г.). Возраст свиты определяется по фауне тригоний, встреченной во многих местах: *Pterotriconia* cf. *stratiiformis* Kopov., *P.* cf. *hokkaidiana* (Yok.), *Ussuritrigonia* sp. indet. и др. В. Г. Коновалов (1964, 1965 г.) считает, что фауна тригоний — средне-поздне-

К верхнему отделу отнесены преимущественно континентальные осадочные и вулканические образования. Морские отложения известны только на небольших площадях на северо-востоке территории. По возрасту отложения подразделяются на сеноман-туронские, турон-сенон-ски и сенон-латские.

К сеноман-турону отнесены континентальные осадочные и вулканические образования, выделенные в коркинскую серию и алчанскую свиту.

Коркинская серия ( $K_{2kr}$ ) развита в басс. рек Арсеньевка и Раздольная, где Л. Ф. Назаренко (1967 г.) разделяет ее на две свиты: кангаузскую и романовскую. Кангаузская свита (470 м) на водоразделе рек Арсеньевка и Сингорка несогласно залегает на Триасе и сложена песчаниками с резко подчиненной ролью гравелитов и алевролитов.

Отложения, сопоставимые с романовской свитой, прослеживаются от р. Сингорка до пос. Андреевка. Свита представлена алевролитами и песчаниками зеленых, шоколадных и птицистых расцветок. По литологическому составу свита расщепляется на четыре пачки.

Первая пачка (350—500 м) начинается с появления шоколадоцветных пород. Слагают ее тонко-среднезернистые полимиктовые песчаники и алевролиты. Мощность слоев — от нескольких сантиметров до десятков метров. Вторая пачка (700—950 м) состоит из алевролитов, песчаников и аргиллитов. Третью пачку (350 м) слагают полимиктовые песчаники. В средней части пачки встречаются линзы мелкогалечных конгломератов. Алевролиты шоколадных цветов развиты незначительно. Эта пачка содержит остатки эстерий и растений плохой сохранности, а также раковины пирен, которые, по мнению В. Н. Вещицкого и Б. П. Коновалова, характерны для коркинской серии. В районе с. Лукино в зеленых алевролитах А. А. Якушиной собраны остатки *Trigonioides cf. turistichevi* Martins, *Cyrtina* sp., *Unio* sp., *Bithynia* sp., *Planorbis* sp., отвечающие по возрасту сеноман-турону.

Верхняя пачка (200 м) представлена алевролитами, аргиллитами и силеневатыми туфогенными песчаниками с линзами мелкогалечных конгломератов, причем вверх по разрезу увеличивается количество грубозернистых аркозовых песчаников и простоеи мелкогалечных конгломератов. Суммарная мощность коркинской серии 2000—2300 м.

На юго-западе территории, по данным Ю. Б. Евланова (1967 г.), коркинская серия выходит на поверхность из-под палеоген-неогеновых отложений в басс. р. Раздольная и р. Липовцы. Она согласно залегает на сучанской серии, с которой литологически связана путем постепенного увеличением в разрезе количества туфогенных песчаников. Туфогенные песчаники с обломками вишнево-красных эфузивов, с прослоями конгломератов и шоколадоцветных алевролитов, иногда туффитов, доминируют в разрезе коркинской серии.

Алчанская свита ( $K_{2al}$ ), выделенная Б. Я. Чернышом (1969 г.), занимает обширную площадь между речьми Бикина и Маровки. С резким уловым несогласием свита ложится на все древние образования до нижнечеховых включительно. Стратотип алчанской свиты (1600—1700 м) описан в окрестностях пос. Верхний Краснай Перевал, где она имеет отчетливое двухчленное строение.

Нижняя подсвита (520 м) начинается пачкой туфогенно-осадочных пород, с резким азимутальным несогласием лежащих на Уктуруской свите. Базальные мелкогалечные конгломераты (0,3 м) состоят из галек алевролитов, порфиритов, песчаников, редко кремнистых пород. Выше лежат туфогенные алевролиты, чередующиеся со среднезернистыми песчаниками и углистыми аргиллитами с *Cladophlebis delicatula* Yabe et Oischii, *Sphinctopeltis cf. goeppertii* Dunk, *Pterophyllum* cf. *lyellianum* (Dunk) Sew, *Pagurophyllum* cf. *orientalis* Krysh. et Rupp., *Elatocladius subzoniatus* Moell. и др. Мощность базальной пачки — 14 м. Выше подсвита сложена туфами и туфобрекциями альбитофиров, переслоенных потоками альбитофиров и фельзитов. В разрезах с преобладанием пирокластов мощность подсвиты увеличивается до 700—800 м.

Верхняя подсвита (900 м) сложена порфиритами, туфами и туфобрециями порфиритов. Изредка присутствуют туфопесчаники, альбитофилии и фельзиты. Толщина порфиритов присутствует не повсеместно, и в этих случаях граница между подсвитами различается с трудом. В бассейнах рек Челюнка и Змеиная в подсвите преобладают кислые эфузивы, в том числе ортофиды, а также единичные прослои эфузионов, близких к трахиандезитам и шистоным трахитовым порфирам. По заключению С. И. Неволиной и С. А. Батоль, комплекс флоры определяет возраст вмещающих пород как самые верхи нижнего мела. Спорово-пыльцевой комплекс из той же пачки, содержащий, кроме голосеменных, пыльцу *Athus* sp., *Salix* sp., *Caryta* sp., единичные *Quercus* sp., трехбороздные *Angiospermae*, споры *Leotrichites* sp., бобовидные споры *Rolyptidaceae* и *Gleichenia*, допускает, по мнению В. С. Маркевича, принадлежность свиты к низам верхнего мела. Свита частично или полностью синхронна, по-видимому, коркинской серии.

К сеноман-турону ( $K_{2st}$ ) отнесены отложения, распространенные в районах сел Дмитриевка, Соболово, Венюково, в басс. рек Первая и Вторая Сельма. По данным Ю. Г. Струве (1966 г.), эти отложения начинаются крупногалечными конгломератами, которые выше смениются переслаиванием конгломератов с гравелитами. Мощность отдельных слоев — 10—20 м. Мощность пачки не превышает 100 м.

Остальная часть разреза (250—300 м) представлена преимущественно гравелитами с прослоями конгломератов мощностью 15—20 м и песчаниками с многочисленными прослоями мелкогалечных конгломератов. Мощность отдельных слоев 5—10 м. Общая мощность отложений — от 250 до 400 м.

Фауна брахиопод, собранная из песчаников в районе лесосуточника Спартак, с. Дмитриевка и др., по мнению В. Н. Верещагина, В. П. Макридина и Т. Г. Калишевича, представлена угнетенными формами, которые напоминают позднемеловые брахиоподы. Здесь же обнаружены остатки позднемеловых ежей *Hemister* sp. [11].

Даданьшанская свита ( $K_{2dd}$ ), выделенная Е. А. Перепечиной и И. И. Шарудо в басс. р. Арсеньевка и по р. Липовцы, по данным В. О. Соловьева (1962 г.), несогласно залегает на коркинской свите. Даланьшанская свита здесь обнажена плохо, и разрезы ее практически не изучены. Низы свиты (500 м) сложены конгломератами, гравелитами и песчаниками, часто с остатками окремпелых стволов деревьев. Верхняя часть свиты (200—300 м) представлена переслаивающимися песчаниками, гравелитами и конгломератами. Редко встречаются прослои туфов порфиритов. По простиранию состав свиты быстро изменяется. Общая мощность свиты около 800 м. Возраст устанавливается по ее стратиграфическому положению между сеноман-туронскими и сеноманскими образованиями.

Достоевская свита ( $K_{2ds}$ ) впервые как «достоевская угленосная толща» выделена М. Г. Золотовым в 1940 г. Свита обнажена плохо. Неполный разрез ее (100 м) вскрыт скважиной в верховьях руч. Большиунова. По данным В. О. Соловьева, свита сложена переслаивающимися мелко- и среднезернистыми песчаниками, гравелитами, алевролитами и аргиллитами, среди которых имеются тонкие (до 20 см) пропластки высокозольных каменных углей. Мощность отдельных слоев — 0,8—2,2 м. Общая мощность свиты не менее 300 м.

В районе с. Достоевка собраны остатки растений, среди которых Е. М. Штемпелем определены: *Isoetes okulonicus* Krysh., *Cladophlebis frigida* (Нег.) Sew., *Nissonia seotina* Нег., *Ginkgo multinervis* Нег., *Ceratoloxopus heterophylla* Holl., *Thuja crenata* (Нег.) Newb., *Ciparisssium gracile* Нег., *Populus hyperborea* Нег., *Platanus newberryana* Нег., *Trochidendroides artica* (Нег.) Вег., *Viburnum* sp. и др. По флоре отложения отнесены к сеному.

На юго-востоке территории сенонскими ( $K_{2sn}$ ) считаются толщи, развитые на небольших площадях в басс. рек Фурмановка, Антоновка и Правая Антоновка (Павловская). Эту толщу, в состав которой входит алевролиты с прослоями тонкозернистых песчаников, Ю. Я. Громов выделил в селенчинскую свиту (1955 г.). В песчаниках найдены иночесциты, по мнению В. И. Бодылевского, относящиеся к группе *Inosceramus cardisoides* Goldf., раннесенонского возраста. В последующие годы находки не повторены.

Западнее этого участка известны только континентальные толщи сенонского возраста. В басс. р. Антоновка нижние части толщи (100 м) сложены средне- и крупнозернистыми песчаниками, а верхние (200 м) — аргиллитами с прослоями грубозернистых песчаников и углисто-глинистых сланцев. В глинистых сланцах Ю. Я. Громов и В. К. Елисеева (1959 г.) обнаружили *Baiera procostinata* Kugsh., *Sequoia reichenbachii* (Gein.) Нег., *Metasequoia* sp., *Pinus hyperborea* Нег., *Widderingtonites subtilis* Нег., *Torreya (Juniper)* *suspectum* Ноол., *Serpentinotaxopsis heterophylla* Ноол., *Glyptostrobus europeus* Нег., характерные для позднего сенона.

В басс. р. Пр. Фурмановка к сенону отнесена толща конгломератов, песчаников и алевролитов видимой мощностью не менее 300 м с остатками *Sphenopteris onkilonica* Kugsh. и *Cladophlebis* cf. *oerstedii* (Нег.) Newb.

На севере территории к сенону отнесена эфузивная толща, распространенная юго-западнее с. Виноградовка. По данным Ю. Г. Струве (1966 г.)\*, породы, слагающие толщу (300 м), представлены роговообманковыми, плагиоклазовыми и роговообманково-плагиоклазовымиandezитами, дацитами и их туфами. В основании разреза залягают туфы мощностью 2–15 м с включением гальки, гравия, дресвы и шебня подстилающих пород. Туфы сменяются пачкой эфузивов и туфов мощностью 10–50 м. Верхняя часть разреза сложена андезитами, которые выше постепенно переходят в дациты.

К маастрихтскому (?) — датскому ярусам ( $K_{2pl}$  — d) отнесены вулканогенные образования преимущественно кислого состава. В разных местах они выделялись под разными названиями: ольгинская серия, приморская и дорогеевская свита. В басс. р. Павловка, по данным Л. А. Неволиной (1969 г.), резко несогласно на древних об разованиях залягают кристалло- и литокластические туфы липаритовых порфиров мощностью около 100 м. Верхняя часть разреза (100 м) представлена разнозернистыми туфогигитами с остатками *Viburnum lequeuxii* Wag. var. *longifolium*, *Tilia cretacea* (Нег.) Newb., *Tropae* sp. и др. сенон-датского возраста, по С. И. Неволиной.

На водоразделе р. Павловка и на правобережье р. Синяя Журавлевская, по данным А. А. Астрова (1968 г.), низы толщи (300 м) представлены туфобекетиями, состоящими из обломков в основном фельзитов, изредка песчаников, глинистых и кремнистых сланцев. Цементом бекетий служит фельзитовая масса или пепловый материал. Верхи толщи (400 м) сложены главным образом фельзитовыми порфиритами и отчасти пепловыми туфами и фельзитами. Общая мощность толщи — 700 м.

Несколько иное строение имеет толща, развитая в тех же местах и получившая наименование дорогеевской свиты. В басс. р. Журавлевка внизу толщи лежат туфоконгломераты, туфопесчаники, алевролиты и порфириты, и редко, липаритовые порфириты. Характерной особенностью является быстрая изменчивость толщи по простиранию. Конгломераты и песчаники замещаются по простиранию туфогигитами, а те, в свою очередь, эфузивами и их туфами. Вверху толща сложена ту-

фами кислого состава видимой мощностью 300 м. Общая мощность толщи 700–750 м. Многочисленные отпечатки растений: *Sequoia langsdorffii* (Langsd.) Нег., *Serpentinotaxopsis heterophylla* Holm., *Corylus macquarii* (Forb.) Нег., *Populus arctica* Нег., *Platanus* sp., *Ginkgo adiantoides* (Ung.) Нег., *Grewiopsis* sp., *Toxodium imajorum* Нег., *T. dubius* (Sternb.) Нег., *Metasequoia* sp., *Ihuia cretacea* (Нег.) Newb., *Trochodendroides articata* (Нег.) Бегу, *Viburnum* sp. и др., по заключению С. И. Неволиной, указывают на датский или сенон-датский возраст отложений.

В басс. р. Арсеньевка, юго-восточнее с. Покровка, толща (250—350 м) сложена туфоалевролитами и туфопесчаниками, в которых найдены остатки *Cladophlebis* sp., *Taxodium dubium* (Steph.) Нег., *Glyptostrobus europeus* (Steph.) Нег., *Sequoia ambigua* Нег., характерные для сенон-даты.

В басс. рек Б. Сахалина и Сахалинка, Челюнка, Маровка с угловым несогласием на альянской свите залягают толща, сложенная алевролитами, туфобекетиями и туфоконгломератами. Мощность ее 600—650 м. Абс. возраст липаритового порфира, определенный калий-аргоновым методом, — 96 млн. лет.

Условно с этими образованиями сопоставляется толща (350 м) липаритовых порфиров и туфов с редкими прослоями туфобекетий и конгломератов, залягающих в верховых р. Тихая и Черниговка на пермских отложениях. К Ю. от пос. Монастырище в составе толщи (200 м) преобладают игнимбриты с четко выраженной флюидальной текстурой. В верхах разреза игнимбриты сменяются крупнообломочными туфобекетиями липаритовых порфиров.

На севере территории, в Межкурецье рек Бира, Улитка и Полхоренок, толща (300 м), несогласно залягающая на пермских гранитах и укурской свите, сложена литокластическими туфами смешанного состава, а также дацитами и липаритами.

## КАЙНОЗОИ

### Палеогеновая система

Палеогеновые образования представлены на территории континентальными осадочными и вулканогенными толщами палеоценового, золотистого и олигоценового возраста. Местами олигоценовые и миоценовые отложения образуют неразделимые разрезы.

К палеоцену, по аналогии с восточными районами Приморья, отнесены средние и кислые вулканогенные и вулканогенно-осадочные образования, сопоставляемые с сиановской и залягающей выше богопольской свитами.

Сианская свита ( $P_{1st}$ ), развитая в басс. рек Муравейка, Павловка, Журавлевка, Медведка, резко несогласно залягает на всех более древних образованиях, в том числе и на верхнеметровых эфузивах и туфах. В свите преобладают андезиты и порфириты, редко присутствуют туфы и туфобекетии порфиритов. Мощность свиты 200—250 м. Аналогичен состав свиты и на других участках. Мощность свиты местами достигает 450 м. Абс. возраст порфиритов 77,5 млн. лет.

Богопольская свита ( $P_{1bg}$ ) залягает выше андезитов и пристально с ними связана. На водоразделе рек Павловка, Антоновка и Аввакумовка низы свиты (300 м) сложены туфами и туфобекетиями липаритов и, в меньшей мере, липаритами и фельзолипаритами. Верхи (400 м) разреза представлены липаритами, липарито-дацитами, их туфами и редко игнимбритами. Состав свиты устойчив, но разрезы ее меняются. Мощность свиты от 150 до 700 м.

К зооцену ( $P_2$ ) отнесена толща основных эфузивов и туфов, раз- вита в басс. рек М. Комисаровка, Антоновка, Журавлевка, Матвеев- ка, Енечка и др. Сложена толща потоками базальтов, андезитов и ан- дезито-базальтов мощностью 100—150 м. В басс. рек Бикин, Алчан, Контровод мощность толщи достигает 250—350 м. Толща залегает на палеоценовых эфузивах и перекрыта олигоценовыми угленосными отложениями.

К олиоцену отнесена на деждинская свита ( $P_{3d}$ ). На большей части площади она перекрыта более молодыми континентальными отложениями.

В Сласовской впадине, по данным И. И. Берсенева (1960 г.), свита залегает на нижнекембрийских известняках с резким угловым несогласием. Внизу залегают мелководные туфопесчаники (40 м) с приемлемо обуглившегося растительного детрита. Выше они перекрыты туфоавролитами (98 м), которые сменяются пачкой (56 м) чередующихся туфопесчаников и туфоавролитов. Мощность свиты — 194 м. Западнее свита (312 м) сложена песчаниками и песками, в значительной степени туфогенными, а также авролитами с обугленными остатками растений и прослойками бурого угля. Встречаются линзы и прослой конгломератов. В краевых частях Жариковой впадины [29] кровли належинской свиты залегает на глубинах от 70 до 220 м.

В этой впадине в свите имеются пласти бурого угля мощностью до 7 м. Иногда в основании свиты залегает маломощный горизонт (до 5 м) мелкогалечных конгломератов. Надеждинскую свиту можно предполагать и в Голенковской впадине, глубина которой, по данным геофизики, превышает 1500 м. В Арсеньевской впадине мощность надеждинской свиты около 500 м. Как и всюду, она сложена песчаниками, авролитами, конгломератами и бурьими углами. Максимальная мощность свиты здесь, по геофизическим данным, 300 м. Свита охарактеризована остатками *Roripus balsamoides* Георг., *Sassafras ferritanum* Масса, *Carya cf. miocathagensis* Ни и Чагару, *Rubus cf. fretalis* Борг., *Juglans* сп., *Betula macrophylla* Негер, и другими формами, характерными для раннего олигоцена. Возможно, что низы свиты относятся к зооцену. В Хорской впадине, по данным Ю. Г. Струве (1966 г.), надеждинская свита перекрыта мощной толщей миоценовых и плиоценовых отложений. Верхняя часть олиоцена вскрыта скважинами у с. Могилевка, с. Хор, пос. Дормидонта. Свита представлена ритмичным чередованием алевролитов и песчаников.

Спорово-пыльцевой комплекс, обнаруженный в этой свите, характерен для верхнего олиоцена Приморья. Мощность ее, по данным вертикального электроздонирования, 1400 м.

К олиоцену условно отнесены, выполняющие Марковскую впадину. С разрывом несогласием они лежат на более древних об разованиях и с разрывом перекрывают грубообломочной толщей миоцену. В основании толщи на левобережье р. Измайлых, по Б. Я. Чернышю (1963 г.), установлены плотные аркозовые древесники и грубозернистые песчаники мощностью до 20 м. Более высокие части разреза представлены аргиллитами, песчаниками и уплотненными глинами с пластами и линзами бурого угля и лигнита. Только вблизи бортов впадины на некоторых участках развиты маломощные (5—15 м) конгломераты. Мощность толщи — около 700 м. В ней встречаются остатки *Metasequoia disticha* (Негер) Мик, *Pterocarya castanopteroides* (Георг.) Мепп., *Juglans* сп., *Carpinus* сп. и др.

Спорово-пыльцевой комплекс из верхней половины толщи, по мнению М. А. Головиной и Т. И. Демидовой, свойствен олиоцену. С. И. Неволин допускает, что в данном разрезе приступают как зоценовые, так и олиоценовые отложения.

## Палеоген-неогеновая система нерасщепленные

Нерасщепленные олиоцен-миоценовые отложения ( $P_3 — N_1$ ) выполнены Крыловскую, Марковскую, Нижнебикинскую и ряд более мелких впадин и широко развиты в пределах Средне-Амурской депрессии.

В Нижнебикинской впадине толща сложена конгломератами, песчаниками, алевролитами, аргиллитами, бурьими углами. Резкая фациальная изменчивость отложений затрудняет корреляцию соседних разрезов и расчленение отложений по возрасту. В разрезах скважин, пробуренных южнее пос. Надаровка, мощность толщи достигает 1340—1500 м. Разрез толщи представляет собой пачки ритмично пересланывающихся мелководных песчаников, алевролитов и аргиллитов, разделенных группами пластов бурого угля. Мощность безугольных пачек 25—70 м, угленосных 10—30 м. К окраинам впадины количество пластов угля и мощность их уменьшается, а угленосные пачки расщепляются, утончаются и выклиниваются, заменяясь конгломератами, гравелитами, песчаниками. При этом мощность толщи однообразна до 700 м. На северо-востоке впадины толща сложена однообразными алевролитами и аргиллитами мощностью 300—400 м. Толща охарактеризована многочисленными остатками растений: *Ginkgo adiantoides* (Унг.) Негер, *Metasequoia disticha* (Негер) Мики, *Taxodium dubium* (Степн.) Негер, *Glyptostrobus europeus* (Борг.) Негер, *Juglans acuminata* А. В. Г., *Betula macrophylla* Негер, *Ulmus carpinooides* Георг., *Zelkova ungeri* Негер, *Cercidiphyllum crenatum* (Унг.) Борг., *Liquidambar europea* А. В. Г., *Carpinus grandis* Негер, *Rhamnus gaudinii* Негер, *Alangium aequifolium* (Георг.) Крушт. et Борг., *Eurycoma celastrophylla* (Нигрипсис) *lanceolata* Мартинс., *Pistidium compacta* Мартинс. и др. По мнению Г. Г. Маринсона, фауна наиболее близка к фауне усть-дальневской свиты Ю. Приморья. Она может быть отнесена к раннему миоцену, а нижние слои, заключающие *Litoscarpia lanceolata* и *Ulio elegantus*, могут иметь олиоценовые возраст.

В Регтиховской впадине олиоцен-миоценовые отложения (200 м) представлены алевролитами, углистыми аргиллитами и песчаниками с линзами, прослоями и пластами бурого угля мощностью от 0,1 до 40 м. В свите обнаружены *Metasequoia disticha* (Негер) Мик, *Glyptostrobus egyptiacus* (Борг.) Негер, *Zelkova* сп., *Castanea kubinii* Унг., характеризующие по С. И. Неволиной, олиоцен. По спорово-пыльцевым комплексам Н. С. Громова считает, что верхние части разреза соответствуют нижнему миоцену.

На севере, в Амурской депрессии, угленосная толща перекрыта мощным цементом четвертичных отложений. Неполный разрез ее известен только по скважине (в 6 км восточнее с. Самара), вскрытой под неогеновыми базальтами толще (более 320 м) аргиллитов, алевролитов, слабо спементированных песчаников, среди которых имеются пласты бурого угля мощностью 0,25—1,65 м. По геофизическим данным, глубина депрессии определяется в 1400—2000 м. На продолжении этой депрессии к СВ находится Ушумунское буруогольное месторождение, в котором развита олиоцен-миоценовая ушумунская свита, по разрезу похожая на описанную толщу.

## Неогеновая система

На территории листа миоценовые отложения развиты практически во всех кайнозойских впадинах и по содержанию в породах органическим остаткам подразделяются на нижне-, среднемиоценовые и верхнемиоценовые.

К нижнему — среднему миоцену в Приморье отнесена усть-дастыковская свита ( $N_{1-2}^{ud}$ ). Состав и строение свиты изучены только по буровым скважинам. В Жариковской и Гродековской впадинах свита согласно залегает на надеждинской свите и с размывом на среднепалеозойских гранитах. По данным А. К. Мигуты [31], по краям среднегалечные и валунные конгломераты с рыхлым песчано-глинистым цементом, либо гравелиты, переходя в грубообломистые аркозы. Обломочный материал плохо окатан и представлен кислыми эфузивами, порфиритами, гранитами. Мощность их достигает 100 м. Выше в разрезе преобладают песчаники с прослоями гравелитов и конгломератов; подчиненное значение имеют алевролиты, иногда туфогенные песчаники. В районе с. Жариково к верхам свиты приурочены 1—2 пласта лингита сложного строения мощностью до 5 м. По данным бурения, мощность свиты около 200 м.

В Гродековской впадине усть-давыдовская свита сложена чередующимися алевролитами и туффирами с одним прослоем песчаников мощностью в 1 м. Неполная мощность свиты 61 м.

К З от оз. Ханка усть-давыдовская свита залегает на палеозойских гранитах и начинается песчаниками, часто туфогеническими, содержащими вялуны подстилающих пород. Более высокие слои представлены слабосцепментированными песчаниками, плотными глинами и, реже, алевролитами. Отдельные слои не выдержаны по простирию и падению. В целом количество глинистых отложений увеличивается к центру впадин. В этом же направлении увеличивается и мощность свиты — от 68 м (с. Камень-Рыболов) до 205 м (вблизи с. Жариково). Во впадинах, расположенных восточнее оз. Ханка (Арсеньевская, Марковская), в свите появляются прослои и линзы бурого угля и лингита мощностью 0,4—2,8 м. Мощность свиты в первой впадине — 390 м, а во второй — до 280 м.

На северо-западе территории, в Хорской и Вяземской впадинах, отложения (250 м), сопоставимые с усть-давыдовской свитой, представлены песчаниками, глинами, песками и галечниками с примесью турогенного материала.

Для Хорской впадины характерно преобладание в нижней части свиты алевролитов и песчаников, а в верхней — конгломератов и песчаников. В Вяземской впадине большая часть толщи сложена глинами, среди которых внизу появляются потоки и покровы аггитовых и оливиновых базальтов мощностью от 10 до 34 м.

В районе с. Бенюково в долине р. Авы, скважинами на глубине 100 м вскрыты отложения, литологически очень сходные с усть-давыдовской свитой. В этих отложениях в районе с. Могилевка найдены остатки *Corbicula* sp. (cf. *C. mgatschensis* Sim.) и богатый комплекс диатомовых, среди которых А. И. Моисеева обнаружила *Melosira praeislandica* (O. Müll.) Jous., *Eunotia aff. veneris* (Kutz.) O. Müll., *Achnanthes pinnata* f. *robusta* Moisseeva, *Pinnularia* aff. *interiorita* f. птиц. Потоки во всех слоях свиты встречены спорово-пыльцевые комплексы, по заключению Г. Н. Курносовой и Н. Г. Соколовой, характерные для раннего и среднего миоцена.

Верхнемиоценовые отложения, выделенные в усть-суффуничскую свиту ( $N_{3-4}^{us}$ ), занимают небольшие площади, и ее разрезы в основном изучены по скважинам. В Турьорогской впадине и в низовьях

ях р. Комиссаровка она залегает без видимого перерыва на усть-давыдовской свите или с размывом на палеозойских гранитах. Свита сложена туфоалевролитами, туфогравелитами, туфогессчаниками, диатомитами с подчиненным количеством тонких (до 0,5 м) проластков жирных глин. Максимальная мощность свиты (100 м) установлена басс. р. Раздольная. В низовьях р. Комиссаровка мощность ее определена в 80 м, а западнее с. Троицкое — 58,6 м. На отдельных участках видимая мощность свиты не превышает 15 м.

Из обнаруженной севернее утеса Белоглининский А. Н. Криштофовичем определены *Rhipis monosperma* Heeg, *Planera* (Zekova) *ingeri* Kov. и *Glyptostrobus europeus* Heeg. Из диатомитов А. П. Жузе определена *Melosira praes islandica* (O. Müll.) Jouze, *M. scabrosa* Oestr., *M. praegranulata* (O. Müll.) Jouze, *Tetraacyclus polygibbum* (Pant.) Jouze. Приведенные списки флоры указывают на миоценовый, вероятно, позднемиоценовый возраст вмещающих пород.

Плиоценовые образования ( $N_2$ ) занимают наибольшие площади в пределах депрессии. По литологическому составу среди них выделяются грубообломочные континентальные отложения, получившие название суйфунской свиты, и существенно вулканические образования, обогащенные в шуфансскую свиту.

Суйфунская свита ( $N_{2s}^f$ ), залегающая с размывом, сложена в основном аллювиальными галечниками, гравийниками и слабосцепментированными конгломератами, реже уплотненными песками с линзами глин, иногда каскадовыми, пепловыми туфами, туффирами и диатомитами. Для пород характерна косая слоистость и быстрая смена литологического состава по простирию и разрезу. Вблизи предгорий в свите преобладает гравийно-галечниковый материал (Жариковская и Гродековская впадины), который по мере удаления от гор сменяется песчано-галечниковыми, затем песчано-глинистыми и, наконец, существо глинистыми отложениями. Вообще же наблюдается некоторое уменьшение грубообломочного материала вверх по разрезу. В краевых частях Приханкайской впадины осадки имеют аллювиальное происхождение, а в центре ее озерно-аллювиальное или дельтовое.

Аналогичен состав свиты и на оставшейся территории. Только в районе сел Бусеевка и Хвалинка разрез отличается присутствием туфов липаритов, туффирами и туфодиатомитов с пандилями плиоценовых диатомей из родов *Melosira* и *Navicula*. Мощность суйфунской свиты обычно не превышает 20—50 м, но местами (район с. Анненка) увеличивается до 100—125 м, а в басс. р. Арсеньевка и по р. Маровка достигает 180—200 м.

По спорово-пыльцевым комплексам В. Ф. Гапонова-Морозова, Г. Н. Курносова датируют восторг свиты плиоценом. Кроме того, в кернах скважин, пробуренных в окрестностях сел Аниенка и Константиновка, А. П. Жузе обнаружила характерные для плиоцена диатомиты *Actinella brasiliensis* Grif., *Eunotia polyglyphis* Grif., *Comptophora lingulatum* Hust.

Шуфанская свита ( $N_2^f$ ) развита на небольших площадях. Свита сложена многочисленными потоками оливиновых и оливин-типстеновых базальтов мощностью от 5 до 35 м, разделенных глинистыми корами выветривания или прослоями галечников. Вблизи Сальского, Дальнереченского и других вулканов изредка встречаются базальтовые туфы и брекчии. Мощность свиты в верховьях р. Илистая 17—20 м, в басс. рек Студеная и Раздольная около 50 м, а южнее д. Филино 82 м. Взаимоотношения с суйфунской свитой сложные: обычно она залегает на дополнительных образованиях или на галечниках суйфунской свиты, но в ряде случаев фациально замещает галечники в верхней части разреза.

## Четвертичная система

Четвертичные отложения разнообразны по генезису. Широким распространением пользуются отложения смешанных типов, такие как озерно-аллювиальные, аллювиально-делювиальные, делювиально-коллювиальные, делювиально-солифлюкционные. Стратиграфическое расчленение четвертичных отложений проведено на палеоклиматической основе. При климато-стратиграфических построениях использованы палинологические, геоморфологические, лингвистические, палеокриологические и другие материалы. Расчленение образований склонового ряда сделано по результатам геоморфологических и палеогеографических наблюдений. Наиболее уверенно выделяется верхнечетвертичный — гололедовый коллювий. Первый развит на крутых склонах, расположавшихся выше границы леса в позднечетвертичную ледниковую эпоху, и по молодым эрозионным впадинам, а второй — в пределах толпы зоны и участков наиболее круглых склонов.

Нижняя граница четвертичной системы по решению Стратиграфического совещания 1965 г. для юга Дальнего Востока проведена по кровле шуфансской свиты.\* Для юга Дальнего Востока проведена по выделены Ю. Ф. Чемековым [49], а в Приморье — И. И. Берсеневым и В. К. Сохиным [34], главным образом по палинологическим данным. Эти отложения наиболее часто встречаются в депрессиях и по долинам крупных рек. В Ханкайской и Средне-Амурской депрессиях они погребены под молодыми четвертичными осадками и нередко образуют непрерывный разрез с верхним плиоценом. В остальных случаях они ложатся на древние толщи с размывом. В прибрежных частях депрессии нижнечетвертичные отложения слагают 40—60-метровые террасы или слабонаклоненные равнины. В горах они принимают участие в строении высоких склоново-аккумулятивных террас. Их максимальная мощность достигает 90 м в депрессиях и 20—25 м — в горных районах.

На равнинах преобладают озерно-аллювиальные и озерные фации, в горных — аллювиальные.

Озерно-аллювиальные (Ia I) осадки представлены горизонтально-слоистыми пестроцарешеными глинами, суглинками с прослоями и линзами песка и супесей. Близи коренных склонов разрезы обогащают супесями и песками и в них появляются гравийно-галечниковые прослои. Глинистая фракция осадков состоит в основном из бейделита и гидрослюд.

По долинам наиболее крупных рек, таких как Бикин, Б. Уссура, Уссури, озерно-аллювиальные отложения глубокими заливами заходят в горную зону Сихотэ-Алиня.

Аллювий (a) имеет значительную мощность (в среднем 5—10 м). Наиболее выдержаные полосы аллювия встречаются по высоким террасам рек Алдан, Быстрая, Арсеньевка. От размыва нижнечетвертичные аллювиальные галечники сохранились на Плавловско-Зеркальном водоразделе.

В. К. Сохин [177] указывает, что погребенный песчано-гравийный аллювий раннечетвертичного возраста вскрыт скважинами в районе г. Лесозаводска. В основном же древний аллювий связан с высокими террасами горной зоны. В аллювиальных толлах преобладают косослоистые галечники пестрого петрографического состава с довольно хорошо окатанными гальками и небольшой примесью коготьев.

\* Н. А. Белянский, Г. С. Ганевич, В. В. Соловьев, Ю. Ф. Чемеков и др. считают более правильным опустить плющен-четвертичную границу ниже и проводить ее в толще сибирской свиты, а шуфанские плющебазальты отнести к нижнечетвертичным.

Заполнителем служит полимиктовый песок, супесь, реже бурый суглинок. Встречаются линзы и прослои глин, иногда существенное значение приобретают пески.

Накопление нижнечетвертичных отложений происходило в условиях достаточно теплого климата, благоприятствующего развитию.

В. В. Соловьев [47] отмечает, что при палинологическом изучении образцов нижнечетвертичных отложений устанавливается некоторое отличие спорово-пыльцевых спектров из горных районов от спектров, характерных для крупных равнин (Ханкайской и Средне-Амурской), что, вероятно, связано с ландшафтными особенностями и проявлением вертикальной поясности.

Некоторое обеднение спектров в верхней части разрезов раннего плиостоцена говорит о небольшом ухудшении климата в конце раннечетвертичного времени. Тенденция к похолоданию климата, начавшаяся еще в позднем плиоцене, вполне закономерно развивалась и в раннем плиостоцне.

Среди среднечетвертичных отложений преобладающей является озерно-аллювиальная фация, распространенная главным образом в депрессиях. Аллювиальные отложения развиты в предгорьях и горах. В осевых частях депрессий среднечетвертичные осадки погребены под более молодыми и образуют единий разрез с нижнечетвертичными; ближе к горным склонам и в предгорьях они залегают на нижележащих толщах с размывом, слагая террасы до 20 м высоты или образуя покров позднечетвертичных и голоценовых террасовых уровней. Среднечетвертичный аллювий горных районов принимает участие в строении склоново-аккумулятивных террас высотой до 40 м. Мощность озерно-аллювиальных отложений изменяется от 10 до 50 м, аллювиальных — от 2 до 30 м.

Наиболее крупные площади среднечетвертичных озерно-аллювиальных (Ia II) отложений развиты по левобережью Амура и вдоль южного и восточного бортов Ханкайской депрессии, а также в пределах Губерской мульды. Кроме того, озерно-аллювиальные отложения известны в басс. р. Наумовка и по левобережью р. Бикин. Представлены они горизонтально-слоистыми глинами, суглинками, песками с прослоями гравия и включением галек, характерно присутствие вивианита и марганцовисто-железистых стяжений в виде мелких бобовин и оолитов. Состав тонкой фракции глин отвечает минералам группы монтмориллонита и гидрослюд. Среди суглинков преобладают тяжелые разности. Аллювиальные (a II) отложения сложены аккумулятивным чехлом террас высотой 40 м в горной зоне и 25 м в предгорьях. При выходе в зону депрессий они сливаются с одновозрастными озерно-аллювиальными отложениями, местами перекрывают более молодыми образованиями. Наиболее часто среднечетвертичный аллювий сложен песчано-галечниковым материалом, а в предгорьях и в крупных вутригорных депрессиях — песками и глинами с прослоями и линзами гравий и галечников.

В среднечетвертичное время на Дальнем Востоке широкое распространение получило горно-долинное оледенение. По обеднению спорово-пыльцевых спектров, обусловленному резким ухудшением климата, среднечетвертичные толщи достаточно уверенно выделяются из оставшегося разреза. Влияние оледенения улавливается по укрупнению механического состава осадков и по появлению криогенных нарушенных слоистостей.

В илистых глинах вблизи г. Вяземского найдены костные остатки *Mammuthus trogontherii* Pohl., обитавшего, по В. И. Громову, на территории Дальнего Востока в начале среднечетвертичного ледникового [33]. Вяземские глины хорошо коррелируются с озерно-аллювиальными

ми толщами депрессий юга Дальнего Востока, а также с аллювием комплекса вторых надпойменных террас в горах. Вяземский разрез является, в известной мере, реперным для стратиграфического расчленения четвертичных отложений рассматриваемой территории. В стенах карьера под пятиметровой толщей буровато-коричневых суглинков залегают серые и зеленовато-серые линзы торфа и с остатками древесины (*Larix* и *Picea*). Диатомовые водоросли из линз торфа, определенные А. И. Монсевой, представлены главным образом панцирями *Eunotia reticulata*, *Pinnularia stepicola*, *Cymbella aspera*. Эти формы обычны для неглубоких слабопроточных водоемов. По данным бурения, илы вниз по разрезу переходят в мелкозернистые полимиктовые пески с включениями галек и гравия. Мощность песков и илов около 20 м. Остальная часть разреза охарактеризована спорово-пылевым спектром, отвечающим тундровым ландшафтам, что, по-видимому, соответствует главной фазе похолодания среднечетвертичного климата.

Верхнечетвертичные отложения имеют значительное развитие и представлены озерно-аллювиальными и аллювиальными фациями.

Озерно-аллювиальные (часть III) отложения тяготеют главным образом к зонам депрессии, где они погребены под голоценовыми осадками, а ближе к борту депрессии слагают 3–8-метровые террасовые уровни. Аллювиальные (часть II) отложения участвуют в строении речных террас, высота которых 6–8 м в предгорьях и 12–15 м в горах. Мощность верхнечетвертичных осадков не превышает 50 м, более обычны 15–20 м для озерно-аллювиальных фаций и 3–5 м для аллювиальных. Озерно-аллювиальные отложения представлены горизонтально-скрытослоистыми существенно гидрослюдистыми глинами и суглинками с пятнами ожелезнения. Аллювий состоит в основном из валунно-галечникового и песчано-суглинистого материала. Возраст отложений устанавливается по стратиграфическим взаимоотношениям с подстилающими и перекрывающими их толщами, по палинологическим, геоморфологическим данным и по корреляции с ледниками образование которых [14] в горах Сихотэ-Алиня отразилось на составе спорово-пылевых спектров и во внеследниковых районах. Отложения первой половины позднечетвертичного времени охарактеризованы пыльцой, отвечающей теплолюбивой межледниковой растительности, т. е. смешанным лесам с существенной примесью широколиственных форм. Во второй половине позднего плейстоцена происходит заметное обеднение пыльцевых спектров. Влияние ледников наиболее сильно сказалось в горах и, в меньшей мере, на равнинах, удаленных от центров оледенения. Непосредственно к В от рассматриваемой территории установлен переход флювиогляциальных отложений последнего оледенения в аллювий 8–12-метровых террас.

К не расчлененным в верхнечетвертичном — современным — отложениям относятся дельтовидные и дельвиально-солифлюкционные и колловиальные накопления.

Дельвиальные и дельвиально-солифлюкционные (ds III—IV) отложения перекрывают и сполаживают склоны между ранее, среднечетвертичными и более молодыми террасовыми уровнями, что и дает основание для датировки рассматриваемых толщ позднечетвертичным — современным возрастом. Представлены дельвиально-солифлюкционными наскоплениями с незначительной примесью шебней или галек. Мощность дельвиально-солифлюкционного пласта от 2–3 м до 0,5–1,0 м. Наличие криогенных структур и следов течения грунта указывает на то, что, помимо плоскостного смыва, в формировании этих толщ существенную роль играли и солифлюкционные процессы.

Колловиальные (с III—IV) образования представлены глыбами с примесью щебня и мелкозема и приурочены главным образом к привершинным частям хребтов и к крутым склонам речных долин горных районов, где они располагаются пятнами или полосами ограниченной шириной при мощности в 1–3 м. Акумуляция колловия происходила выше границы леса в эпоху позднечетвертичного оледенения и в раннее последниковье.

Современные (голоценовые) отложения и я представлена аллювиальными, озерными, озерно-аллювиальными и колловиальными толщами, а также торфянками. Четкая связь голоценовых образований с определенными элементами рельефа дает возможность выделить их наиболее уверенно из комплекса более древних четвертичных отложений. Отложения первой половины голоцена слагают высокие поймы с относительными превышениями до 3-х м и сопряженные с ними озерные террасы. Осадками позднеголоценового времени образованы низкие (до 1–1,5 м) заболоченные озерные равнины и поймы. В депрессиях мощность современных отложений достигает 20 м и более, в горах обычно не превышает 5–10 м. Нижнеголоценовые толщи в основании сложены песками, а в своей верхней части — преимущественно суглинками и глинами.

Нижнеголоценовые аллювиальные (часть IV), озерно-аллювиальные (часть IV<sub>1</sub>) и верхнеголоценовые аллювиальные (часть IV<sub>2</sub>), озерные (часть IV<sub>2</sub>), озерно-аллювиальные (часть IV<sub>3</sub>) отложения слагают соответственно высокую и низкую поймы речных долин и озерных котловин. Характерно двучленное строение разреза: верхняя часть поймы сложена тонкозернистым, а основание — более грубообломочным материалом. В зависимости от геоморфологических условий района конкретный вещественный состав может меняться, но двучленность разреза сохраняется. В горах русловая фация представлена крупновалунным или галечниковым аллювием, пойменная — песчано-галечниковыми отложениями. На равнинах же пойменная фация состоит из неяснослоистых суглинков, а русловая — из супесей и песков.

В пойменных фациях часто встречаются линзы погребенных торфяников. Значительные поля их мощностью 1–2 м, реже 3–4 м, встречаются по низким заболоченным поймам и озерно-аллювиальным равнинам зоны депрессий. Торфяники относятся к низинному типу. Голоценовые отложения содержат богатый спорово-пылевой спектр, отвечающий в целом по составу современной растительности. Для нижнеголоценовых осадков характерно некоторое «потепление» спектров, соответствующее последниковому климатическому оптимуму [49].

Современные нерасчлененные колловиальные (часть IV) образования формируются главным образом выше границы леса. Крупноглыбовые и щебнисто-обломочные осыпи и курумы развиты по гользовым вершинам, изрекла они встречаются и по крутым склонам глубоко врезанных долин. Колловий не закреплен растительностью и продолжает свое формирование в настоящее время. Мощность обычно не превышает 6–8 м. В долинах и озерных котловинах встречаются также отдельные участки нерасчлененных голоценовых аллювиальных (часть IV) и озерных (часть IV) отложений.

Кроме описанных на рассматриваемой территории, имеются четвертичные образования, не поддающиеся стратиграфическому расчленению. К ним относятся эловиальные (e), эловиальные и дельвиальные (ed), дельвиальные и дельвиально-солифлюкционные (ds), аллювиально-дельвиальные (ad), дельвиально-проливиальные (dp), дельвиально-колловиальные (dc) и, наконец, колловиальные (c) накопления. Эловиальные образования развиты на различном геологическом субстрате, мощность их обычно не превышает 10–12 м. Только эловий,

образованный на плиоценовых базальтах и осадочных толщах, можно отнести к четвертичному. Элювиальные образования, возникшие за счет выветривания более древних пород, в большинстве случаев начали формироваться в дочетвертичное время и их нижний возрастной предел относится по крайней мере к неогену. Хорошие разрезы коры выветривания неогеновых базальтов вскрыты оврагами на юге территории. Здесь кора выветривания мощностью более 5 м представлена ярко окрашенными глинами с сильно разрушенными обломками, количество которых возрастает вниз по разрезу. Присутствие в отдельных случаях в основании разреза, кроме базальта, минералов группы каолинита с незначительной примесью гидрохlorита и монтморилонита, может указывать на несколько более раннее начало процессов коробообразования. Каолинизация скорее всего происходила в условиях теплого и влажного климата неогенового периода.

Коры глинистого выветривания развиты по сланцам и другим древним осадочным породам. Изучение в районе д. Славянки и Буссеевки показало сложную картину распределения по разрезам глинистых минералов — бейделлита, каолинита и гидрослюд, отражавших неоднократную смену условий физико-химического выветривания. Последнее обстоятельство позволяет предположить, что начало процессов выветривания здесь может быть еще более ранним, чем на эфузивах. В зависимости от геоморфологической обстановки глубина выветривания колеблется от 1 до 5 м. Коры выветривания такого типа известна не только на выровненных формах рельефа, но и на довольно крутых (до 15°) склонах возвышенности.

Остальные нерасчлененные по возрасту генетические категории относятся к образованием склонового ряда. Мощность их у подножий склонов 15—20 м, а вверх по склонам постепенно уменьшается до 5—3 м, редко, до 1,5—1 м.

Разнообразные и разновозрастные интрузивные и субвуликанические образования слагают около 12% всей территории. Они играют большую роль в геологическом строении территории и во многом определяют характер отдельных тектонических зон и их насыщенность полезными ископаемыми.

По возрасту среди них выделяны:

1) протерозойские габбро-нориты, амфиболиты, порфиробластовые, аляскитовые, биотитовые и турмалиновые граниты, пегматиты — Ханкайская зона;

2)

раннепалеозойские интрузии — первая фаза: пироксениты, апопелилиты, габбро-диориты, порфириодиориты; вторая фаза: двуслюдянные турмалиновые граниты — Ханкайская и Буренская зоны;

3)

среднепалеозойские (?) субвуликанические фельзит-порфириты, фельзиты, кварцевые порфириты, гранит-порфириты — Ханкайская зона;

4) среднетрапеозойские интрузии — первая фаза: гранодиориты, микророклиновые граниты, гранит-диориты, амфиболовые порфириты, вторая фаза: габбро-диориты, биотитовые граниты, диабазовые порфириты — Ханкайская зона;

5) пермские субвуликанические фельзиты, гранофиры, гранит-пор-

фиры — Даубихинская зона;

6) пермские интрузии — пироксениты, оливиниты, серпентиниты,

габбро, амфиболизированные габбро, диориты, кварцевые диориты, гранодиориты, граносиениты, граниты, лейкократовые граниты, плагиограниты, гранит-порфириты — Центрально-Сихотэалинскую, Самурскую, Восточно-Сихотэалинскую, Даубихинскую, Аланская и Ханкайская зоны;

7) юрские (?) пироксениты, пегматиты — Центрально-

Сихотэалинская зона;

8) позднемеловые габбро-диориты, монцонит-диориты, монцонит-гранодиориты, гранодиориты, граниты, диоритовые порфириты — все тектонические зоны, за исключением Нижне-Амурской;

9) раннепалеогеновые диориты, гранодиориты, граниты, гранит-порфириты, диоритовые порфириты — Восточно-Сихотэалинская зона;

10) неогеновые субвуликанические долериты, абсарокиты, лимбургиты — запад Ханкайской зоны.

## ИНТРУЗИВНЫЕ ОБРАЗОВАНИЯ

### Протерозойские интрузивные образования

Протерозойские интрузии развиты только в восточной части Ханкайской зоны среди метаморфических пород. Условно они могут быть разделены на три, видимо, разновозрастные группы: 1) габбро-нориты и амфиболиты, 2) порфириодиоритовые аляскитовые, биотитовые и турмалиновые граниты, 3) пегматиты.

*Габбро-нориты и амфиболиты (γPR).* Габбро-нориты слагают небольшие пластовые и овальные формы тела среди пород тургуневской

свиты на правобережье среднего течения р. Кедровка. Это — крупнозернистые породы, состоящие из гиперстена и диопсида (30—40%), плагиоклаза № 38—60 (40—50%) и олигина (до 10%). По пироксенам развивается биотит, оливин нередко замещен агрегатом талька и карбоната, плагиоклаз слабо соссюритизирован. Аксессорные минералы — апатит, сфен, магнетит. Структура пород габбротовая, иногда порфиобластовая за счет развития новообразованной микролина.

Амфиболиты в басс. рр. Спасовка, Оларка, Кабарга образуют не большие пластовые или линзообразные тела площадью до 1,5 км<sup>2</sup> при мощности до 180 м. Залегают они согласно со сланцеватостью вмещающих пород тургеневской свиты или секут ее. Амфиболиты состоят из обычновенной роговой обманки, плагиоклаза № 46—52, редких реликтовых зерен диопсида и чешуек красно-бурового биотита. Количество амфиболя и плагиоклаза колеблется в широких пределах. Аксессорные минералы — сфен, апатит, магнетит. Структура пород нематогранобластовая, участками пойкилитовая.

*Порфиобластовые аляскитовые, биотитовые и турмалиновые граниты* (уРР). Формирование этих пород во многом связано с процессами ультраметаморфизма. Границы отдельных тел чаще всего нечеткие, расплывчатые, и различать собственно магматические и ультраметаморфические образования очень трудно. На генезис и возраст этих образований существуют разные точки зрения. Одни исследователи [4] считают их архейскими, другие [15] — среднепалеозойскими. Определения радиологического возраста, наличие в тех же районах не затронутой процессами мигматизации спасской свиты позднепротерозойского возраста, позволяет отнести эти образования к среднему протерозою.

Порфиобластовые граниты широко распространены в среднем течении р. Кедровка, где на отдельных участках образуют массивы площадью до 50—60 км<sup>2</sup>. Это очень неоднородные и неравномернозернистые породы, почти всегда в той или иной степени гнейсивинные. Состав пород непостоянен и зависит от количества новообразованной микроклина, слагающего идиоморфные порфиробласти размером до 0,5—3,0 см в полосечнике, ориентированные обычно параллельно гнейсивиности пород. Пребладает андезин № 32—40, в подчиненном количестве отмечен кварц. Почти постоянно присутствует биотит, редко гиперстен, диопсид, обычновенная роговая обманка.

Некоторые из разностей пород почти нацело лишены темноцветных минералов и напоминают пегматоидные граниты. В них обычно в повышенных количествах встречаются как акцессории ильменит, магнетит, орбит, циркон, апатит, сфен, оранжит и ксенотит.

Гнейсо-граниты образуют небольшие (до 3—5 км в длину) конформные и гармоничные, вытянутые в широтном и северо-западном направлении тела в районе сел Филиппово, Машевка, Тургенево, Срловка, Антоловка. С мраморами ружинской свиты они имеют рвущий интрузивный контакт: тела гнейсо-гранитов нередко обогащены реликтами перебоганных вмешающихся пород. Гнейсо-граниты — это среднезернистые, серые или желтовато-серые породы, четко гнейсивидные за счет субпараллельного расположения зерен кварца, полевых шпата и чешуек блютита. Главные минералы: микроклин (45—50%), кварц (40%), альбит-олигоклаз (20%), биотит (1—5%); вторичные: хлорит, мусковит, серигит, акессорные: апатит, циркон, малакон, ильменит, флюорит, антаз, рутил, сфен, гранат, лейкоксен, спиломанит. Структура гнейсо-гранитов — гранобластовая.

Аляскитовые турмалиновые и биотитовые граниты присутствуют в виде жилообразных тел в интенсивно мигматизированных породах ружинской, матвеевской, тургеневской, нахимовской и татьяновской свит.

Аляскитовые граниты среднезернистые, реже порфирировидные с гранобластовой структурой, состоят из микролина (30—40%), альбит-олигоклаза (10—25%), кварца (30—35%). Аксессорные минералы: апатит, ильменит, циркон, лейкоксен, малакон, орбит, антаз, гранат. Моноконтактов с мраморами ружинской свиты в гранитах появляется моноклинный пироксен ряда диопсида, а основность плагиоклаза увеличивается до № 32—40. В мраморах ружинской свиты около контактов с гранитами развивается волластонит.

Турмалиновые граниты отличаются от аляскитовых присутствием в составе пород редких шестоватых кристаллов черного турмалина (шерлала) и пластиночек мусковита, передко замещающего биотит и микролин.

*Пегматиты* (РРР) развиты в северной и восточной частях Ханкайской зоны и встречаются только в породах протерозойского возраста. Они образуют обычно серии жил, слагающих иногда почти сплошные поля. По составу выделяются микропиновые и микролин-альбитовые пегматиты [24, 170].

Микролиновые пегматиты Усть-Кабаргинского пегматитового поля слагают согласные со сланцеватостью или скручиванием тела мощностью от 0,2—0,3 до 30 м. Минеральный состав непостоянен, количество кварца и микролина колеблется от 25 до 60% объема, альбит — до 10%. Кроме них встречается черный турмалин и иногда мусковит, образующий крупные кристаллы. Аксессорные минералы: колумбийт, малахит, оранжит.

Микролин-альбитовые пегматиты известны в приустевой части Р. Кабарги. Это крупно- и гигантозернистые породы с блоковой и пегматитовой структурами, состоящие из кварца (30%), решетчатого микролина-перитита (60%) и идиоморфных кристаллов альбит-олигоклаза (10%). Кроме них присутствуют железистый черный турмалин, мусковит, колумбийт, орбит. Ю. Н. Олейник и другие исследователи [18, 122], опираясь главным образом на данные радиологических определений, считают возраст пегматитов среднепалеозойским. Однако тесная связь пегматитов с протерозойскими интенсивно мигматизированными породами позволяет более вероятным считать их возраст протерозойским. Химический состав протерозойских интрузивных образований и данные их пересчетов на числовые характеристики по А. Н. Заварницкому приведены в табл. 5.

## Раннепалеозойские интрузивные образования

Буренинский зон. По составу они разделяются на: 1) пироксениты, габбро-диориты, 2) порфиобластовые биотитовые граниты, 3) мелкозернистые двуслюдянные турмалиновые граниты.

На возраст и генезис этих образований существуют разные точки зрения. Возраст гранитов Вознесенского рудного узла одни исследователи принимают раннепалеозойским [18], другие [38] — среднепалеозойским, причем считают эти граниты наиболее поздними в составе среднепалеозойского интрузивного комплекса. Учитывая преимущественную приуроченность вознесенских гранитов к площадям, где развиты верхнепротерозойские и кембрийские отложения, спланину полезных ископаемых с ними связанных, а также очень близкое сходство с двуслюдянными турмалиновыми гранитами Буренинского массива, раннепалеозойский возраст которых не вызывает сомнений, возраст вознесенских гранитов принимается раннепалеозойским. Кроме того, данные определений радиологического возраста, как самих гранитов (табл. 6), так и измененных окологородных пород вблизи гранитов, также свидетельствуют об их раннепалеозойском, вероятно, ордовикском возрасте.

*Перидотиты, пироксениты, габбро* ( $v-vRZ_1$ ). Небольшие ( $1-7 \text{ км}^2$ ) трелипиного типа тела серпентинизированных перидотитов, пироксенитов

Химические составы протерозойских интрузивных образований и

Название породы и место взятия пробы	SiO <sub>2</sub>	TiO <sub>2</sub>	Al <sub>2</sub> O <sub>3</sub>	Fe <sub>2</sub> O <sub>3</sub>	FeO	MnO	MgO	CaO	Na <sub>2</sub> O	K <sub>2</sub> O	P <sub>2</sub> O <sub>5</sub>	ППП	Сумма
Оливиновый габбропорфирит (р. Кельвока)	45,98	0,75	19,10	2,65	6,39	0,08	10,23	10,25	1,83	1,38	0,12	—	100,44
Амфиболит (то же)	47,16	1,00	17,12	1,97	8,10	0,12	8,57	13,42	1,30	0,40	0,005	0,97	100,13
Гнейс-гранит (р. М. Кабара и ст. Плюсненевская)	71,32	0,16	14,86	1,30	2,98	0,21	0,24	0,98	2,94	5,12	—	0,68	100,09
Александровский гранит (р. Кельвока)	72,40	—	14,76	0,51	0,93	0,07	0,80	1,40	3,26	5,01	—	0,42	99,56
То же	74,38	0,14	13,42	0,31	1,54	0,06	0,56	0,88	3,07	5,11	0,06	—	100,22
Пирофиро-блестоставий гранит (р. Кельвока)	72,51	0,42	13,50	1,69	2,10	0,06	0,23	0,30	2,78	5,02	0,09	—	99,72
Пемматит (пос. Туречево)	63,64	1,28	12,28	1,85	5,10	0,11	2,01	2,88	2,00	6,37	0,35	1,50	99,37
Пемматит (пос. Туречево)	71,84	0,05	15,22	0,88	0,21	0,014	0,59	0,42	2,91	7,94	—	—	100,074

Примечание: Анализы приведены по данным: 1, 2 — И. В. Мишиной [143], 3, 4, 8 —

и габбро известны в районе г. Спасск-Дальний и с. Дмитриевка, где расположено тальк-магнезитовое Дмитриевское месторождение.

Ю. Я. Громов и С. А. Коренбаум [4, 133] считают, что здесь имеются отдельные трелипинные интрузии, сложенные измененными габбро и перидотитами, а также небольшие дифференцированные интрузии, в которых участвуют дуниты, пироксениты, габбро и анортозиты. Интрузии прорывают и местами метаморфизуют эфузивно-осадочные породы Дмитриевской и меркушевской свит кембрийского возраста.

Апопериодиты слагают три небольших тела общей площадью около 5 км<sup>2</sup> в районе пос. Восток-Крыбхолод. Форма тел линзовидная, выклинивающаяся с глубиной, углы падения в лежачем боку линзы более пологие, чем в висячем. Строение тел зональное: их периферические части сложены хризотиловыми серпентинитами, содержащими зерна орудиевого (2–4 мм) прожилки хризотилового асбеста, ближе к центру располагаются зоны антигорит-хризотиловых серпентинитов, затем антигоритовых, а в центре тальк-магнезитовые породы. Тальк в виде вкраепленности или в сплошных мономинеральных образованиях мощностью до 5 см приурочен к зонам смятия.

Судя по реликтам структуры, по присутствию бастита и зерен хромшипинелей, замещенных магнетитом, первичная порода была гардибуриитом. Химический состав апопериодита из Дмитриевского месторождения: SiO<sub>2</sub>—35,72, TiO<sub>2</sub>—0,08, Al<sub>2</sub>O<sub>3</sub>—1,07, Fe<sub>2</sub>O<sub>3</sub>—7,20, FeO—3,30, MnO—0,08, CaO—0,14, MgO—39,30, Na<sub>2</sub>O—0,06, K<sub>2</sub>O—0,09, Р<sub>2</sub>O<sub>5</sub>—0,01, п. п.—13,02; сумма—100,77.

Измененными габбро сложено линзовидное тело шириной 1 км и длиной 2 км, вытянутое на СЗ. Габбро прорывают апопериодиты и известняки Дмитриевской свиты. Состоят они из интенсивно альбитизированного и срастогритизированного плагиоклаза № 30–50, замещенного амфиболитом, моноклническим пироксеном ряда диопсида, серпентинизированного ромбического пироксена и бурой роговой обманки. Аксессорные минералы представлены хромитом, магнетитом, титаномагнетитом, пиритом, пиротитом и арсенопиритом.

Интрузия сильно измененных пород основного и ультраосновного состава площадью около 3 км<sup>2</sup> расположена в 3 км к В от пос. Восток-

Рыбхолод. Она приурочена к крупному разлому северо-западного про-стириания и на отдельных участках имеет интрузивные контакты с кон-

данные их пересчета на числовые характеристики А. Н. Заваринского

Таблица 5

Место взятия пробы	Название породы или минерала	K, %	$K^{20}/10^{-1}$	$\Delta T^{20}/10^{-7}$	$\Delta T^{20}$ радиоактивн. низк.	$\frac{\Delta T^{20}}{K^{20}}$	Возраст, млн. лет
Ярославское месторождение, Южный карьер	Биотитово-турмалиновый гранит	3,98	1,280	48,56	89	0,0264	423
То же	Порфирит	1,00	0,334	1,22	94	0,0274	438
Кировское месторождение, Вознесенское месторождение	Биотитовый гранит	7,73	2,732	94,31	96	0,0290	460
То же	Пемматит	8,17	2,851	99,67	87	0,0286	455
	Слюдисто-флюоритовая порода на Кировском месторождении	0,415	0,137	5,06	97	0,0271	433
	Мусковит из грязи на Кировском месторождении	7,75	2,714	94,55	88	0,0287	456
	Мусковит из грязи на Кировском месторождении	7,03	3,041	96,82	92	0,0316	482

Таблица 6  
Радиологический возраст раннепалеозойских интрузивных образований Бованесенского рудного района

Место взятия пробы	Название породы или минерала	K, %	$K^{20}/10^{-1}$	$\Delta T^{20}/10^{-7}$	$\Delta T^{20}$ радиоактивн. низк.	$\frac{\Delta T^{20}}{K^{20}}$	Возраст, млн. лет
Ярославское месторождение, Южный карьер	Биотитово-турмалиновый гранит	3,98	1,280	48,56	89	0,0264	423
То же	Порфирит	1,00	0,334	1,22	94	0,0274	438
Кировское месторождение, Вознесенское месторождение	Биотитовый гранит	7,73	2,732	94,31	96	0,0290	460
То же	Пемматит	8,17	2,851	99,67	87	0,0286	455
	Слюдисто-флюоритовая порода на Кировском месторождении	0,415	0,137	5,06	97	0,0271	433
	Мусковит из грязи на Кировском месторождении	7,75	2,714	94,55	88	0,0287	456
	Мусковит из грязи на Кировском месторождении	7,03	3,041	96,82	92	0,0316	482

Примечание: Определения сделаны в лабораториях ИГЕМ. Авторы: Н. П. Заболотная (№ 1–6) и П. В. Комаров (№ 7).

гломератами меркушевской свиты. Сложена интрузия апопериодитами, пироксенитами, разнозернистыми габбро и диоритами. Апопериодиты пророчены к периферии интрузии, образуя полосу шириной 0,2–0,3 км, пироксениты (диаплагиты), на контакте с габбро переходящие в вестрите, образуют юго-восточную часть габбро — западную и отчасти центральную, а диориты и связанные с ними габбро — юго-западную часть интрузии.

Изменения вмещающих пород наблюдаются только на контактах габбро и пироксенитами. Известняки обычно перекристаллизованы, иногда в них возникают маломощные зоны скарноводобных скаполит-альбитовых пород. Эффузивные широкополосные альбитизированные и альбитизированные, в них появляются многочисленные эпилитизированные лейкоксены. Вероятно, с габбро и диоритами связанные многочисленные, мощностью не более 10 м, даики диабазовых и диоритовых порфиритов и спессартитов.

*Порфиробластовые биотитовые граниты* ( $Y_2PZ_1$ ). В литературе эти граниты известны под названием биробильканских и в пределах листа слагают небольшие площади в басс. р. Самара и в хр. Добринском. Они прорывают и метаморфизуют гнейсы и сланцы союзенской и туловишинской свит, а в хр. Добринском перекрывают фаунистически охарактеризованными среднедевонскими отложениями. Выходы гранитов площадью до 150 км<sup>2</sup> являются частями крупного массива, расположенного севернее территории листа.

Внешне это — массивные или слабо гнейсовые породы, часто интенсивно катаклазированные, содержащие многочисленные (до 60%) порфиробласты микроклина размером 0,5—1,5 см. В основе своей граниты состоят из кварца (20—35%), плагиоклаза № 30—34 (25—40%), мелкого решетчатого микроклина (до 10%) и биотита (5—15%). Аксессорные минералы представлены апатитом, сфеном и др. При микроклизации возникают мицеллиты в краевых зонах плагиоклазовых зерен и симплектиты в биотите.

На контакте гранитов с породами союзенской и туловишинской свит отмечены зоны до 1,5—2 км кристаллических сланцев, мраморов и роговиков, содержащих графит и волластонит.

С этими гранитами, по-видимому, связаны пегматитовые тела и жилы мощностью до 30 м, разветвляющиеся в басс. р. Белая. В составе пегматитов: микроклин, кварц, плагиоклаз, мусковит, биотит, турмалин. Редко встречаются альбитизированные пегматиты с ильменорутилом. Структура пегматитов блоковая, гранитная и графическая.

*Мелко- и среднезернистые обволакивающие турмалиновые граниты* ( $Y_2PZ_1$ ). В эту группу относятся граниты, слагающие несколько небольших тел в Вознесенском грунтовом районе.

В Буреинской зоне, по данным Л. В. Эйриша (1964 г.), известно несколько небольших тел таких гранитов, послойно внедрившихся в по- скольку союзенской и туловишинской свит. Это желтоватые и серые, средние и мелкозернистые породы, нередко катаклазированные, состоящие из кварца (20—30%), микроклина (20—50%), плагиоклаза ряда альбит-олигоклаза (15—55%), мусковита и биотита (3—5%), турмалина (0—5%) и незначительных количеств монацита, апатита, циркона, рутила, магнетита, пирита, сфена, ортита.

В контактах с союзенской свитой граниты образуют зоны пегматитов, а несолько далее — широкую (до 1—1,5 км) полосу графитовых и силиманитовых кристаллических сланцев, мраморов и роговиков. По-видимому, с этими же гранитами связаны пегматиты, выявленные в басс. р. Белая. Мощность жил до 30 м. Некоторые из пегматитов несут бериллиевую тантало-ниобиевую и оловянную минерализацию.

В Ханкайской зоне граниты такого типа слагают ряд мелких тел площадью от первых сотен квадратных метров до 15 км<sup>2</sup>, приуроченных к разрывным нарушениям в кембрийских осадочных отложениях (Вознесенский, Первомайский, Кировский, Чапаевский и другие массивы).

По временем формирования «вознесенским» гранитам предшествуют небольшие тела основных пород гибридного характера, сложенные кварцевыми диоритами, диорит-монцонитами, габбро-диоритами и габбро. Более поздними являются многочисленные дайки спессартитов, диабазовых порфиритов, аplitов, гранит-порфиров, кварцевых порфиров, пегматитов и мелкозернистых гранитов.

В районе с. Вознесенка кварцевые диориты, диорит-монцониты, монцониты, сиениты, габбро-диориты и габбро прорывают и метаморфизуют верхнепротерозойские и кембрийские отложения и образуют массивы площадью до 8 км<sup>2</sup>. Наиболее крупные из них приурочены к крупному разрезу северо-западного профиля. Общая длина зоны, в которой встречены массивы, равна 10 км, а ширина — 1—3 км. Форма массивов обычно удлиненная, почти всегда с ответвлениями и апофизами. В пре-

делах массивов отмечены дайки аляскитовых гранитов. Непосредственный контакт габбро-диоритов с массивом «вознесенских» гранитов вскрыт в 4,5 км юго-восточнее с. Вознесенка. В контакте габбро-диориты интенсивно окварцированы, микроклинизиированы, биотитизированы и хлоритизированы. Состав пород весьма изменчив как внутри отдельных массивов, так и при переходе от одного массива к другому: северо-западные массивы сложены более кислыми породами, чем юго-восточные.

Диориты — средние, реже мелкозернистые породы, состоящие из андезина № 32—42, обыкновенной роговой обманки и небольшого количества (до 3%) биотита. Аксессорные минералы: сфен, циркон, гранат, магнетит, пирит, халькопирит, арсенопирит, пиротин. Иногда встречаются кварцевые диориты, в которых также присутствуют кварц (8—10%) и непрещетчательный микроклин (2—10%).

Габбро-диориты, по сравнению с диоритами, имеют более основной плагиоклаз (№ 48—52), содержат большее количество обыкновенной роговой обманки. Постоянно в них присутствуют диопсид и авит.

Диорит-монцониты состоят из андезина или чисто зонального лабрадор-андезина и олигоклаза (до 60%), непрещетчательного микроклина (до 25%), диопсида (до 10%), роговой обманки (до 35%) и биотита (до 5%). Вторичные минералы: глауконит, сернистый хлорит, эпидот, цинцит, акцессорные — апатит, циркон, сфен, ильменит, магнетит, пиротин.

Сиениты образованы непрещетчательным калиевым полевым шпатом (до 70%), олигоклазом № 24—26 (до 90%), диопсидом и геленбергитом (до 25%), обыкновенной роговой обманкой, глауконитом и небольшими количествами биотита и кварца.

Габбро — весьма недородные породы различной зернистости, иногда даже в пределах одного образца. В их составе присутствует плагиоклаз № 52—84 (до 80%), диопсид или диопсид-авит (до 80%), зеленая или буровато-зеленая роговая обманка (до 60%), кварц (до 10%), непрещетчательный калиевый полевой шпат, биотит. Вторичные минералы: актинолит, хлорит, эпидот, цинцит, пренит, карбонат, цеолиты; акцессорные: апатит, сфен, гранат, магнетит, пирит, халькопирит, арсенопирит, пирротин, ортит. По составу различаются роговообманковые, пироксеновые и кварцевые габбро. Химические составы некоторых из этих пород приведены в табл. 7. В некоторых породах в количестве от 0,04 до 0,08% отмечены окись лития, окись циркона, фтор.

«Вознесенские» граниты, обычно приуроченные к разрывным нарушениям, прорывают и интенсивно метаморфизуют кембрийские известняки, песчаники и сланцы. Среди них выделяются: турмалиновые, биотитовые и альбигитовые граниты и, очень редко, в эндоконтактовых зонах — плагиограниты типа трондемитов и кварцевые сиениты.

Турмалиновые и биотитовые граниты обычно серые или розовато-серые, мелко- или среднезернистые породы с гиппоморфозернистой, изорелка порфироидной структурой. Состав из микроклина (30—35%), кварца (25—40%), плагиоклаза ряда альбита и альбит-олигоклаза № 5—20 (15—25%), биотита (2—5%), турмалина (0—3%), и редких цешук мусковита и обыкновенной роговой обманки. Аксессорные минералы: циркон, апатит, рутил, сфен, ортит, магнетит, пирит, гранат, флюорит, кассiterит. В некоторых случаях можно выделить две генерации кварца и плагиоклаза. Плагиоклаз первой генерации замещается микроклином, четко решетчатым и перигиазированным, кварцем обеих генераций, биотитом и альбитом.

По химическим анализам граниты отличаются от среднего типа повышенной щелочностью и небольшими содержаниями окисей кальция и магния (табл. 7). Характерные элементы-примеси: барий, цирконий, иттрий, рубидий, фтор, олово, галий, свинец и др.

На контакте с известняками среди гранитов отмечены зоны трондемитов, сложенных олигоклазом (55—65%), кварцем (15—30%), микро-

клином (3—10%), мусковитом (1—3%), флюоритом (1—3%), топазом (0—3%) и небольшими количествами циркона и магнетита. Известники в зоне контакта мраморизованы, скарнизованы и флюоритизированы, песчаники и сланцы ороговикованы. Размеры скарновых более молодые диабазовые порфириты.

Химические составы раннепалеозойских образований Вознесенского массива и данные

Название породы	SiO <sub>2</sub>	TiO <sub>2</sub>	Al <sub>2</sub> O <sub>3</sub>	Fe <sub>2</sub> O <sub>3</sub>	FeO	MnO	MgO	CaO	Na <sub>2</sub> O	K <sub>2</sub> O	H <sub>2</sub> O	Гипп	Cумма
Габбро . . . . .	43,0	0,21	21,09	1,64	5,33	—	11,85	15,20	0,14	0,59	1,08	—	100,13
Либорит-монацит . . . . .	54,10	1,09	21,74	1,71	6,13	0,10	1,82	5,32	4,00	3,17	0,68	—	99,66
Биотитовый гранит . . . . .	71,64	0,17	15,15	1,17	0,43	—	0,44	0,68	3,30	5,80	0,36	0,10	100,04
Аляскиновый порфирит гранит . . . . .	74,9	0,19	12,88	2,59	—	0,01	0,12	0,56	4,10	4,17	0,64	—	100,42
Турмалин-полевощатовый гранит . . . . .	70,04	0,20	15,59	1,03	0,05	0,50	1,23	3,34	5,03	0,98	0,90	99,99	
Грейзенизованный гранит . . . . .	72,40	0,12	15,31	0,86	0,43	—	0,84	0,92	0,79	5,80	1,28	0,87	99,63

и скарноподобных образований весьма разнообразны (от 0 до 100 м), состав из них — пироксеновые, гранатовые, скарапилитовые, хандродитовые, прироксен-везувиановые и другие.

С гранитами связана интенсивная грейзенизация как вмещающих пород, так и самих гранитов. В процессе грейзенизации четко выделяется два этапа [38]. Первый этап, захвативший большие площади, проявился в мусковитизации биотита, в замещении полевых шпатов кварцем и мелкокешуйчатой слюдкой, в образовании небольшого количества турмалина, топаза и кассiterита. Во второй этап, значительно более интенсивный, но проявленный локально, происходило основное образование руд кассiterита, вольфрамита и формирование другихрудных минералов. Среди грейзенов второго этапа выделяются: кварцевые, топазовые, турмалиновые, флюорит-топазовые и др.

Дайковые породы, связанные с вознесенскими гранитами, представлены спессартитами, диабазовыми порфиритами, аплитами, кварцевыми аplitами, пегматитами, кварцевыми аplitами, кварцевыми порфиритами и мелкозернистыми гранитами.

Полезные ископаемые, приуроченные в основном к скарнированным и грейзенизованным породам, представлены флюоритом, олесвом, синцитом, цинком, иттрием и рубидием.

Некоторые исследователи [18, 117] к группе «вознесенских» относят сходные по составу грейзенизованные граниты других массивов Ханкайской зоны (Кабаргинский, Краснинский, Тургеневский и Орловский). Отсутствие сходной рудной минерализации, несколько различных составов породы и определение их радиологического возраста позволяют считать их среднепалеозойскими и относить к измененным разностям шмаковских гранитов.

## Среднепалеозойские интрузивные образования

Среднепалеозойские интрузии развиты только в пределах Ханкайской зоны и представлены в основном крупными гранитными интрузиями. В их составе условно можно выделить две интрузивные фазы. Первая фаза — микроклиновые (шмаковские) граниты, гранодиориты

и сопровождающие их аллиты, гранит-порфириты и диабазовые порфириты: вторая фаза — биотитовые (гродековские) граниты, внедренные в горы предшествовали небольшие тела габбро и габбро-диоритов и наименее молодые диабазовые порфириты.

Таблица 7

пересчета их на чистовые характеристики А. Н. Заварика (М. Г. Руб [38])

a	c	b	s	a'	f'	m'	c'	n	φ	t	Q	a/c
3,4	20,3	15,3	61,0	—	23,1	57,0	19,9	67	10,6	0,2	2,1	0,2
13,6	6,4	14,3	65,7	23,8	53,2	22,3	—	66	18,6	0,9	3,8	2,1
15,2	0,9	4,8	79,1	56,3	28,2	15,5	—	46	19,2	0,3	26,9	16,9
14,5	0,7	2,9	81,9	22,2	71,1	6,6	—	60	71,0	0,2	35,1	21,0
14,3	1,4	5,9	78,4	54,6	31,8	13,6	—	50	26,8	0,2	26,8	10,2
9,8	1,1	10,2	78,9	75,0	11,6	13,4	—	17	7,7	0,1	37,1	9,6

На востоке Ханкайской зоны к первой интрузии фазе ( $Y_1PZ_2$ ) относится крупный Шмаковский массив, вытянутый в близмеридиональном направлении от г. Арсеньева до р. Б. Уссурика. Этими же гранитами сложено западное побережье оз. Ханка. Кроме того, микроклиновые граниты слагают массивы к СЗ от с. Репетниково.

Изучение контактов с вмещающими породами, а также элементов протектоники, огромная (около 1500 км<sup>2</sup>) площадь развития гранитов позволяет бы считать эту гранитную интрузию батолитом (в понимании Х. Клюосса), но скорее всего она является асимметричным гигантским лакколитом со сравнительно неглубоким затяжанием кровли и подошвы. Обилие ксенолитов в кровле интрузии свидетельствует об ее сравнительном неглубоком эрозионном срезе.

Среднепалеозойский возраст этих гранитов основан на следующих данных: 1) в микроклиновых гранитах отмечены многочисленные ксенолиты кристаллических пород, протерозойского возраста; 2) граниты имеют активные контакты с породами Тамлинской серии Сибирского возраста [18]; 3) на левобережье р. Арсеньевка и в басс. р. Кабарийка [18] микроклиновые граниты несогласно перекрыты осадочно- vulkanogenными образованием дунайской свиты первомицкого возраста.

Микроклиновые граниты состоят из микроклинопирита (30—60%), плагиоклаза № 13—15 (15—25%), кварца (20—40%), биотита (1—5%), и единичных зерен обыкновенной роговой обманки. Аксессорные минералы: циркон, сфеин, апатит, гранат, флюорит, турмалин, анатаз, монацит, кассiterит, пирит, арсенопирит, илменит, вторичные — серидит, хлорит, преит, гидрохлорит железа, минералы группы эпидот-диопзита. Плагиоклаз почти всегда в тонкой или иной степени микроклинизирован. Гранодиориты, слагающие среди гранитов небольшие участки, отличаются от гранитов пониженным содержанием кварца и большим количеством темноцветных минералов, особенно обычновенной роговой обманки.

Аляскиновые граниты, связанные биотитовыми гранитами постепенно переходами, распространены незначительно. Они характеризуются отсутствием или крайне незначительным содержанием темноцветных минералов. Порфировидные микроклиновые граниты развиты в основном в Южной и Северной частях массива около контактовых зон. Химические составы среднепалеозойских интрузивных образований приведены в табл. 8. Протерозойские сланцы на контактах с микрокли-

Химические составы среднепалеозойских интрузивных образований

Таблица 8

Название комплексов и пород	Колич. анализов	$\text{SiO}_2$	$\text{TiO}_2$	$\text{Al}_2\text{O}_3$	$\text{Fe}_2\text{O}_3$	$\text{FeO}$	$\text{MnO}$	$\text{MgO}$	$\text{CaO}$	$\text{Na}_2\text{O}$	$\text{K}_2\text{O}$	ПИП	Сумма
Гродековский комплексы — габбро, габбролиты . . . . .	2	47,69	1,30	18,00	1,82	5,92	0,99	4,86	12,50	2,83	0,72	4,01	99,74
Гродековский комплекс — гранодиориты . . . . .	14	69,44	0,34	15,73	1,51	1,15	0,05	0,72	2,35	3,78	3,53	0,85	99,85
Шмаковский комплекс — монокиновские граниты . . . . .	30	73,57	0,17	13,57	1,29	1,37	0,05	0,50	0,68	3,34	4,80	0,53	99,87
Шмаковский комплекс — лейкократовые граниты, гранит-порфирь . . . . .	7	75,29	0,10	13,44	1,00	0,95	1,02	0,18	0,49	3,52	4,64	0,11	100,74

новыми гранитами в зонах шириной от 20 до 400—500 м превращены в двуслюдянные андалузитовые гнейсы, андалузит-биотитовые, мусковит-биотитовые, хлорит-серпентитовые и кварц-хлоритовые сланцы, тонкозернистые полимиоктовые песчаники тамгинской свиты — в кварц-полевошпатслюдистые сланцы с единичными андалузитом и силиманитом, а известняки у контакта мраморизованы. Вблизи контактов нередко встречаются инъекции кварцевого и кварц-полевошпатового состава.

На отдельных участках отмечена грейзенизация гранитов.

Дайковые породы, связанные с микрокиновскими гранитами, представлены гранит-порфирами, aplитами и диабазовыми порфиригитами. Мощность их до десятков метров, длина — до 1 км. Большинство даек приурочено к разрывным нарушениям и сопровождающим их трещинам.

На второй фазе среднепалеозойских интрузивных образований отнесены биотитовые («гродековские») граниты ( $\text{Y}_2\text{PZ}_2$ ), слагающие крупный (до 900 км<sup>2</sup>) Гродековский массив и небольшие тела габбро и габбро-диоритов ( $\text{vBPPZ}_2$ ).

Эти биотитовые граниты в басс. р. Кордонка прорывают и метаморфизуют силутийские отложения кордонской свиты и перекрывают барабашской свитой позднепермского возраста. В басс. р. Намичевка описаны дайки кислых эфузивов, прорывающие граниты и содержащие обломки последних [99]. На левобережье р. Мраморная, в 5 км выше устья, в туфах барабашской свиты отмечены глыбы порфириевых гранитов до 1,5 м в поперечнике [99]. В структурном отношении Гродековская интрузия, как и Шмаковская, представляет собой гигантский асимметричный лакколит, погружающийся на З, где расположены его корни.

В среднем течении р. Комисаровка и в ряде других мест наблюдались небольшие (до 8 км<sup>2</sup>) тела габбро и габбро-диоритов, прорванных и метаморфизованных биотитовыми гранитами второй фазы.

Габбро представляют собой средне- и крупнозернистые породы с гипидоморфно-зернистой, габбровой или поиклопитовой структурами. Состоят они из лабрадора — битонита (20—60%), диопсида (20—80%), буровато-зеленой обманки (10—30%), биотита. Аксессорные минералы: апатит, сфен, циркон, гроссуляр, магнетит, пирит, халькопирит, арсенопирит, пирротин. Выделяются две разновидности — габбро-пироксеновые и роговообманковые. В разностях с большим количеством калиевого полевого шпата и кварца Постоянные вторичные минералы — эпидот, плазит, серцинит, актинолит, хлорит. Экзоконтактовое воздействие габбро-диоритов проявлено очень слабо.

Биотитовые граниты второй фазы — серые, обычно массивные, иногда слабо полосчатые породы гранитной, участками микрографической структуры. Они состоят из кварца (30%), микроклин-пертита (40%), альбит-олигоклаза и олигоклаза (25%), биотита (3—8%). Аксессорные минералы — циркон, гранаты, пирит, арсенопирит, ильменит, анатаз, флюорит, монацит, касiterит; вторичные — серидит, хлорит, гидроокислы железа, эпилор, цоплит.

В басс. р. Нестеровка, а также по дороге Нестеровка — Прялук, наблюдалась весьма своеобразные порфириобластовые граниты. Здесь среди типичных серых «гродековских» биотитовых гранитов появляются прихотливой формы тела порфириоластовых гранитов размером до 5—6 км<sup>2</sup>, постепенно переходящих в нормальные граниты. Характерным для этих гранитов является их повышенная устойчивость к выветриванию, а также присутствие новообразований микроклинна в виде больших, размером до 1—2 см, таблиц, переполненных пойкилитовыми включениями других минералов, и небольшого количества темно-зеленой или синевато-зеленой роговой обманки.

Контактовое воздействие гранитов второй фазы особенно интенсивно проявлено в породах кордонкинской свиты, где ширина ореола роговиков достигает 2,5 км. Okolo сел Новоселище и Алексеевка ксенолиты кембрийских (?) известняков и сланцев подверглись скарнированию и ороговикованию. У с. Новоселище мощность скарнированных пород около 250 м, в них наблюдалась вкрашенность молибденита. В эндоконтакте с известняками в зоне около 300 м шириной наблюдается переход по мере удаления от контакта диоритов и диорит-моионитов в кварцевые диориты, затем в гранодиориты и биотит-роговообманковые граниты. Песчаники и сланцы на контакте с гранитами филлитизированы, иногда грейзенизированы, на отдельных участках превращены в роговики или кварц-слюдистые сланцы с турмалином, ставролитом, андалузитом и силлиманитом. Непосредственно у контакта вмешающие породы гранитизированы.

С гранитами второй фазы связаны дайки aplитовидных мелкозернистых гранитов и диабазовых порфириотов мощностью до 8—10 м, длиной до 200 м.

**Среднепалеозойские (?) суббульканические образования ( $\lambda_1\text{PZ}_2$ )**, представленные фельзитами, фельзит-порфирами, кварцевыми порфирами, гранит-порфирами и сферолитовыми микрограманофирами, известны в районе с. Вознесенска и к Ю от него. Они прорывают «вознесенские» граниты и отложения силутийского (?) и кембрийского возраста, обраzuя несколько небольших (до 1 км<sup>2</sup>), часто сближенных между собой штоков и даек. Мощность даек — первые метры, длина — до 300—500 м. Наиболее крупные тела сложены обычно раскристаллизованными гранит-порфирами и кварцевыми порфирами, а дайки и мелкие штоки — разнообразными фельзитами. Центральные части интрузий, как правило, раскристаллизованы лучше.

Гранит-порфиры и кварцевые порфиры связаны между собой неизвестными переходами. Это массивные породы с микропорфитовой албитовой, фельзитовой или сферолитовой структурой основной массы порфировыми выделениями (до 10—25% объема породы) кварца, плагиоклаза и микроклина. В основной массе, сложенной этими же минералами, иногда встречаются мелкие чешуйки биотита. Аксессорные минералы — циркон, рудный минерал, флюорит, турмалин, гранат, касситерит.

Фельзиты и фельзит-порфиры обладают фельзитовой или пойкилопофилитовой структурой и состоят из мельчайших зерен кварца и полевых шпатов, прорастающих друг друга. Встречаются редкие вrostки кристаллов плагиоклаза, кварца и чешуйки серцинита и мусковита.

В фельзит-порфирах отмечены редкие порфировые выделения кальцевого полевого шпата и кварца.

Сферолитовые микрогранофиры состоят из кварца (20%), кальцевого полевого шпата (70—80%), олиоклаз-альбита, редких цепочек мусковита и акцессорных минералов — циркона, магнетита, сфена. В некоторых случаях по породам развиваются хлорит, серпентит, гидроокислы железа.

Не исключено, что описанные выше суббулканические образования связаны со средне-или позднепалеозойским этапами активизации и имеют соответственно девонский или пермский возраст.

## Пермские интрузивные образования

Пермские интрузивные образования рассматриваемой территории весьма разнообразны. Среди них выделяются следующие группы пород:

- 1) пироксениты, оливиниты, перидотиты;
- 2) габбро, амфиболизированые габбро;
- 3) диориты, кварцевые диориты, гранодиориты;
- 4) граносиениты;
- 5) граниты, лейкократовые граниты; плагиограниты, гранитопорфириты. Наиболее широко распространены породы среднего и кислого состава.

*Пироксениты, оливиниты, перидотиты (σР)* выявлены только в Центрально-Сихотэалинской зоне. Они образуют небольшие трещинного типа интрузии, приуроченные к Центральному шву или расположенные в непосредственной близости от него [33].

Перидотиты в виде небольших тел установлены в Савиновской группе интрузий. Здесь же встречаются небольшие (длина до 800, мощность до 100 м) дайкообразные интрузии пироксенитов, залегающие среди пермских вулканогенно-осадочных образований.

Верлиты сложены моноклинным пироксеном и оливином. По nim, путем их замещения, развиваются крупные зерна гиперстена, в результате чего нередко возникают характерные пойкилитовые структуры. В небольшом количестве присутствуют рудный минерал, хлорит, серпентин. Перидотиты всегда в той или иной степени амфиболизированы и флогопитизированы. Химические составы перидотитов приведены в табл. 9.

Таблица 9:

Химические составы пермских интрузивных образований

Название породы и местонахождение	Количество алюминия	SiO <sub>2</sub>	TiO <sub>2</sub>	Al <sub>2</sub> O <sub>3</sub>	Fe <sub>2</sub> O <sub>3</sub>	FeO	MnO	MgO	CaO	Na <sub>2</sub> O	K <sub>2</sub> O	ПИП	Сумма
Верлиты (Чугуевский и Савиновский массивы)	3	40,12	0,17	2,45	6,85	3,71	0,16	31,60	5,73	0,11	0,07	8,71	99,63
Габбро-диориты (Центрально-Сихотэалинская зона)	5	51,60	1,17	16,41	7,85	4,43	0,16	5,58	6,88	3,13	1,52	1,02	99,75
Диориты кварцевые (Центрально-Сихотэалинская зона)	6	56,40	1,02	16,44	6,51	5,10	0,22	2,40	5,39	3,80	2,00	0,13	99,51
Граносиениты (Ханкайская зона)	7	70,04	0,09	15,82	1,61	0,57	0,07	0,21	0,65	3,17	7,23	0,25	99,71
Плагиограниты (Ханкайская зона)	5	71,66	0,26	14,44	2,35	1,33	0,05	0,85	1,90	3,88	2,50	0,08	100,30
Граниты (Ханкайская и Даубихинская зоны)	14	73,14	0,19	13,72	1,38	1,48	0,06	0,29	0,53	3,58	4,92	0,47	99,76
Дайкообразные порфириты (Ханкайская зона)	3	49,73	1,19	17,95	2,52	7,13	0,11	5,80	8,75	2,58	1,76	2,74	100,26

Оlivиниты отмечены в виде небольших обособленных среди перидотитов, кроме оливина, содержащих небольшое количество рудного минерала и ромбического и моноклинного пироксена. Пироксениты — это массивные средне- или крупнозернистые породы, состоящие из диопсида и небольших количеств оливина и рудного минерала. Они всегда интенсивно амфиболизированы и серпентинизированы.

С этими породами связаны проявления никеля, кобальта, платины. Габбро, амфиболизированные габбро ( $\sigma_{\text{P}}$ ) известны в Центрально-Сихотэалинской, Краевской и Даубихинской зонах. Форма и размеры интрузий очень разнообразны. Наиболее крупные из них (площадью до 300 км<sup>2</sup>) расположены в пределах Центрально-Сихотэалинской зоны. Они имеют выпуклую, видимо, пластообразную форму. Интрузии Даубихинской зоны обладают более сложной формой и часто образуют дайки и мелкие линзы. В Краевской зоне габбро преимущественно сочленяются в виде ксенолитов среди молодых гранитов, но они также становятся небольшими штокобразными телами, рвущие среднепалеозойские гравийные и мелкие линзы. В Краевской зоне габбро преимущественно сочленяются в виде ксенолитов среди молодых гранитов, но они также становятся небольшими штокобразными телами, рвущие среднепалеозойские гравийные и мелкие линзы.

Среди пород этой группы имеются роговообманковые и пироксен-роговообманковые габбро, иногда переходящие в габбро-диориты и пироксениты. Обычно это мелко-или среднезернистые, полосчатые, реже массивные породы габбровой, офитовой и паниломорфно-зернистых структур, нередко очень похожие на амфиболиты. Составляет они из переменных количеств зеленой роговой обманки, плагиоклаза № 40—45 (иногда до № 65), моноклинного пироксена, реликтовых зерен бурой роговой обманки. Аксессорные минералы: сфен, апатит, циркон, рудный минерал, вторичные — актинолит, кварц, биотит, серпентин.

В контакте с габбро вмешающиеся породы подвержены лишь слабой перекристаллизации.

*Диориты, кварцевые диориты ( $\delta_{\text{P}}$ )* известны только в пределах Краевской, Даубихинской и Ханкайской зон, где они слагают небольшие (0,5—5,0 км<sup>2</sup>) слабо удлиненные или изометрические тела среди среднепалеозойских гранитов. Породы обладают гипидиоморфо-зернистой, участками микролегматитовой структурой, сложены плагиоклазом № 40—45 (50—60%), роговой обманкой (25—40%), моноклинным пироксеном (5—15%), кварцем (0—10%), калиевым полевым шпатом (0—15%). Аксессорные минералы: циркон, апатит, рудный минерал, сфен; вторичные — хлорит, актинолит, эпидот, пизиг, альбит, кварц. В разностях, переходных к габбро-диоритам, повышена основность плагиоклаза, а количество темновьетных минералов составляет 40—50% объема породы.

Контактовое воздействие диоритов на вмешающиеся породы проявляется слабо и выражено в появлении небольшого количества хлорита и актинолита в зоне не дальше 10—15 м от контакта. Присутствие даже в габбро-диоритах небольших количеств кварца и калиевого полевого шпата может быть объяснено ассимиляцией песчаников и воздействием более молодых гранитов пермского возраста.

Дайки, ассоциирующиеся с породами этой группы, представлены диоритовыми (нередко кварисодержащими) и диабазовыми порфирами.

*Граносиениты ( $\epsilon_{\text{P}_1}$ )* слагают довольно крупные (площадью до 220 км<sup>2</sup>) удлиненные формы тела, приуроченные, видимо, к крупным тектоническим нарушениям. Кроме граносиенитов, встречаются кварцевые сиениты и сиенит-порфириты.

Возраст интрузий определяется тем, кто они прорывают эфузивные образования барабашской свиты и среднепалеозойские граниты, а сами проявлены гранитами и гранофирами позднепермского возраста.

Граносиениты — массивные мелко- или среднезернистые полробы, иногда заметно порфировидные. Структура их — типидоморфно-зернистая, аллоториоморфнозернистая, участками близкая к монцонитовой. Они сложены олигоклазом № 18—25 (5—20%), нередчечатым микроклином (45—60%), кварцем (15—20%), моноклинным приоксном (0—8%), роговой обманкой (5—10%), иногда блотитом (до 25%). Аксессорные минералы: апатит, сфеин, циркон, рудный минерал, вторичные — серпентит, хлорит, редко карбонат. В кварцевых слепитах, внешне очень похожих на граносиениты, количество кварца заместено уменьшается (до 2—5%), а темноветвистых минералов, особенно приоксена, — увеличивается. В граносиенитах Даубихинской зоны, связанных постепенными переколами с биотитовыми гранитами и кварцевыми слепитами, резко преобладает калиевый полевой шпат (до 70%), присутствуют олигоклаз (10—15%), кварц (5—15%), субшелочная роговая обманка и блотит (в сумме 5—15%). В кварцевых слепитах появляется моноклинный приоксн, а общее содержание темноветвистых минералов достигает 25—30%.

Контактовые изменения, связанные с внедрением граносиенитов, проявлены относительно слабо. Песчано-глинистые породы непосредственно у контактов превращены в кварц-биотитовые роговики и кристаллические сланцы, с удалением от контакта процессы перекристаллизации затухают и в породах наблюдаются лишь новообразования блотита, хлорита и кварца. В эфузивах барабашской свиты вблизи контактов образуются роговики, а в зоне ширины 100—150 м заметно окварцевание и развитие новообразований блотита.

*Граниты, лейкократовые граниты (уР), плагиограниты (руР), гранит-полифиры (уПР)* образуют интрузии, состав и облик которых в разных зонах различны. На западе Ханкайской зоны преобладают мелкозернистые биотит-амфиболовые розовые граниты, плагиограниты и гранофиры. Интрузии преимущественно тренчного типа, вытянуты в различные размеры — от 1—2 до 250 км<sup>2</sup>. На востоке Ханкайской, а также в Центрально-Сихотэалинской и Самурской зонах преобладают средне- и крупнозернистые биотитовые, лейкократовые граниты и гранит-полифиры. Форма интрузий изометрична или слабо вытянута по простиранию главных структур. Чаще всего это — штокообразные тела размером от 15—20 до 300 км<sup>2</sup>, ограниченные разрывами. Их позднепермский возраст принят на том основании, что они прорывают и метаморфизуют нижне- и верхнепермские отложения. На о. Русский и г. о. Муравьев-Амурский (южнее территории листа) тоже такие же граниты перекрыты базальты континентального триаса [38]. Возраст некоторых гранитных интрузий Даубихинской и Центрально-Сихотэалинской зон («тройки» граниты) некоторые исследователи (Ю. Н. Размахин, 1962 г., В. И. Силантьев, 1965 г.) считают юрским.

По составу и структурным признакам среди гранитов выделяются биотит-амфиболовые мелкозернистые граниты, лейкократовые граниты, средние- и крупнозернистые биотитовые граниты.

Биотит-амфиболовые и биотитовые мелкозернистые граниты представляют собой розовые или мясо-красные породы с гипидоморфнозернистой микропемитовой и гранофирической структурами. Они сложены кварцем (25—40%), перешеччатым микроклином (50—60%), олигоклазом (10—20%), биотитом (2—5%), эстенитной роговой обманкой (2—5%). Аксессорные минералы: сфеин, апатит, циркон, магнетит; вторичные — серпентит, эпидот, гидроокислы железа.

В некоторых массивах (Решетниковский, Комисаровский) встречаются участки, сложенные лейкократовыми и иногда аплитовидными

гранитами, связанными с обычными гранитами постепенными переходами. В эндоконтактах граниты переходят в гранит-порфиры и гранофиры, имеющие иногда порфировидную структуру с гранофирировой или псевдороллитовой основной массой, а вмешавшиеся породы ороговикованы и окварциованы в зоне ширины 100—150 м. С интрузиями связаны дайки сходного с мелкозернистыми гранитами состава — гранит-порфиры, кварцевых порфиров, гранофиры.

Средне- и крупнозернистые блотитовые граниты состоят из кварца (30—35%), калиевого полевого шпата (20—45%), плагиоклаза № 18—25 (20—45%), блотита (3—8%), единичных зерен роговой обманки. Аксессорные минералы: флюорит, циркон, ортит, ильменит, магнетит, гранат, шеелит, вторичные — кварц, хлорит, альбит, пироксенит. Структура — гипидоморфнозернистая, микропегматитовая, в катаклазированном гранит — катакластическая, порфиробластическая, гетерогенная блокстокатаклазистическая. В пределах отдельных массивов иногда наблюдалась переход этих гранитов в лейкократовые, мелкозернистые и аляскиевые.

Контактовые воздействия интрузий весьма разнообразны и интенсивны. Ширина ореолов измененных пород, составляя в среднем 0,5—1 км, иногда достигает 3 км. Характер контактовых изменений во многом зависит от состава вмещающих пород. Кремнистые породы преобразуются в микрекварциты, алевролиты и глинистые породы — в роговики, содержащие большое количество новообразованной кварца, блотита, серпентита, хлорита, и иногда даже переход в кварц-слюдистые сланцы, кембрейские известняки (басс. р. Арсеньевка) — в магнетитовые скарны.

Процессы гранитизации, ведущие к преобразованию вулканогенных и, реже, осадочных и метаморфических пород, наиболее широко проявлены в зоне Центрального шва и оперяющих его разломов [161]. В результате интенсивной метасоматической переработки (альбитизация, калишипатизация, окварцевания и блотитизация) на отдельных участках возникают типичные граниты и очковые гнейсы. Отмечен литологический контроль над интенсивностью и характером этих процессов. В песчаниках процессы проявляются более интенсивно, чем в алевролитах и глинистых сланцах. Дайки, связанные с этими гранитами, немногочисты и представлены аплитами, мелкозернистыми гранитами, очень редко пегматитами.

Плагиограниты слагают несколько тел (размером 10—180 км<sup>2</sup>) удлиненной формы в Ханкайской и Самурской зонах. Это — мелко- или среднезернистые породы, отличающиеся от обычных биотитовых гранитов несколько большим (иногда до 45—50%) количеством плагиоклаза № 20—28 и сравнительно небольшим набором аксессорных минералов, представленных аплитом, цирконом, рутилом, шеелитом и др. Некоторые плагиограниты постепенно переходят в биотитовые граниты. Дайковый комплекс, а также метаморфизм вмещающих пород, вызванный внедрением плагиогранитных интрузий, также же, как и около лейкократовых гранитов, но зоны контактовых изменений у них меньше.

С описанными выше интрузиями связаны месторождения и проявления золота, олова, вольфрама, серебра, свинца и цинка.

*Пермские суббулканические образования (иЛР)* известны на севере Ханкайской зоны и прилегающей к ней части Даубихинской зоны (левобережье р. Б. Уссурка). Они образуют небольшие (1—30 км<sup>2</sup>), узкие штокобразные или дайкового типа тела с крутыми kontaktами, приуроченные к разрывам северо-восточного, реже близширотного простирания. Они прорывают породы дунайской, Владивостокской и каменушинской свит, а также с разрывом перекрывают верхнепермскими конгломератами угодининской свиты (Ю. И. Максименко, 1966 г.).

На севере Ханкайской зоны известно наиболее крупное близириотного простираания тела, сложенное фельзитами, липаритовыми порфирами и кварцевыми порфиритами, связанными между собой постепенно переходами. Доломитовые дайки, рассекающие все другие породы, являются более молодыми. В Даутохинской зоне небольшие тела в основном представлены гранит-порфиритами, кварцевыми порфиритами и фельзитами.

Гранит-порфириты и кварцевые порфириты — это массивные порфиритовые породы с микропорфитовой, микротопазилитовой, фельзитовой или сфералитовой основной массой. Порфиритовые выделения (10—20% объема породы) представлены кварцем, калиевым полевым шпатом, плагиоклазом № 18—26 и редко биотитом. Основная масса сложена кварц-калиевым полевым шпатом, в котором изредка встречаются эпидот, цоизит и альбит-олигоклаз. Аксессорные минералы: циркон, апатит, пирит, ильменит, лейкоксен; вторичные — эпидот, серцит, хлорит, карбонат, гидроокислы железа.

Фельзиты и фельзит-порфириты представляют собой породы микропорфировой структуры с вкрапленниками калиевого полевого шпата и кварца. Липаритовые порфириты имеют порфиритовую, передко гломеропорфировую структуру с вкрапленниками (15—20% объема породы) кварца, роговой обманки и олигоклаза. Дацитовые порфириты отличаются от липаритовых более основным (№ 25—33) плагиоклазом и большим количеством (10—15%) роговой обманки.

Субвулканические интрузии вызывают контактовые изменения, выраженные в неизначительном окварцевании и слабой перекристаллизации

вмешающихся пород в зоне плинии до 15 м. Химические составы некоторых пород приведены в табл. 10.

Название породы и место взятия пробы	SiO <sub>2</sub>	TiO <sub>2</sub>	Al <sub>2</sub> O <sub>3</sub>	Fe <sub>2</sub> O <sub>3</sub>	FeO	MnO	MgO	CaO	K <sub>2</sub> O	N <sub>2</sub> O	P <sub>2</sub> O <sub>5</sub>	ППП	Сумма
Липаритовый порфир (пр. Б. Уссурийск.)	71,00	0,06	13,26	0,58	0,81	0,02	0,25	0,14	3,22	4,65	0,01	0,34	100,34
Фельзит (там же)	76,72	0,05	12,17	Не опр.	2,46	0,06	0,20	0,35	3,25	4,38	0,01	0,30	99,95
Каарчевский порфир (там же)	76,22	0,05	12,03	1,12	1,01	0,04	0,22	0,14	3,32	5,27	0,02	0,54	100,22
То же	75,12	0,13	13,69	1,18	0,77	0,02	0,10	0,21	3,08	5,24	0,04	0,71	99,58
Гранит-порфир (Р. Тамга)	75,22	0,12	12,42	1,20	1,24	0,01	0,10	0,40	3,57	4,71	0,01	0,62	99,62
Дацитовый порфир (там же)	68,78	0,24	16,72	2,30	1,58	0,05	2,82	0,56	5,56	1,62	0,04	—	100,27

Примечание: Химические анализы по данным 1—4 — Ю. И. Максименко [130]; 5 —

## Юрские интрузивные образования

*Интрузионные породы юрского возраста* выявлены только в пределах Центрально-Сихотэ-Алинской зоны и известны под названием кокшаровского интрузивного комплекса. Среди них имеются проксениты ( $\omega J$ ), нефелиновые сениты и сиениты ( $\xi J$ ), слагающие несколько массивов, из которых крупными и наиболее изученными являются Массивы около с. Кокшаровка, в верховьях р. Шумная, в басс. р. Малиновка и Ореховка.

Кокшаровский массив прорывает и метаморфизует каменоугольные и никелепримесные толщи (самарканская и сеебачская свиты). Массив вытянут на ССВ, имеет в плане грубо-серповидную форму и площадь

около 3 км<sup>2</sup>. По-видимому, его продолжением к ЮЗ являются небольшие выходы пироксенитов в басс. кл. Старикова, на левобережье р. Уссури. Массив представляет собой трещинную интрузию, имеющую форму асимметричного лакколита, кровлю которого полого погружается на СЗ. Он рассечен многочисленными дайками и небольшими телами нефелиновых сенитов и тингуитов южного и северо-западного простирания. Мощность даек до 2 м, длина — до 60 м.

В строении массива, кроме резко преобладающих пироксенитов, в небольшом количестве участвуют альбитовые и альбит-этириновые метасоматиты, породы типа карбонатитов.

Пироксениты мелко-средне- и крупнозернистого сложения состоят из титанистого авгита (65—90%), титаномагнетита (5—30%), апатита и обманки. На периферии массива преобладают амфиболизированные пироксениты, в которых количество роговой обманки достигает 60%; в центральных частях — блотитизированные разности.

По химическому составу (табл. 11) пироксениты Кокшаровского массива отличаются от обычных пироксенитов повышенными содержаниями кремнезема, железа и титана и соответствуют якутиангитам. В формировании некоторых массивов существенную роль играют процессы натриевого, калиевого и гальванического метасоматоза. В результате натриевого метасоматоза пироксены в отдельных участках заменяются щелочной роговой обманкой и, реже, эгирином; калиевый метасоматоз приводит к интенсивному развитию биотита, замещающего пироксен; в результате кальциевого метасоматоза в массиве возникают участки карбонатизированных пироксенитов и карбонатных пород,

Таблица 10  
данные пересчета их на числовые характеристики А. Н. Заварницкого

	<i>a</i>	<i>c</i>	<i>b</i>	<i>s</i>	<i>a'</i>	<i>f'</i>	<i>m'</i>	<i>n</i>	<i>φ</i>	<i>t</i>	<i>Q</i>	<i>a/c</i>
	13,0	0,2	4,8	82,0	66,7	25,3	8,0	51	10,6	0,1	37,8	65,0
	12,8	0,4	4,4	82,4	42,0	50,8	7,2	52	—	0,1	38,8	32,0
	14,5	0,2	2,5	82,7	17,5	70,0	12,4	50	35,0	0,1	36,2	72,5
	13,6	0,3	5,0	81,1	63,6	32,5	3,9	47	18,2	0,1	34,7	45,3

Е. Д. Кацяна [109]; 6 — И. В. Минкиной [43].

ближних к карбонатитам. Последние образуют жилообразные или гнейсодобразные тела мощностью не более 1 м. Это — буровато-или коричневато-желтые породы, состоящие из кальцита (60—80%), реликтов пироксена, роговой обманки, биотита, апатита, титаномагнетита и иногда небольшого количества халцедона и альбита.

Нефелиновые сениты (фойниты) состоят из ортоклаза (20—30%), нефелина (25—35%), альбита (10—35%), эгирина и небольших количеств вторичного биотита. Аксессорные минералы: сфеин, апатит, эвдиалит. Тингуиты (в районе кл. Старикова доказан их более поздний возраст по сравнению с нефелиновыми сенитами) представляют собой мелкозернистые породы с небольшим (10—20% объема) количеством

Химические составы юрских интрузивных образований

Таблица 11

Название породы и место взятия проб	SiO <sub>2</sub>	TiO <sub>3</sub>	Al <sub>2</sub> O <sub>3</sub>	Fe <sub>2</sub> O <sub>3</sub>	FeO	MnO	MgO	CaO	Na <sub>2</sub> O	K <sub>2</sub> O	P <sub>2</sub> O <sub>5</sub>	H <sub>2</sub> O	ППИ	Сумма
<i>Кокшаровский массив</i>														
Перовского- вый прикес- пинит	44,88	3,25	2,26	7,16	7,74	0,17	12,60	19,54	0,61	0,06	0,01	1,10	0,53	99,90
Крупновени- стый прикес- пинит	40,24	4,40	2,87	9,92	9,92	0,28	12,89	17,67	0,90	0,34	0,02	—	0,53	100,03
Меккоэрин- гит с птико- магнетитом	38,96	5,55	2,66	17,42	5,60	0,02	11,69	17,60	0,50	0,10	—	—	—	100,10
Биотитизиро- ванный прик- сепинит	37,63	5,40	8,17	12,80	6,63	0,11	11,53	13,12	0,05	1,81	0,05	—	3,14	100,49
Амфиболити- ческий прикес- пинит	34,36	5,24	7,22	13,21	11,94	0,20	11,66	14,60	0,25	0,15	—	0,61	0,91	100,25
Карбонатизи- рованный при- кесепинит	26,30	1,60	4,94	4,59	9,16	0,39	4,44	24,67	2,00	3,93	0,02	—	17,78	99,82
Якупаригит	42,17	2,86	9,36	5,40	9,16	0,22	0,43	21,63	0,83	0,07	0,53	0,96	0,12	99,84
Эгининовый нефелиновый сиенит	58,09	0,36	22,04	2,73	1,69	0,14	0,80	0,60	8,73	3,13	—	0,10	2,04	100,45
Нефелиновый сиенит	58,38	1,53	24,90	1,02	1,06	—	0,37	1,11	8,10	4,30	—	—	1,25	100,07
Тинуагит	53,64	0,42	22,42	2,88	1,59	0,09	0,21	1,56	10,47	5,33	—	0,58	—	100,19
<i>Погский мас- сив</i>	49,76	1,28	20,78	4,19	1,14	0,26	0,73	2,07	11,11	4,63	0,08	2,84	0,92	99,70
Альбитизиро- ванный фойнит	57,39	0,71	22,56	1,65	3,38	0,24	0,56	1,40	6,32	3,25	—	0,06	1,84	99,76

Химические анализы приведены по данным: 1, 7, 8, 10, 11, 12 — Б. Л. Залищака [39], 2, 3, 4, 6, 9 — В. В. Левинского, 1960 г., 5 — А. Т. Октябрьского, 1960 г.

порфировых выделений нефелина и полевого шпата. В их составе участают (среднее из 7 подсчетов): нефелин (36,8%), калиевый полевой шпат (19,2%), альбит (25,6%), эгирин (17,1%), сфеен (0,9%), титаномагнетит (0,1%), апатит (0,1%), эдиалит (0,1%), прочие (0,1%). Характерными элементами-примесями для нефелинодержащих пород являются барий, стронций, циркон, иттрий, лантан, ниобий, медь, галлий, титан, марганец.

Ультраосновные и щелочные породы Кокшаровского массива вызывают амфиболизацию вмещающих порфиритов и их туфов и заметное ороговиковование алевролитов, песчаников и сланцев. В связи со щелочными породами вокруг массива развита прерывистая зона фенитизации.

Зона контактового щелочного метасоматоза возникла в результате замещения ороговикованных эфузивных и песчано-сланцевых пород альбитом, калиевым полевым шпатом и щелочными амфиболами и пироксенами. Ширина ореола контактово-измененных пород дольше всего-восточного контакта составляет первые десятки метров, а на северо-западе массива достигает 500—1000 м. Массив сопровождается многочисленными дайками альбитофиров, альбититов и разнообразных лампрофиров.

К Кокшаровскому массиву приурочено месторождение вермикулита, связанное с гидратацией биотита в коре выветривания биотитизированных пироксенитов.

Погский массив, расположенный восточнее с. Кокшаровка, сложен нефелиновыми сиенитами и щелочными габбро. Он прорывает и мета-пластообразную интрузию клиновидной формы, вытянутую на СВ и падающую на СЗ под углом 55°. Длина его — 5 км, ширина — 200—800 м.

Погские нефелиновые сиениты представляют собой массивные или трахигоидные, обычно грубозернистые породы гиппокромфозернистой структуры, состоящие из нефелина (20—30%), альбита и калиевого полевого шпата (60—70%), зонального эгирин-авгита (10—15%) и небольшого количества арфведсонита, биотита, сфена, ильменита, титаномагнетита, циркона и алита. Из вторичных минералов, связанных со щелочными автоматоматом присутствуют альбит, содалит, канкринит, либенерит, натролит, соллит. В измененных под влиянием более молодых гранитоидов разностях нефелиновых сиенитов отмечены новообразования альбита, серциита, мусковита, топаза, хлорита, эпилома, лейкоксена, сульфидов, кальцита, гейланита, кварца. Элементами-примесями в них являются барий, стронций, иттрий, лантан, ниобий, медь, галлий, титан, марганец.

Контактовый метаморфизм, связанный с Погским массивом, выражен слабо. Он маскируется наложенным процессами залегающимого изменения, сопряженными с позднемеловыми и раннеретичными гранитоидами. Только непосредственно у контакта во вмещающих породах установлена маломощная зона закалки, а на расстоянии нескольких метров от контакта развиты обычные роговники.

С нефелиновыми сиенитами Погского массива связана рассеянная редкоземельная минерализация, приуроченная к зонам альбитизации мощностью от 10 до 150 м. Такие зоны в центральных частях представлены обычно чистыми альбититами, мощность которых уменьшается с глубиной. Формирование этих зон минерализации связано с метасоматической дифференциацией нефелиновых сиенитов.

В басс. рр. Ореховка имеются небольшие, иногда сложной формы, штокобразные тела и дайки щелочных сиенитов, альбитовых сиенит-порфиров и альбититов, прорывающих и метаморфизующих средне-верхнекаменогоргольные сланцы. Наиболее курильный из них является массив Иденгу.

Щелочные сиениты представляют собой средне-и грубозернистые, массивные или полосчатые породы, сложенные калиевым полевым шпатом, альбитом, лущистым или волосовидным эгирином, щелочным амфиболом, биотитом, ильменорутилом и титаномагнетитом. На отдельных участках сиениты переходят в альбититы. Альбитизация обычно сопровождается интенсивной мусковитизацией и серцитизацией, вместе с которыми появляются небольшие количества пирита и халькопирита.

Альбитовые сиенит-порфириты, являющиеся по существу интенсивно альбитизированными щелочными сиенит-порфиритами, встречаются в виде маломощных дайкообразных тел. Это — лейкократовые породы порфиритового облика (крапленники альбита составляют 50—70% объема породы), основная масса которых существенно альбитовата. В небольшом количестве в них присутствуют биотит, хлорит, мусковит, эпилит, апатит, титаномагнетит, очень редко встречаются микроклин и альбититы.

Альбититы — это совершенно белые породы, состоящие из альбита, альбититы, ильменорутила и небольшого количества других минералов. Альбититы приурочены к широким зонам альбитизации, в которых участками сохраняются реликты обломков замещенных вмещающих пород. По всей вероятности, значительная часть альбитов представляет собой метасоматические образования, возникшие за счет роговиков и щелочных сиенитов.

На контактах с интрузиями сланцы и алевролиты самаркинской и тудовской свит образуют поля ороговиковых пород, причем орост ороговикованием достигает 5 км. Роговики весьма разнообразны. Среди большей группы амфибол-пироксеновых роговиков, состоящих из альбита, волокнистых амфиболов ряда актинолит — tremolit, диопсита, эпилома, кварца, апатита, титаномагнетита, биотита, хлорита, мусковита, сериита, карбоната, сфена, лейкоксена, шелочных амфиболов, граната, ортига, сфalerита, галенита, халькопирита, пирита и других минералов, особо выделяются альбитодержащие амфиболовые, пироксен-амфиболовые, эпилом-амфиболовые, пироксен-амфиболовые, и пироксен-эпиломовые, иногда кварцодержащие роговики.

#### На роговиканные, а также на интрузивные породы наложены про-

цессы щелочного метасоматоза и гидротермального изменения. Наиболее интенсивные изменения приурочены к контактам с альбититами и зонами альбитизации. Щелочные метасоматиты подразделяются на шелочно-амфиболовые (ребриковые), эгириновые и эгирин-рибекитовые разновидности. На контактах альбититов с лайками диабазовых и диноритовых порфиритов нередко возникают метасоматические зоны существенно алббитовых пород с биотитом, магнетитом, турмалином и сульфидами. С ними связаны свинцово-цинковая минерализация.

Субвуликанические щелочные базальтоиды известны в верховых р. Пумная [15], а по данным Ю. П. Бидюка (1962 г.), также в басс. рр. Извилинка и Усури. Они слагают экструзивные тела и многочисленные даики, рассекающие породы Погского массива. Часть базальтов дов является экструзивными аналогами пород погской свиты. Они генетически связаны между собой. Породы подверглись зеленокаменному изменению и потому первичный их состав не всегда определяется достоверно. Среди них установлены мончики, эссексит-мончики, тешниты и эссексит-диабазы.

В амфибол-биотитовых мончиках порфировые выделения, представленные титанистым авгитом, биотитом и баркевикитом, занимают около 30% объема породы. Мончики состоят из титанистого авгита (30%), биотита (20%), баркевикита (10%), анальцима (20%), титаномагнетита (15%), апатита (5%), эгирина, рибекита, кальдита, хлорита, лейкоксена. В зонах изменения породы почти напело превращены в хлорит-актинолит-кальцитовый агрегат с редкими зернами магнетита и лейкоксена.

Эссексит-диабазы, эссексит-шонкиниты и тешниты — породы порфирового облика, характеризуются гипидиморфозернистой или оффортовой структурами. В составе их постоянно присутствуют баркевикит, титанистый авгит, основной плагиоклаз, анальцим, калиевый полевой шпат, апатит, титаномагнетит, а из вторичных минералов — цеолиты, хлорит, эпилом, альбит, кальцит, лейкоксен.

Возраст описанных интрузивных и субвуликанических образований большинство геологов считает средне-позднеюрским на следующих основаниях. 1) Кокшаровский и Погский массивы прорываются и метаморфизуют осадочно-вулканогенные верхнекаменноугольные, нижнепермские и верхнепротеровские толщи; 2) в Погском массиве нефелиновые синклиниры прорваны даиками шелочных базальтов, являющими субвуликаническими аналогами покровов верхнекорской (?) погской свиты и, кроме того, перекрыты эфузиями дороговеевской свиты сенон-латского возраста; 3) определения радиогеологического возраста этих пород (135—160 млн. лет) соответствуют поздней и средней юре.

## Позднемеловые интрузивные образования

Среди позднемеловых интрузивных образований выделяются четыре интрузивных комплекса (Хунгарицкий, татионский, бачелезский и приморский), несколько различных по возрасту. Эти различия (как в геологическом, так и в радиогеологическом возрасте) связаны, видимо, с тем, что стабилизации разных частей Сихотэ-Аллинской складчатой области происходила неодновременно.

Поскольку тектонические зоны рассматриваемой территории входят в нее лишь своими небольшими частями, а отнесение отдельных интрузивных тел к какому-либо определенному интрузивному комплексу часто затруднительно, описание позднемеловых интрузий приводится без разделения их на комплексы.

Среди позднемеловых интрузивных образований выделяются следующие группы пород: 1) пироксениты, 2) монцонит-диориты, диориты, гранодиориты, 4) граниты, 5) диоритовые порфириты, 6) разнообразные даиковые образовани.

Большая часть этих пород слагают крупные (до 300 км<sup>2</sup>) трещинного типа штокобразные тела с резкими и крутыми контактами. Нередко они образуют цепочки массивов, приуроченных к крупным тектоническим разрывам. Формирование их происходило в нескользко фаз. Наиболее обычна последовательность внедрения такова: первая фаза — кварцевые диориты, диориты, монцонит-диориты, гранодиориты; вторая фаза — гранодиориты, граниты. Каждая из фаз сопровождается обычно комплексом даек. Для некоторых из массивов Восточно-Сихотэ-Аллинской зоны установлена следующая последовательность формирования: 1) кварцевые диориты, 2) монцонит-гранодиориты, 3) разнообразные граниты, 4) даики кварцевых порфиритов и гранит-порфиров, 5) даики диабазов и спессартитов.

Намечаются некоторые закономерности в распределении позднемеловых интрузий разного состава и строения в зависимости от их положения в той или иной тектонической зоне. В Ханкайской, Даубихинской и Самурской зонах преобладают гранодиориты и граниты, а массивы обычно молоденны, без четких интрузивных фаз; в Центрально-Сихотэ-Аллинской зоне доминируют биотит-амфиболовые граниты, гранодиориты и диориты, массивы же, как правило, полигенные; в Восточно-Сихотэ-Аллинской зоне развиты биотитовые граниты и монцонитоидные породы, почти всегда с четко выраженнымами фазами внедрения.

Возраст интрузий считается позднемеловым на основании того, что на отдельных участках они прорывают фаунистически охарактеризованные альбасии и сеноман-туронские отложения, а сами (массив Аракат) перекрывают раннепалеогеновыми эфузиями.

*Пироксениты* (*bK<sub>2</sub>*) образуют круглую (около 30 км<sup>2</sup>) пластовую заливку и несколько небольших даек в среднем течении рр. Откосная и Горная. Они состоят из гиперстена, замещенного актинолитом, tremolитом и серпентином, и акессорного рудного минерала. Структура пород панидиморфозернистая. Какого-либо воздействия на вмещающие породы пироксениты не оказывают, но сами под влиянием интрузии позднемеловых гранитов превращены в хлорит-кварцевые сланцы, перекрытые новообразованиями амфибола, плагиоклаза и карбоната. Позднемеловой возраст пироксенитов принимается условно на основании некоторого их сходства с пироксенитами, позднемеловой возраст которых доказан.

*Диориты, диорит-монциониты* (*dK<sub>2</sub>*) сравнительно редко образуют самостоятельные массивы. Они встречаются в виде небольших (до 10 км<sup>2</sup>), изометрических штокобразных тел в Восточно- и Центрально-Сихотэ-Аллинской зонах. Обычно эти породы образуют узкие каемки на краях однотипных массивов и отдельные небольшие участки внутри массивов.

С более кислыми породами, как правило преобладающими в строении массивов, диориты и диорит-монациты имеют постепенные переходы (массивы Самурский, Арагат и др.).

Диориты и кварцевые диориты состоят из зонального (№ 45—55—в центре зерен и № 25—30—в узких каемках) плагиоклаза (50—75%), обыкновенной роговой обманки (5—25%) и бурого биотита (до 10%). В небольших количествах присутствуют моноклинный пироксен, обычно замещенный актинолитом и роговой обманкой, кварц, калиевый полевой шпат. Последний обычен для кварцодержащих пород. Аксессорные минералы: апатит, магнетит, ильменит, циркон, сфеин, рутил, иногда ортит; вторичные — хлорит, амфиболит, серпентит, эпидот, соссюрит, альбит. Диорит-монациты отличаются от диоритов присутствием калиевого полевого шпата (до 25%), несколько большим количеством моноклинного пироксена и типично монацитовой на отдельных участках структурой.

Габбро встречаются небольшими участками среди пород диоритового ряда. В многофазных массивах габбро и диориты обычно связаны между собой постепенные переходы. Состоит габбро из моноклинного пироксена, лабрадора и обыкновенной роговой обманки. Аксессорные минералы: апатит, ильменит, магнетит, сфеин; вторичные — актинолит, хлорит, серпентит, соссюрит. Химические составы некоторых пород приведены в табл. 12.

Контактовые изменения, связанные с этими интрузиями, проявлены слабо: в зоне шириной 50—80 м наблюдаются роговики и новообразования биотита, хлорита и актинолита.

*Гранодиориты, монцонит-гранодиориты (УбК<sub>2</sub>)* во многих массивах резко преобладают (массивы Самурский, Синегорский, Арагат).

Часто

Название породы Место взятия пробы (массивы)	SiO <sub>2</sub>	TiO <sub>2</sub>	Al <sub>2</sub> O <sub>3</sub>	Fe <sub>2</sub> O <sub>3</sub>	FeO	MnO	MgO	CaO	Na <sub>2</sub> O	K <sub>2</sub> O	P <sub>2</sub> O <sub>5</sub>	H <sub>2</sub> O	ППП	Сумма
Габбро (Березовский)	49,16	1,00	17,63	2,54	8,66	0,11	7,05	9,38	2,52	1,15	0,07	—	1,25	100,52
Габброриолит (Арагатский)	55,10	0,95	15,47	4,11	5,81	0,11	4,00	7,43	2,64	3,00	0,38	—	1,29	100,29
Диорит (Даланинск)	58,26	0,96	15,83	2,05	6,20	0,14	4,33	4,71	2,12	3,28	0,08	0,29	3,41	99,66
Кварцевый диорит (Арагатский)	59,74	0,76	14,42	4,75	3,77	0,17	3,71	5,35	3,28	3,27	—	—	1,13	100,33
Гранодиорит горы Сланцевая	69,46	0,30	15,44	0,28	2,50	0,05	1,40	2,15	3,56	3,98	—	0,10	0,67	99,93
Монцонит-гранодиорит (Самурский)	60,55	0,65	17,56	1,50	5,16	0,11	2,10	4,97	2,90	3,99	—	0,20	—	99,69
Граносенинг (Березовский)	65,04	0,53	14,12	2,20	4,20	0,09	1,52	2,24	3,00	6,32	0,09	—	0,42	99,77
Гранит (Ламакешский)	72,43	0,22	13,90	0,64	1,81	0,06	1,21	0,24	3,68	4,57	0,08	1,13	1,42	100,45
Гранит-рудозернистый (Ламакешский)	74,02	0,19	13,86	1,11	1,28	0,06	0,26	0,84	3,55	4,08	—	0,34	0,75	100,34
Диоритовый горнфирнит (Самурский)	59,29	0,79	17,85	1,51	5,77	0,12	2,35	4,90	2,90	3,49	—	0,27	0,50	99,74
Гранит-порfir (басс. р. Бира)	76,49	0,09	12,67	0,69	0,55	0,02	0,25	0,40	3,92	4,69	0,04	0,33	0,13	100,27
Гранит-риолит-порfir (басс. р. Бира)	64,67	0,67	15,82	2,49	2,62	0,06	2,18	4,00	3,38	3,25	—	0,34	0,21	99,69

Приложение. Анализы приведены по данным: 1, 2, 7—В. А. Гуревич, А. И. Тимошин (1955 г.); 6, 10—З. В. Сидоренко (1952 г.); 11—12—Е. Е. Быковская (1953 г.).

они связаны постепенными переходами с диоритами, диорит-монацитами и гранитами. Иногда, особенно в Восточно-Сихотэалинской зоне, они образуют самостоятельные массивы.

Гранодиориты обычно среднезернистые, иногда слабо порфировидные, сложены зональным плагиоклазом № 22—48 (40—45%), кварцем (15—25%), ортоклазом или перешеянным микроклином (15—20%), биотитом (3—10%), обыкновенной роговой обманкой (2—8%). Аксессорные минералы: циркон, апатит, магнетит, рутил, турмалин, галенит, циртолит, ортит; вторичные — актинолит, альбит, серпентит, эпидот, соссюрит, хлорит, лейкоксен. В некоторых массивах Самурской и Центрально-Сихотэалинской зон встречаются монцонит-гранодиориты, отличающиеся от гранодиоритов присутствием более основного (до № 55) слабо зонального плагиоклаза и повышенным содержанием калиевого полевого шпата (до 30—35%), в результате чего на фоне преобладающей гипидоморфно-зернистой структуры местами наблюдается типично монцонитовая. Описываемые интрузии сопровождаются дайками гранодиорит-порфиров мощностью до 25—50 м и длиной до 1,5 км.

*Граниты* (УбК<sub>2</sub>), разнообразные по составу (биотит-амфиболовые, биотитовые, аляскитовые) и текстурами и структурами признакам (средне-мелко-и крупнозернистые, порфировидные, пегматоидные, аplitовидные), участвуют в строении многих массивов (Самурский, Арагатский, Марьяновский, Синегорский и др.). Они слагают пелюком весь массив или отдельные его участки. Очень часто между ними и гранодиоритами существуют постепенные переходы. Наиболее ранними являются порфировидные и биотитовые граниты, более поздними — крупно-и мелкозернистые биотитовые граниты, слабо поздними — граниты-амфиболовые и биотитовые граниты, обычно неравномернозернистые, с выделениями калиевого полевого шпата раз- и данные пересчета их на характеристики А. Н. Заварикого

	a	c	b	s	a'	f'	m'	c'	n	φ	t	Q	a/c
	7,3	8,5	26,0	38,0	—	41,3	47,0	11,7	76	63	0,9	6,9	0,9
	10,4	5,2	20,0	64,4	—	46,4	34,3	19,3	57	12,0	0,8	2,8	2,0
	9,8	6,0	16,1	68,1	2,2	50,2	47,6	—	50	6,2	0,9	10,6	1,6
	11,8	3,6	16,6	68,0	—	45,9	37,3	16,8	61	23,9	1,3	8,8	3,3
	13,5	2,5	6,6	74,4	24,4	39,9	35,7	—	58	4,3	0,4	25,3	5,4
	12,5	5,9	10,4	71,2	—	61,5	35,1	3,4	53	12,2	0,9	11,5	2,1
	15,5	1,6	9,4	73,5	—	62,2	26,4	11,4	42	3,9	0,5	14,4	9,7
	14,5	1,4	3,5	80,6	23,0	65,4	11,6	—	55	5,1	0,2	30,8	10,4
	13,2	1,0	5,2	80,6	50,6	41,8	7,6	—	56	18,2	0,1	33,9	13,2
	11,8	6,1	11,8	70,3	5,4	59,6	35,0	—	56	10,8	1,0	10,9	1,9
	14,7	4,6	2,1	78,6	31,4	49,7	18,9	—	56	10,1	0,1	25,3	3,2
	12,2	4,5	8,8	74,5	—	53,5	42,6	3,9	61	14,3	0,8	11,3	2,7

Таблица 12

мером до 1 см, состоят из слабо зонального плагиоклаза № 22—25 (35—40%), калиевого полевого шпата (25—30%), кварца (25—30%), биотита (5—6%) и обыкновенной роговой обманки (до 5%). Аксессорные минералы: орцит, циркон, турмалин, апатит, рутил, ильменит, ксеноит, редко брукит, фергосонит; вторичные — хлорит, альбит, серпентин, эпидот, кварц. Структуры пород — гипидиоморфозернистая, аллотриоморфно-зернистая, участками микролегматитовая. Биотит-амфиболовые граниты встречаются также в виде даек, как правило, прихотливой формы и небольших размеров.

Крупнозернистые биотитовые граниты иногда слабо порфировидны, состоят они из кварца (30—40%), ортоклаза или нерешетчатого моноклина (35—40%), олигоклаза № 19—28 (20—25%) и биотита (3—5%). Аксессорные минералы: циркон, апатит, рутил, ильменит, ксенит, флюорит, пирит, очень редко вольфрамит, молибденит, галенит, брукит, фергосонит, торит. Даики, связанные с интрузиями гранитов, представлены гранит-порфирами.

*Диоритовые порфириты* ( $\delta\text{K}_2$ ) слагают небольшие (до 30  $\text{km}^2$ ) массивы изометричной или удлиненной формы и многочисленные даики мощностью до 150—200 м и длиной до 2—3 км.

Диоритовые порфириты обладают порфировой структурой. Порфировые выделения (20—45% объема пород) представлены зональным плагиоклазом № 40—58; роговой обманкой, реже моноклинным пироксеном и биотитом. Основная масса сложена гипидиоморфозернистым агрегатом плагиоклаза № 35—45, роговой обманки, реже моноклинного пироксена и кварца. Аксессорные минералы: апатит, ильменит, сフェн, редко циркон, вторичные — актинолит, альбит, серпентин, соссюрит, лейкоксит.

*Дайковые породы* весьма разнообразны по составу. Они могут быть объединены в две группы — кислые (гранит-аплиты, гранит-порфириты, гранодиорит-порфириты, кварцевые порфириты и лампрофириты) и основные (диабазы, различные порфириты и лампрофириты). Дайковые породы кислого состава мало чем отличаются от соответствующих глубинных пород, за исключением структурных особенностей. Даики же диабазовых спессартитов, более поздние по времени их образования, обладают некоторым своеобразием.

Лиабазы и диабазовые порфириты, как правило, очень мелкозернистые, массивные и плотные породы, почти всегда обладающие склерупопластичностью. Они состоят из бесспорядочно расположенных лейст плагиоклаза № 45—80, промежутки между которыми заполнены агрегатом хлорита, альбита, апатита и ильменита. Очень редко и в небольших количествах встречаются кварц, биотит, бурая роговая обманка и калиевый полевой шпат. Аксессорные минералы: рутил, апатит, сфеен, пирит, пирротин, вторичные — альбит, хлорит, ильдингит, серпентин, лейкоксен. Редкие порфировые выделения представлены зональным плагиоклазом, бурой роговой обманкой, агвигтом.

Спессартиты — мелкозернистые очень плотные породы, состоящие из плагиоклаза № 45—60, иногда интенсивно альбитизированного, и буроватой обыкновенной роговой обманки. В некоторых разностях присутствуют моноклинный пироксен, кварц и биотит. Аксессорные минералы: рутил, апатит, сфеен, пирит, редко брукит и циркон; вторичные — альбит, хлорит. Структура пород пантиломорфозернистая.

Контактовые изменения вмещающих пород, особенно около гранитоидных интрузий, проявлены весьма разнообразно. Интрузии пироксенитов и диоритовых порфиритов вызывают слабую перекристаллизацию пород с новообразованиями хлорита, биотита и актинолита на расстоянии, не превышающем первых десятков метров. Приконтактовые ореолы вокруг гранитоидных интрузивов достигают 2—3 км в ширину, нередко значительно превышая размеры самих интрузий. При этом пе-

чано-глинистые породы изменяются слабее, чем метаморфические слани или вулканогенные образования. В Восточно-Сихотэалинской зоне выявлено несколько ореолов контакто-измененных пород, связанных с воздействием еще не вскрытых эрозией интрузий.

Песчано-глинистые породы в приконтактовых зонах преобразуются в агрегат, состоящий в основном из кварца и биотита и небольших количеств калиевого полевого шпата, плагиоклаза, серпентина и турмалина.

Известняки, перекристаллизованные, переходя в мраморы, а на отдельных участках преобразуются в пироксен-гранатовые, гранатовые, пироксен-скаполитовые, эпиготовые и другие скарпы. Около Марьяновского массива известковистые песчаники превращены в эпилот-актинолитовые и эпилот-актинолитовые скарпы на расстоянии 1,5—2,0 км от контакта. Более редко встречаются биотит-ставролит-андезитовые, биотит-скаполит-кордиеритовые и хиастолит-биотит-кальцевые роловики.

С позднемеловыми гранитоидами связаны такие полезные ископаемые как олово, вольфрам, молибден и, вероятно, золото.

## Раннепалеогеновые интрузивные образования

*Раннепалеогеновые интрузии* распространены только в Восточно-Сихотэалинской и Центрально-Сихотэалинской зонах. По составу среди них выделяются граниты ( $\gamma\text{P}$ ), гранит-порфириты ( $\gamma\text{tp}\text{P}$ ), гранодиориты ( $\delta\text{tp}\text{P}$ ), гранодиорит-порфириты ( $\delta\text{tp}\text{P}$ ), диоритовые порфириты ( $\delta\text{tp}\text{P}$ ).

Формирование этих интрузий происходило в условиях дифференцированных движений блоков по разломам разной глубины заполнения интенсивной вулканической деятельности. Среди интрузий преобладают трещинные приповерхностные тела, представленные штоками с крутыми и несогласными kontaktами, часто вытянутые по простиранию и прихотливой форме. Реже встречаются тела овало-вытянутой и прихотливой формы.

Интузии прорывают и метаморфизуют ольгинскую (сеног-дат) и кузнецковскую (ранний палеоген) свиты.

Граниты и гранит-порфириты — породы порфирового или порфировидного облика со средней или мелкозернистой основной массой. Порфировые выделения представлены альбитом и альбит-олигоклазом, калиевым полевым шпатом и редкими зернами кварца. Количество их не превышает 20—25% объема горды. Основная масса сложена гипидиоморфозернистым агрегатом кварца, плагиоклаза, калиевого полевого шпата и биотита. Аксессорные минералы: магнетит, циркон, апатит. В краевых зонах массивов возникают породы типа кварцевых порфиритов и фельзитов. Зона закалки всегда очень отчетлива.

Гранодиориты и гранодиорит-порфириты имеют микропорфитовую структуру, на отдельных участках гипидиоморфозернистую и монилитовую. Порфировые выделения представлены плагиоклазом, амфиболом и биотитом, реже кварцем. Основная масса пород состоит из кварца, полевых шпатов и небольшого количества биотита, роговой обманки, ромбического пироксена. Аксессорные минералы: апатит, циркон, магнетит, сфеен.

Диоритовые порфириты слагают несколько массивов площадью 12—15  $\text{km}^2$  и ряд даек мощностью до 50 м, при длине до 1—5 км (между реке Уссури и Арсеньевка в районе г. Арсеньев). В них порфировые выделения (40—70% объема породы) представлены плагиоклазом № 40—50, зеленой роговой обманкой и, изредка, агвигтом и биотитом. Основная масса сложена беспорядочно расположенным табликами плагиоклаза, иногда заметно альбитизированного, промежутки между которыми заполнены вторичными минералами и редкими зернами обыкновенной роговой обманки и агвигта. В некоторых случаях в небольших количествах наблюдается кварц, биотит, калиевый полевой шпат.

**Аксессорные минералы:** рутил, апатит, магнетит, сфен, вторичные — хлорит, серцинит, эпидот, лейкоксен, карбонат.

Большинство интрузий, особенно кислого состава, создают ореолы контактового метаморфизма шириной до 5—7 км, нередко значительно превышающие размеры самих интрузий. Кроме ороговикований в пределах контактовых ореолов широко развиты процессы биотитизации, турмалинизации, окварцевания и хлоритизации. Кроме ореолов, явно вызванных интрузиями в Восточно-Сихотэ-Алинской зоне, обнаружено несколько ореолов метаморфизма, связанных с воздействием эзоконтактовым зонам. Представлены они гранит-и фельзит-порфирями, гранодиорит-порфирями и диоритовыми порфиритами. Состав даек аналогичен составу пород, слагающих массивы. С палеогенным угловым магматизмом генетически связаны месторождения олова, свинца, цинка и индия, а также ртутное оруденение. В пределах рудных полей известны как дорудные дайки, так и дайки, синхронные оруденению.

## Неогеновые суббулканические образования

**Неогеновые суббулканические интрузии (ВН)** — на рассматриваемой территории известны в Ханкайской и Бикинской зонах. Г. М. Гапеева [15] выделяет среди них мелкие изометрические или слабо удлиненные экструзии, трубы взрыва размером от нескольких метров до 200—450 м в поперечнике и малоштольные дайки. Все они в той или иной степени связаны с разломами. Большинство экструзий и даек шелочных базальтоидов сконцентрировано между г. Лесозаводском и ст. Святого. Кроме того, силы трахибазальтов обнаружены Ю. М. Логиновым в 1953 г. в окрестностях с. Игнатьевка.

В настоящее время между городами Лесозаводск и Спасек-Дальний известно около двадцати изолированных выходов шелочных базальтоидов. Подавляющее число их залегает в кристаллических породах протерозоя, некоторые (истоки р. Спасовка) — в породах триаса, другие (окрестности пос. Кировский) — в плюсновых галечниках. По минеральному составу среди этих образований установлены лейцитовые, нефелиновые и полевошпатовые базальтоиды. В зависимости от количественных соотношений минералов здесь имеются лимбургиты, лейцито-

вые анкаратриты, пикриты и пикритовые порфиры, анкаратрит-пикриты, нефелиновые базаниты, нефелиновые базальты, трахиолиты и эсекст-долериты.

Лимбургиты слагают ряд мелких выходов в окрестностях пос. Кировский и ст. Шмаковка, а также в виде обломков присутствуют в составе эзултивных брекчий щелочных базальтоидов. Это породы агракитового или брекчевого облика, нередко пористые, гипокристаллической структуры. Основная масса породы состоит из почти черного стекла, в котором заключены микролиты титан-авгита и оливина, а также ксенокристаллы и сростки ксенокристаллов оливина, моноклинного и ромбического пироксена, а также ксенокристаллы шпинели.

Лейцитовые анкаратриты установлены в одном выходе в Лесозаводске, где они являются главной составной частью агломерата, заполняющего трубоу взрыва. Они имеют тонкозернистую гипокристаллическую массу, в которой рассеяны мелкие зерна титан-авгита, лейкита, рудного минерала и единичные микролиты плагиоклаза. В тонкозернистой массе встречаются ксенокристаллы темноокрашенного амфибала и биотита, а также ксенокристаллы оливина, моноклинного ромбического пироксена, шпинели.

Пикриты и пикритовые порфиры встречаются в виде обломков в эзултивных брекчиях, выполняющих трубы взрыва. В районе Лесозаводска они заполняют тонкие (толщина 3—80 см) трещины в протерозойских гнейсах. В последнем случае они состоят из перемежающихся участков различно раскаристаллизованных базальтоидов, содержащих обильные сростки кристаллов оливина, хромдиопсида, энстатита и шпинели. Структура псевдолорифровая. Основная масса породы состоит из мелтайших илиоморфных микролитов титан-авгита, нередко образующего сростки, и вулканического стекла. В ней равномерно рассеяна вкрашенность акессорного рудного минерала, немногочисленные мицрокристаллы оливина, тончайшие микролиты плагиоклаза, апатита и редкие зерна анальцима.

Анкаратит-пикриты образуют самостоятельные выходы (г. Медведевка), но главным образом развиты в виде обособленный в других районах, некоторые (истоки р. Спасовка) — в породах триаса, другие (окрестности пос. Кировский) — в плюсновых галечниках. По минеральному составу среди этих образований установлены лейцитовые, нефелиновые и полевошпатовые базальтоиды. В зависимости от количественных соотношений минералов, здесь имеются лимбургиты, пикриты и гипертензиты, а также ксенокристаллы оливина, рудного минерала, апатита, анальцима и гипертензиты гидрослюд.

Таблица 13

Химические составы неогеновых суббулканических образований (по Г. М. Гапеевой [15])

Название породы и местонахождение	SiO <sub>2</sub>	TiO <sub>2</sub>	Al <sub>2</sub> O <sub>3</sub>	Fe <sub>2</sub> O <sub>3</sub>	Fe-O	MnO
Кимберлитоподобный пикрит (г. Лесозаводск)	39,65	2,83	16,70	11,80	2,96	0,16
Анкаратит (гора Медведь)	39,98	1,41	14,29	4,78	8,20	0,11
Анкаратит — пикрит (с. Кирзовское)	39,20	2,05	9,80	7,15	8,00	0,17
Анкаратит (там же)	40,64	2,71	13,13	6,20	7,86	0,23
Лимбургит (там же)	40,48	2,79	12,19	6,98	7,14	0,19
То же	43,08	2,30	13,61	5,56	6,43	0,14
Лимбургит анкаратит (г. Лесозаводск)	45,38	2,38	15,38	3,76	7,61	0,16
Нефелиновый базальт (с. Кирзовское)	40,76	2,06	17,28	7,27	4,94	0,75
Трахиолергит (там же)	42,49	2,16	13,80	2,86	9,47	—
Эсекит — долерит (там же)	44,84	2,89	20,32	0,60	7,63	0,10

	MgO	CaO	Na <sub>2</sub> O	K <sub>2</sub> O	P <sub>2</sub> O <sub>5</sub>	CO <sub>2</sub>	H <sub>2</sub> O	ППП	Сумма
Кимберлитоподобный пикрит (г. Лесозаводск)	7,41	3,21	0,42	—	0,40	—	—	8,75	7,14
Анкаратит — пикрит (с. Кирзовское)	14,11	10,92	1,40	2,80	—	—	—	2,08	100,43
Анкаратит (там же)	14,56	10,00	2,65	0,80	1,20	0,50	1,76	2,56	100,40
Лимбургит (там же)	11,53	10,28	3,30	0,91	0,92	0,52	0,67	1,36	100,31
То же	8,83	11,44	4,12	0,88	1,10	0,56	1,50	1,47	99,67
Лимбургит анкаратит (г. Лесозаводск)	12,50	9,14	3,70	0,85	0,59	0,53	1,12	0,67	100,22
Нефелиновый базальт (с. Кирзовское)	5,37	7,71	4,98	1,58	0,80	—	1,70	3,29	100,10
Трахиолергит (там же)	9,42	10,48	4,64	1,63	—	—	—	1,78	100,41
Эсекит — долерит (там же)	13,85	9,60	1,58	2,14	—	—	—	2,45	100,40
Эсекит — долерит (там же)	4,07	9,09	3,80	3,57	—	—	2,60	—	99,51

Анкаратриты встречаются совместно с анкаратит-пикритами и нефелиновыми базальтами и связаны с ними постепенными переходами.

Нефелиновые базальты известны у ст. Святого, в верховых р. Кунешовка и в лавах Дальнереченского вулкана и всегда связаны постепенными переходами с анкаратитами и трахиолеритами. Они содержат многочисленные мелкие ксенокристаллы оливина и его сростки с моноклинным и ромбическим пироксеном. Состоит породы из микролитов титан-авгита и нефелина и небольшого количества микропенинита, сростков оливина, рудного минерала, анальдима и гидрослюд. Структура — поликристаллическая панидиоморфная.

Трахиолериты образуют ряд изолированных выходов в басс. р. Уссури и встречаются в виде обособленной среди анкаратитов и нефелиновых базальтов. Это поликристаллические породы, внешне похожие на обычные плагиобазальты, состоящие из титан-авгита, плагиоклаза, существенно калиевого полевого шпата, оливина, переменного количества анальдима и акцессорного рудного минерала патита. Структура пород долеритовая. Количество ксенокристаллов оливина около 15% объема породы.

Эсексит-долериты установлены среди выходов щелочных базальтоидов в 4 км севернее пос. Кировский. От трахиолеритов они отличаются отсутствием ксенокристаллов оливина и афиевой долеритовой структурой.

Химические составы некоторых разновидностей щелочных базальтоидов приведены в табл. 13. По составу породы близки к богатым калием щелочным базальтоидам С. Манчукурии, описанным А. Н. Завариковым в 1936 г. под названием шихулиотов. Г. М. Гапеева [15] считает, что щелочные базальтоиды верхнего течения р. Уссури могут быть выделены в особую серию.

## Некоторые особенности интрузивных и субвуликанических образований

В пределах описанной территории выделено с некоторой долей условности несколько возрастных групп интрузивных и субвуликанических образований (протерозойские, раннепалеозойские, силурийские (?), среднепалеозойские, пермские, юрские, позднемеловые, раннепалеогеновые, неогеновые). Характер проявления и состав этих образований, формировавшихся в разное время, заметно различаются.

Протерозойские интрузивные образования распространены незначительно и присутствуют в основном в пределах Ханкайской зоны среди протерозойских стратифицированных толщ. Представлены они амфиболитами, габро-норитами и разнообразными гранитами и пегматитами. Характер застывания тел основных пород свидетельствует о формировании их в геосинклинальных условиях, что дает возможность их к спилит-диабазовой формации по Ю. А. Кузнецовой (1963 г.). Более кислые породы образовались, вероятно, в результате процессов ультрамагматизма, хотя для некоторых из них (алекситы, пегматиты) не исключено и магматогенное происхождение.

С большей частью протерозойских интрузивных образований пока не связаны сколько-нибудь значительные проявления полезных ископаемых. Наиболее интерес представляют только аляскитовые и пегматоидные границы и пегматиты, с которыми в северной и западной частях Ханкайской зоны связаны многочисленные проявления редкоземельной минерализации, мусковита и керамического сырья.

Раннепалеозойские интрузии известны только в южных частях Буринской и Ханкайской зон. Ультраосновные и бентонитовые породы формировались, видимо, в заключительные этапы геосинклинального развития позднепротерозойско-кембрийской складчатой

области. Разнообразные гибридные (основные и средние) разновидности и многочисленные мелкие интрузии гранитов возникли в инверсионный этап. Характерной чертой раннепалеозойских интрузий явилась ихрудносность. С ультраосновными породами связаны месторождения талька и матлезита, с гранитами — своеобразные слюдисто-флюоритовые месторождения, сопровождающие оловянным, вольфрамовым, молибденовым, цинковым, редкометалльным и редкоземельным оруднением. Большшинство из этих металлов присутствует в сложных комплексных рудах. В пределах Буринской зоны раннепалеозойские граниты распространены значительно шире и слагают крупные массивы. Рудносность их весьма незначительна, что связано, возможно, с их более глубоким эрозионным срезом, а также с иным составом вмещающих пород.

Своеобразной складчатой области, видимо, являются силурийские (?) спилалеозойские образований, развитые на юге консолидированного массива Ханкайской зоны. В той же жесткой структуре в среднем палеозое формировались гранитные интрузивы, в небольшом количестве габбро и кварцевые дюриты, а также многочисленные даики кислого и среднего состава. По форме эти массивы, возможно, являются асимметричными лополитами. Это подтверждается данными геофизики, судя по которым глубина распространения гранитов в центре Гродековского массива не превышает 1,5 км. Замеры элементов залегания первичных плоскостных структур гранитов показывают сравнительно пологие ( $10-40^{\circ}$ ) углы падения и разнобранную их ориентировку.

Более молодые «гродековские» граниты характеризуются более основным плагиоклазом и несколько меньшим количеством калиевого полевого шпата по сравнению со «шмаковскими», преимущественно микроклиновыми гранитами. Такое изменение состава, возможно, связано с процессами развития среднепалеозойской складчатой оболочки и отражает образование магматоводяных разломов в пределах жесткой структуры Ханкайской зоны.

Заключительные этапы развития среднепалеозойской складчатой области нашли отражение в форме и составе пермских интрузивных образований, которые группируются в два, а местами в три комплекса или формации.

В Центрально-Сихотэалинской и восточной части Даубихинской зон

в начальные этапы типично геосинклинального развития происходило внедрение габбро, амфиболизированных габбро и амфиболитов габбро-диабазовой формации; в заключительные этапы — основных и ультраосновных пород габро-перидотитовой формации, с которой связаны проявления никеля, кобальта и платины.

В пределах Даубихинской и Ханкайской зон в это время формируются крупные массивы гранитов и гранодиоритов, в общем согласные с простиранием структур. Несколько более поздние по времени тела трещинного типа биотитовых и биотит-амфиболитовых гранитов, гранодиоритов, плагиогранитов и граносиенитов, развитые преимущественно в западной части территории, тесно связаны с субвуликаническими образованиями и вулканогенным толщами пермского возраста, с которыми они образуют нетривиальный ряд вулканогенно-интрузивных формаций. Весьма своеобразны субшелочные, так называемые «троидики» граниты, расположенные по восточной окраине Ханкайской зоны в непосредственной близости от Центрального шва.

С кислыми интрузиями пермского возраста связаны золото, олово, серебро, вольфрам, свинец и цинк. Юрские интрузивные и субвуликанические образования, представляемые ультраосновными, ультрапелеточными и щелочными породами,

практически не имеют аналогов, описанных в литературе по Дальнему Востоку. Они известны только в пределах Центрально-Сихотэалинской зоны, где их формирование происходило в условиях, близких к пластоформенным. В отличие от большинства массивов, формирующихся в жестких консолидированных структурах и имеющих значительные размеры и четко выраженное зональное строение, юрские интрузии характеризуются обычно малыми размерами и приурочены к крупным разрывным нарушениям.

Интрузии пространственно и, видимо, генетически связаны со щелочными эфузивами пограничной свиты юрского возраста и могут быть отнесены к ультраосновной — щелочной формации, формирующейся в тектонизации заметно консолидированных складчатых областей за счет разломов глубокого заложения. С юрским интрузивным магматизмом связаны проявления вермикулита, фосфора, редкоземельной минерализации.

Позднемеловые гранитоиды формировались в условиях стабилизации мезозойско-кайнозойской складчатой области и активизации окружающих ее консолидированных структур. Выделяемые некоторыми исследователями разновременные, но близкие по возрасту интрузивные серии (татибинская, хунгарицкая, бачеласская, приморская), различаются в основном типами, размерами и глубиной формирования магматических тел. При этом отчетливо намечается «омолаживание» интрузивных комплексов с З на В.

В пределах Самурской, западной части Ханкайской и Даубихинской зон крупные трелиевые интрузии среднего и кислого состава сравнительно слабо дифференцированы, обычно они молоденны. В Центрально-Сихотэалинской зоне породы, обычно они согласны со структурами вмещающих пород, глубина формирования интрузий несколько меньше, фазовые соотношения внутри отдельных массивов выражены более четко. В Восточно-Сихотэалинской зоне массивы обычно согласные, реже трелиевого типа; глубина их формирования малая, фазовые соотношения внутри массивов четкие.

В соответствии с различиями в составе, типе и строении интрузивных тел, развитых в различных структурных зонах, намечаются различия и в их металлогенности. С позднемеловыми интрузивами в Самурской зоне связано золото; с гранитоидами Ханкайской, Центрально-Сихотэалинской и Даубихинской зон — олово, вольфрам и, иногда — золото, свинец и цинк, с интрузиями Восточно-Сихотэалинской зоны — олово, свинец и цинк низкотемпературного типа.

Весьма характерна связь позднемеловых интрузий со средними и кислыми эфузивами.

Раннепалеогеновые интрузии в Восточно-Сихотэалинской зоне и в активизированной части Центрально-Сихотэалинской зоны представлены породами гранодиоритового ряда, с переходами как к более кислым, так и к более основным разностям. Это преимущественно послескладчатые трелиевые тела, имеющие большое петрологическое и петрохимическое сходство с палеогеновыми вулканогенными образами. С поздними фазами этих интрузий связаны поверхностные и пограничные супраконтактовые образования, развитые только в западной части Ханкайской зоны, приурочены обычно к крупным разрывам и слагают разнообразные вулканические центры и дайки. Некоторые особенности пород сближают их со щелочно-базальтовой формацией.

## ТЕКТОНИКА

Тектоническое строение и история развития региона освещена во многих работах [5, 6, 17, 18, 21, 25, 26, 29, 40]. Рассматриваемая территория является частью Тихоокеанского подвижного пояса. На этой территории выделяют Буреинский и Ханкайский массивы, в строении которых участвуют протерозойско-раннепалеозойский структурный комплекс и Сихотэ-Алинскую складчатую систему, созданную средне-позднепалеозойским и позднегеалеозойско-мезозойским структурными комплексами. На них были наложены палеозойский, мезозойский и буреинский процессы активизации (рис. 2). В строении Ханкайского и Буреинского массивов различают несколько структурных этажей. Нижний этаж обрамлен гнейсами, метаморфическими сланцами и мраморами нижнего протерозоя (ружинская, матвеевская и туловчинская свиты) и среднего протерозоя (нахимовская, татьяновская и тургешевская свиты). Сюда же входят доворхнепротерозойские основные эфузивы и габброиды. Мощность свит, слагающих этаж, достигает 10 км. Средний структурный этаж отделен от предыдущего угловым несогласием. В Ханкайском массиве этот этаж обильно пересекается он представлена спасскую, митрофановскую, лысогорскую и кабаринскую свиты, а также нижнекембрийские прохоровскую и дмитриевскую свиты общей мощностью около 5 км. В Буреинском массиве он представлен солененской, литурской, иринчинской и мурандравской свитами верхнего протерозоя и лондоковской и рудоносной свитами нижнего кембра суммарной мощностью 12–13 км.

Верхний структурный этаж в Буреинском массиве отсутствует, а в Ханкайском — сложен средне- и, возможно, верхнекембрийскими молассовыми толщами общей мощностью 3–4 км. От нижележащего этажа он отделен стратиграфическим и местами структурным несогласием. Каждый массив представляет собой обособленную крупную тектоническую структуру, геологическая позиция которой еще недостаточно определена. В литературе принято их называть массивами и есть основания (особенно для Ханкайского, с В и с З обрамленного позднесрединные).

Для данных массивов характерны как купольные, так и линейно-складчатые структуры. Первые достаточно отчетливо проявлены в Ханкайском массиве. Наиболее крупные купола — Вакский, Шмаковский и Нахимовский — имеют в поперечнике от 15–20 до 80–100 км. Ядро Вакского купола сложено нижнепротерозойскими, а периферические части — средне-, верхнепротерозойскими и нижнекембрийскими образованиями. В центре купола преобладают брахиформные складки различной ориентировки, сменяющиеся к краям линейными. В Вакском куполе выделены брахиформные Матвеевская, Филинская и Филаретовская антиклинали, а также Невская и Ильмовская синклинали. Преобладающее направление этих складок — широтное. Ширина их 15–20 км, длина до 30 км. Складки асимметрические: северные крылья обычно наклонены под углами 20–60°, южные — до 80°. Крылья скла-

док осложнены структурами более мелкого порядка, вплоть до дисгармоничных складок и плющчатости. В ядре Нахимовского купола широкоразвиты складки течения и волочения.

Между этими куполами располагаются крупные структуры, полутившие наименование Кабаргинского и Черниговского синклиниориев [18, с. 516]. В пределах Кабаргинского синклиниория выделяются Орловская и Тамгинская синклинали и Кабаргинская антиклиналь. Складки здесь имеют широкое простирание. Они отчетливо брахиформны. Длина наиболее крупной Орловской синклинали 35 км, ширина 20 км. Углы падения крыльев обычно  $30-65^\circ$ , но вблизи разломов иногда пласти вертикальны (рудоносная свита на Таловской соп-

чилие наименование Кабаргинского и Черниговского синклиниориев [18, с. 516]. В пределах Кабаргинского синклиниория выделяются Орловская и Тамгинская синклинали и Кабаргинская антиклиналь.

Складки здесь имеют широкое простирание. Они отчетливо брахи-

формны. Длина наиболее крупной Орловской синклинали 35 км, ширина 20 км. Углы падения крыльев обычно  $30-65^\circ$ , но вблизи разломов иногда пласти вертикальны (рудоносная свита на Таловской соп-

чилие наименование Кабаргинского и Черниговского синклиниориев [18, с. 516]. В пределах Кабаргинского синклиниория выделяются Орловская и Тамгинская синклинали и Кабаргинская антиклиналь. Складки здесь имеют широкое простирание. Они отчетливо брахиформны. Длина наиболее крупной Орловской синклинали 35 км, ширина 20 км. Углы падения крыльев обычно  $30-65^\circ$ , но вблизи разломов иногда пласти вертикальны (рудоносная свита на Таловской соп-

чилие наименование Кабаргинского и Черниговского синклиниориев [18, с. 516]. В пределах Кабаргинского синклиниория выделяются Орловская и Тамгинская синклинали и Кабаргинская антиклиналь.

Складки здесь имеют широкое простирание. Они отчетливо брахи-

формны. Длина наиболее крупной Орловской синклинали 35 км, ширина 20 км. Углы падения крыльев обычно  $30-65^\circ$ , но вблизи разломов иногда пласти вертикальны (рудоносная свита на Таловской соп-

чилие наименование Кабаргинского и Черниговского синклиниориев [18, с. 516]. В пределах Кабаргинского синклиниория выделяются Орловская и Тамгинская синклинали и Кабаргинская антиклиналь.

Складки здесь имеют широкое простирание. Они отчетливо брахи-

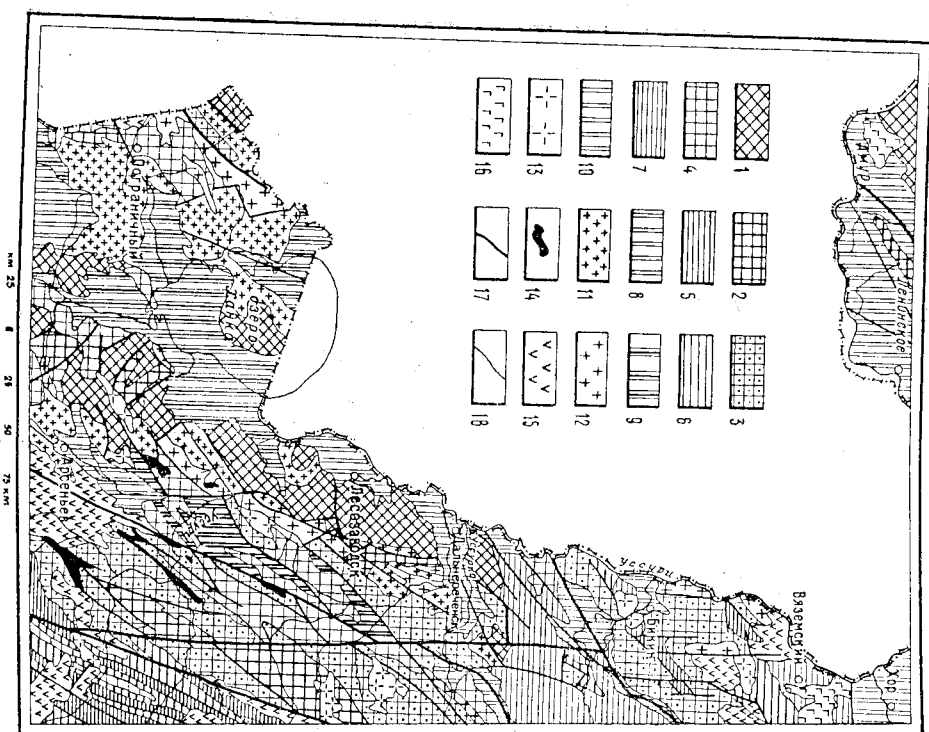


Рис. 2. Тектоническая схема территории листа I-(52), (53). Составил

Р. И. Соколов.

1 — протерозойско-раннепалеозойский складчатый комплекс; 2—4 — нижний этаж; 5—7 — средний этаж; 8—10 — верхний этаж; 11—13 — позднепалеозойский комплекс; 14 — кайнозойский; 15 — кайнозойские гранитогнейсовые породы; 16 — средне-позднепалеозойский; 17 — пермские; 18 — мезозойские фундаментальные массивы; 19 — кайнозойские эфузивы; 20 — палеогенные разломы; 21 — пропущенные разломы.

рийскими, девонскими, каменноугольными и пермскими образованиями. Он участвует в строении пяти структурно-фашиальных зон — Центрально-Сихотэалинской, Самурской, Гродековской, Куканской и Даубихинской. Три первых трактуются как антиклинали, а остальные, т. е. Куканская и Даубихинская, представляют собой краевые прогибы. В складчатых структурах этого комплекса выделяется три структурных этажа. Нижний этаж в Куканском прогибе сложен среднедевонской глинисто-сланцевой и полимиктовой формациями, а в Даубихинском (Арсеньевском) — глинисто-сланцевой, андезито-липаратовой и вулканогенно-осадочной формациями среднего девона II, возможно, силура. В Центрально-Сихотэалинском и Гродековском антиклиналях этот этаж представлен кремнисто-сланцевой и спилито-диабазовой формацией (сланец — девон?). Средний структурный этаж образован геосинклинальными каменноугольными и пермскими толщами. В Самурском (Стрельниковском) антиклинали эти толщи сложены кремнистыми и ультраосновными породами, а в Даубихинском (Арсеньевском) прогибе — пижнепермской андезито-липаратовой формацией с подчиненным значением терригенност и карбонатной. Верхний этаж в Центрально-Сихотэалинском антиклинальном сложен верхнепермскими терригеническими и флишевыми формациями, характерными для инверсионной стадии разницы, в Даубихинском (Арсеньевском) прогибе — липарито-андезитовой, терригенной, полимиктовой (сероизвестковой) формацией, включающей интрузии габбро-лейкоранитовой формации.

Позднепалеозойско-мезозойский складчатый комплекс развит в основном на юго-востоке и северо-востоке территории, в Восточно-Сибирской, Баянчурской, Агинской зонах. Нижний структурный этаж этого комплекса представлен геосинклинальными (от конца поздней перми до юры включительно) образованиями, среди которых преобладают глинисто-сланцевая и терригенная полимиктовая формации, отчасти встречаются карбонатно-терригенная (триас) и сплит-диабазовая и андезито-базальтовая формации (юра). Эти образования на отдельных участках сильно дистрофированы и прорваны интрузиями ультраосновных и щелочных пород. Следующий средний структурный этаж соответствует инверсионному этапу развития мезозойской геосинклинали. В краевых частях он четко отделен от нижележащего этажа структурным несогласием и включает в себя образования от баррема, местами, возможно, гортерива, до нижнего альба. В центральных частях Восточно-Сихотэ-Алинского синклиниория граница между нижним и средним этажами из-за сходства разрезов и дистракций проводится условно. Этаж сложен флигелоподвой терригенной полимиктовой формацией. Верхний структурный этаж, отделенный от среднего угловым несогласием, объединяет толщи от верхнего альба до нижнего сенона включительно и соответствует орогенному этапу. Сложен он молассовой и терригенной полимиктовой (сероцветной) формацией.

Складчатые структуры палеозоя и мезозоя, как правило, линейные, преимущественно северо-восточного простирания. В Самурской зоне наиболее крупными являются Самурская антиклиналь и Култухинская синклиналь. Длина складок до 75 км, ширина от 6 до 20 км. Углы падения крыльев от 30 до 80°. Наблюдается опрокидывание складок на СЗ. В Даубихинской зоне протяженность крупных складок — Шетухинской и Кедровской синклиналей и Лесной антиклиналь до 100 км при ширине 6—8 км. Наклон крыльев от 40 до 60°. Между крупными складками расположаются складки меньших размеров (до 30 км при ширине 2—6 км), а также брахиформные складки длиной до 20 км и шириной 8—10 км с падением крыльев 30—60°. В Центрально-Сихотэ-Алинской зоне наиболее крупной является Тудовская коробчатая антиклиналь протяженностью около 100 км, шириной 10—15 км. Складка разорвана меридиональным сдвигом на два блока. В ее ядре слои залегают горизонтально или полого, не более 20°, наклон слоев на крыльях увеличивается до 40°, а на северо-западном крыле до 50—80°. Основная антиклиналь осложнена асимметричными складками шириной до 1 км. Севернее Тудовской антиклинали расположены Ариадинская группа складок протяженностью 30—50 км. Складки узкие, линейные, с преобладающим наклоном осевых плоскостей на СЗ. Падение крыльев — до 30—80°. Более мелкие складки отличаются лишь размерами.

В Восточно-Сихотэ-Алинской зоне выделяются Погская и Тумбай-

динская синклинали и Ямчезкая и Перевальинская антиклинали. Складки линейные прямые или опрокинутые на ЮВ. Длина Погской синклинали более 100 км, остальные складки — 20—30 км при ширине от 4 до 14 км, падение крыльев 50—70°. Характерно развитие линейных складок более мелкого порядка, иногда изоклинальных или опрокинутых на СЗ. Изредка наблюдается лихтомия складок.

В Алчансской зоне наблюдаются только фрагменты структур, получивших наименование Сигланской антиклинали и Сигланской и Зарубинской синклиналей. Складки брахиформные, с пологими склонами и выпуклыми днищами, с углами наклона крыльев обычно до 30°. На территории установлены четыре эпохи активизации, по-разному проявившиеся в различных тектонических структурах.

Среднегеологическая активизация отчетливо установлена только на Ханкайском массиве, в результате здесь формировались только на

дополнительные интрузии шмаковских и грековских гранитоидов, существенно изменившие план ранее существовавших древних структур. Эта активизация связана с западением средне-позднепалеозойской геосинклинали на восточной окраине Ханкайского массива.

Продессы позднепалеозойско-раннемезозойской активизации в Даубихинской зоне выражались в возобновлении седиментации в узком прогибе и в заполнении его морскими карбонатно-терригенными позднепермскими и триасовыми отложениями, а в Алчанской зоне также и угленосными осадками.

Более четко проявилась мезозойская активизация от баррема до туриона включительно. Она связана с инверсионным и орогенным этапами развития позднепалеозойско-мезозойской складчатости и представлена двумя группами формаций. Терригентная полимиктова (сероцветная) и угленосная формации выполняют наложенные впадины на Ханкайском и Буренинском массивах, а альб-сигланская андезит-типогравитовая формация (Алчанская свита) формировалась в Алчанском прогибе. С более поздними этапами активизации, отражающими орогенный этап развития соседней Сихотэ-Алинской складчатой области, связано формирование на поднятиях липаритовой формации и впадин сложного комплекса гранитоидов.

Активизация в палеогене и неогене обусловлена появление нескольких типов формаций. Во внутриторных и приразломных впадинах образуются угленосная, терригенная полимиктова (сероцветная), молассовая и базальтовая формации; на поднятиях — андезит-липаритовая формация (Алчанская свита), слагающая вулканическое плато, образованное неогеновые базальты.

Новейшие движения в известной мере развивались упомянутыми для кристаллических массивов, начавших испытывать с конца мелового погружения. В неогеотонический этап также характерны опускания (в значительной мере компенсированные кайнозойским осадконакоплением).

Для вулканогенных образований, возникших в результате палеозойских, мезозойских и кайнозойских процессов активизации, характерны брахиформные положения складок с углами падения крыльев до 5—10°. Только вблизи нарушенный наклон слоев достигает 30° и более. Мезозойские и кайнозойские вулканогенные толщи, выполняющие впадины, залегают горизонтально или с наклоном в 1—5° в прибрежных частях. Как правило, крутые углы падения характерны для складок наиболее древних впадин. Максимальные глубины впадин различны: 150 м — в Лесозаводской; 300—500 м — в Вяземской, Шмаковской; 750—900 м — в Гоголевской. Наибольшие глубины в 1600—2000 м установлены в Нижне-Бикинской, Хорской и Амуро-Сунгарийской впадинах.

Зоны палеозойских и мезозойских структур характеризуются преимущественно неотектоническими поднятиями. Относительные поднятия часто совпадают с окраинными прогибами (Алчанский прогиб). Правда, нельзя говорить о полной унаследованности неотектонических движений. Для Сихотэ-Алиня в новейший этап тектонического развития характерно разрастание поднятий, сопровождающееся, как подчеркивает П. Н. Кропоткин [25], смещением к В осей максимальных возвышенностей коры.

Роль динамико-текtonических нарушений в обособлении морфоструктур рассматривается трудно переоценить. Почти все крупные горные массивы и внутригорные впадины ограничены разломами, большинство молодых разломов относится к категории долгоживущих, унаследованных от более древних эпох.

Самостоятельными структурами являются глубинные разломы или

шие их на большом протяжении. К ним относятся Сибирь-Аллинский, Даубихинский (Арсеньевский), Западно-Приморский, Алчанский и Куканский. Кроме того, имеется ряд крупных региональных разломов.

Центральный Сихотэ-Аллинский глубинный разлом, разделяющий Центральный Сихотэ-Аллинский антиклиниорий и Восточно-Сихотэ-Аллинский синклиниорий, впервые выделен Н. А. Беляевским и Ю. Я. Громовым [4] и детально изучен Б. А. Ивановым в 1967—1970 гг. По отложению к складчатым структурам он располагается под углом до  $20^\circ$ , но прилегающие к нему с В складки почти параллельны ему. В верхнем течении р. Журавлевка вблизи разлома пермские и меловые толщи образуют серию скатых, круго падающих на юв складок шириной до 2 км и длиной в десятки километров. Глубинный разлом шириной в несколько километров состоит из серии параллельных или сложно разветвляющихся более мелких разломов, сопровождающихся брекчиами, миллионитами и ультрамилонитами. Разломы обычно вертикальны и прямолинейны. В верховьях р. Шумной они плавно изогнуты и наклонены под углами  $50$ — $70^\circ$  к В.

По данным Б. А. Иванова, глубинный разлом имеет сдвиговый характер, причем восточный блок относительно западного смешен на С до 100 км. График аномалий тяжести в редукции Буге по профилю р. Уссури — р. Эзеркальная показывает плавное уменьшение значений гравитационного поля с небольшим прогоном в зоне разлома, а магнитные аномалии вблизи него вытянуты на СВ.

Время заложения разлома Б. А. Иванов относит к юре, Н. А. Беляевский, Ю. Я. Громов [4] и И. И. Берсенев [6] к триасу. Однако анализ геологических данных показывает, что его формирование происходило длительно. Отдельные отрезки разлома возникли в среднем карбоне; в ранней перми к нему было приурочено внедрение ультраосновных пород. В поздней перми, позднем мелу и палеогене по разлому изливались кислые и средние эфузивы и вспыхивались гранитоиды, а в юре — щелочные базальтоиды и щелочные интрузии.

Даубихинский (Арсеньевский) глубинный разлом выделен Н. А. Беляевским [5] и в дальнейшем изучался А. И. Бурдэ, Л. А. Неволинным [9], В. Н. Слантьевым (1965 г.) и др. По нему сочленяются структуры Центрального Сихотэ-Аллинского антиклиниория и Даубихинского (Арсеньевского) прогиба. Разлом хорошо выражен в рельфе и представлен серией сближенных нарушений, вдоль которых наблюдается зона миоптилизации, рассланцевания и дробления шириной до 2 км. Плоскости этих нарушений наклонены преимущественно на юв под углами от  $25$  до  $80^\circ$ . А. И. Бурдэ [9] считает разлом левосторонним взбросо-сдвигом с горизонтальным перемещением до 10 км и вертикальным  $3$ — $4$  км. И. И. Берсенев [18] рассматривает его как надвиг с горизонтальным смещением к СВ на  $20$ — $25$  км. История его развития четко прослеживается с раннего карбона, когда он разрывал Ханкайский массив и область палеозойской геосинклиналии. На длительность существования разлома указывает приуроченность к нему пермского и мелового магматизма и формирование вдоль него палеогеновых и неогеновых впадин.

Западный Сихотэ-Аллинский глубинный разлом, выделенный Н. А. Беляевским в 1955 г., является границей между Даубихинским (Арсеньевским) прогибом и Ханкайским массивом. На значительном протяжении Западный Сихотэ-Аллинский разлом затечен пермскими и меловыми гранитоидами или перекрыт эфузивами. Амплитуда вертикального смещения по разлому колеблется от  $300$  до  $1200$  м. В гравитационном поле он отражен линейно вытянутыми отрицательными аномалиями силы тяжести, приуроченными частично к интрузиям. Время заложения данного разлома определяется серединой ранней перми — пе-

риодом инверсионных движений в палеозойской геосинклиналии. Значительные перемещения по нему происходили и в начале поздней перми, в период формирования Даубихинского (Арсеньевского) прогиба. В межу и в палеогене вдоль разлома образовывались континентальные впадины. Возможно, с активизацией разлома в неогене связанны извержения щелочных вулканических продуктов.

Западно-Приморский глубинный разлом служит западной границей Ханкайского массива. Впервые он установлен Н. А. Беляевским [5]. На местности он представляет собой нарушенный мощностью до  $50$  м и более, наклоненную под углом  $60$ — $80^\circ$  на юв. Местами зона дробления, будинажа и катаракзы залечена дайками гранитов, aplлитов, диоритов и жилами кварца. Вблизи разлома осадочные породы образуют скатые, крутые и опрокинутые складки.

Алчанский глубинный разлом, отделяющий Алчанский прогиб от Самурского антиклиниория, изучен К. М. Худолеем, Б. Я. Чернышом и Ф. Р. Лихтом. На значительном протяжении он перекрыт верхнемеловыми и кайнозойскими отложениями.

Куканский глубинный разлом на рассматриваемой территории также скрыт под мощным чехлом кайнозойских и четвертичных отложений и прослеживается только по геофизическим данным.

Меридиональный разлом, выделенный В. Н. Слантьевым [42], прослежен на 200 км. Ширина зоны бректированных, трещиноватых, раздавленных и милонитизированных город от сотен метров до 3 км, а общая ширина сопряженных разломов в басс. р. Б. Слан, Улитка и Бира достигает  $7$ — $15$  км. Здесь вдоль разлома отдельные блоки перемещены на расстояние до 7 км. Разлом определяется как левосторонний сдвиг с горизонтальным смещением  $35$ — $37$  км. Сдвиговые перемещения происходили в позднемеловую эпоху, после накопления эфузивов и внедрения гранитов. На неогеновые подвижки указывают смещения отложений в Ореховской впадине. В геофизических полях сдвиг не отражается.

Иманский (Дальнереченский) разлом расположжен на севере Ханкайского массива и представлен зоной сближенных разрывов общей шириной до 20 км. Подчеркивается параллельным расположением изо-аномал. Разлом на значительном протяжении скрыт под молодыми отложениями и недостаточно изучен.

Среди более мелких нарушений преобладают северо-восточные и отчасти северо-западные разломы, а широтные и меридиональные имеют подчиненное распространение. Среди разломов доминируют сбросы, взбросы и сбросо-сдвиги. Надвиги установлены только в единичных случаях. Время заложения отдельных разломов определяется с трудом.

Северо-восточные разломы наиболее широко распространены в Даубихинской, Центрально-Сихотэ-Аллинской и Восточно-Сихотэ-Аллинской зонах. Они, как правило, согласны с генеральными направлениями складчатых структур и располагаются на крыльях складок и, реже, в осевых частях. Протяженность разломов — не сколько десятков километров. Они фиксируются зонами брекчирования, рассланцевания и миоптилизации. Некоторые разрывы сопровождаются кварцевыми жилами и дайками aplлитов, фельзитов, гранит-порфиров и диоритовых порфиритов. Ширина зон от нескольких до 200 м. Вертикальные перемещения по разломам до 2 км, горизонтальные — в пределах первых сотен метров. Углы падения смесятелей от  $60^\circ$  до вертикальных. В Даубихинской зоне большинство разрывов в магнитном поле отражаются узкими, протяженными положительными аномалиями. В басс. р. Белая (Буреинская зона) породы сорванской свиты надвинуты на мраморы дитурской свиты по плоскости, падающей под углом  $30$ — $40^\circ$ . Амплитуда перемещения около 1 км. Возраст надвига — поздний протерозой.

Сбросы, сбросо-сдвиги и сдвиги северо-западного направления известны во всех зонах; обычно это — крутые разрывы. Наиболее крупные из них с амплитудой перемещения в 1—1,5 км установлены И. В. Мицкевичем и Е. П. Колесниковым (1963 г.) в районе д. Матвеевка в среднем течении р. Кабарга, где они контролируются зоной брекчий, состоящих из глыб мраморов размером до 1 м, смешанных турмалиновыми гранитами и порфиритами.

В Ханкайской зоне широко развиты надвиги северо-западного простирания. Особенно четко они проявлены в Спасском и Вознесенском районах, где, как правило, располагаются параллельно складчатым структурам. Наиболее крупными являются Спасский, Центральный, Вознесенский и Ярославский надвиги, приуроченные к антиклинальным складкам. Они контролируют зоны милонитизации и дробления шириной до 400 м; иногда имеют сложное чешуйчатое строение (Центральный надвиг). Плоскости надвигов, от плоск горизонтальных до 60°, чаще всего наклонены на ЮЗ. Амплитуда перемещения достигает 3—3,5 км. Возраст надвигов считается допалеозойским.

Широтные и близширотные надвиги также широко распространены в Ханкайском массиве. Они являются наиболее древними. Некоторые из них секут среднепалеозойские «шмаковские» граниты, и хорошие устанавливаются геофизическими методами. Наиболее крупные разрывы этого направления известны в районе с. Матвеевка, в долине р. Кабарга, в районе с. Тургенево, у д. Митрофановка и Мало-Петровка. Плоскости надвигов падают в северных руслах под углами до 35°, перемещения по ним, по данным А. Ф. Крамчанина и Б. Г. Поды (1961 г.), достигают 500 м.

Разрывы в басс. р. Кабарги входят в зону близширотного сдвига, установленного В. Р. Соловьевым при геоморфологическом картировании Сихотэ-Алиня. Зона этого сдвига пересекает Сихотэ-Алинь и уходит на З. южнее г. Лесозаводска. По морфоструктурным элементам амплитуда сдвига составляет 36 км. Аналогичные зоны близширотных нарушений намечаются по широте г. Дальнепреченск и пос. Алчан.

**Меридиональные разрывы в Ханкайском массиве** самые молодые. Наиболее крупным, по данным Ю. Н. Размакина (1964 г.) и Е. Д. Касьяна (1964 г.), является Среднеханкайский, который сопровождается зонами дробления, диафторированными и милонитизированными породами и в гравитационном поле отражаются локальными аномалиями меридионального направления. Разлом является сбросо-сдвигом, по которому восточный блок опущен и передвинут к С на 20—30 км.

Геофизическое поле территории описано Р. Г. Кулиничем [26], а также Ю. М. Антоновым и М. А. Добиным (1959 г.). Гравитационное поле неоднородно. Ханкайский массив характеризуется общим, повышенным по отношению к соседним районам полем силы тяжести с отдельными максимумами и минимумами различной конфигурации, что создает мозаичную структуру. Наиболее обширные поля положительных аномалий расположены на выходах древних кристаллических пород в районах городов Дальнепреченск, Лесозаводск и Спасск-Дальний. Южнее этих пунктов отмечаются поля более или менее изометричной формы, что, возможно, связано с куполовидными структурами [29]. В целом же, особенно на юге, намечается общая северо-восточная ориентировка крупных аномальных полей и постепенное к В понижение значений аномального поля. Эти данные хорошо согласуются с представлениями о возможном присутствии древних городов массива в основании Даубихинской и Центрально-Сихотэалинской зон.

Рассмотрение гравитационного поля Даубихинской зоны показывает, что на участке водораздела рек Малиновка и Б. Уссурка и в Ал-

чанской зоне можно предполагать наличие приподнятых блоков фундамента. Высокие значения силы тяжести на водоразделе рек Малиновка и Б. Уссурка, возможно, связаны с широко распространенными здесь субвулянтическими интрузиями, по-видимому, пермского возраста. По гравиметрическим данным, этот блок отчетливо отделен от соседних разломами.

Гравитационное поле Центрально-Сихотэалинской зоны, особенно в западной части, похоже на поле Даубихинской зоны. Лишь к В на блюдается постепенный переход от положительных значений силы тяжести к отрицательным. Отсутствие четкой линейной ориентировки гравитационных аномалий не увязывается с линейно вытянутыми геологическими структурами. В связи с этим интересны расчеты Р. Г. Кулинича, показавшие, что мощность всех осадочных толщ Центрально-Сихотэалинской зоны, вычисленная по плотности пород, составляет всего 3—5 км, тогда как мощность только палеозойских толщ здесь 13—15 км. На этом основании делается вывод о возможном присутствии

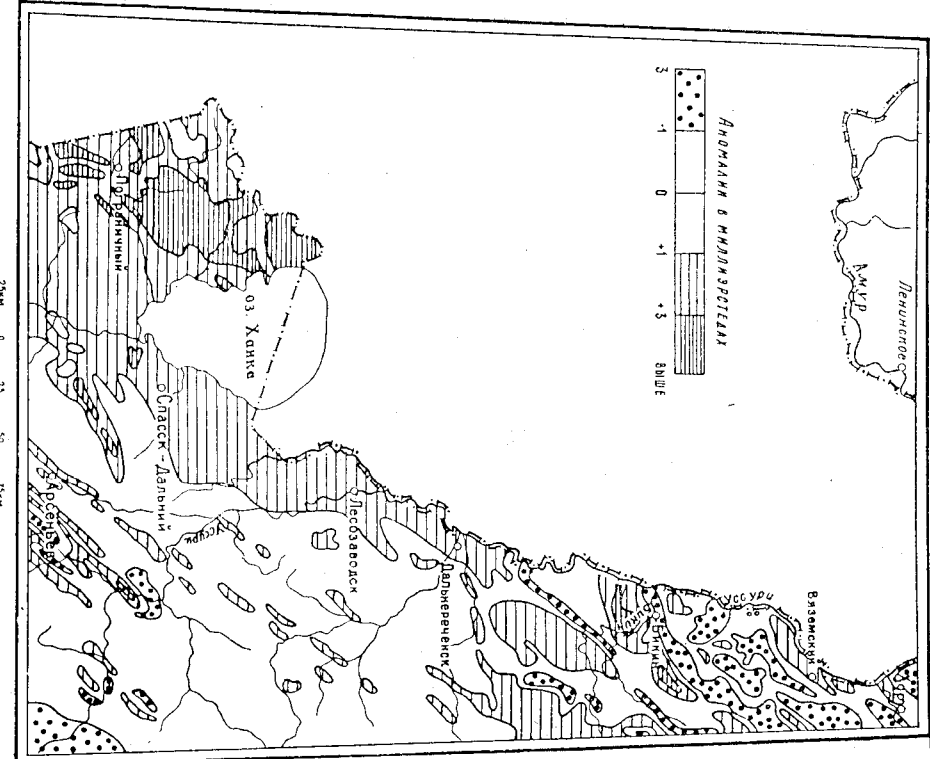


Рис. 3. Схема основных элементов магнитного поля. По материалам Ю. М. Антонова.

в этой зоне пород кристаллического фундамента или о сильном метаморфизме пород палеозоя, начиная с глубины 5 км.

Наиболее интересен в Центрально-Сихотэ-Алинской зоне Наумовский максимум, который характеризуется широтным простиранием и, по мнению Р. Г. Кулинича, близок по характеру к палеозойскому метаморфическому блоку. Близкий по геофизическим характеристикам блок широтного простирания располагается и севернее басс. Р. В. Уссурка.

Предположение Р. Г. Кулинича достаточно хорошо согласуется с геологическими данными, которые позволяют предполагать на этом участке круглый разлом близширотного простирания, влиявший, по крайней мере с середины карбона, на распределение фаций и мощностей.

Вероятно, с круглой структурной линией северо-западного направления, прослеживающейся по гравитационной ступени от устья р. Арсеньевки до зал. Ольги, связаны предполагаемые выступы Метаморфического комплекса между пос. Яковлевка и Кокшаровка. Эта структурная линия также имела большое значение в ходе развития геосинклиналий как в палеозое, так и мезозое.

Гравитационное поле Восточно-Сихотэ-Алинской зоны характеризуется преимущественно отрицательными аномалиями, которые отражают глубину погружения мезозойских, а возможно, и палеозойских толщ.

Региональное магнитное поле относительно простое (рис. 3). Если Ханкайский массив характеризуется в целом положительным магнитным полем, то на востоке намечается постепенное уменьшение значительных магнитных аномалий. Минимальные поля совпадают с областью преимущественного развития мезозойских толщ. Отдельные крупные положительные магнитные аномалии в Ханкайской, Даубихинской и Центрально-Сихотэ-Алинской зонах, как правило, приурочены к выходам ультраосновных и основных интрузий. Крупные разрывные структуры практически не отражаются в магнитном поле.

Мощность земной коры в Ханкайской и Даубихинской зонах и западной части Центрально-Сихотэ-Алинской и примыкающих к ней частях Центрально-Сихотэ-Алинской зоны — 33—38 км. К В мощность, коры сокращается до 25 км.

## ГЕОМОРФОЛОГИЯ

На описываемой территории развиты различные геоморфологические категории, от горных сооружений Сихотэ-Алиня и отрогов Хингана до обширных аккумулятивных равнин межгорных депрессий. Распределение основных геоморфологических элементов контролируется геологическими структурами, которые в значительной мере преопределены особенностями и характером неотектонических движений. Конформации главных морфоструктур определяется в большинстве случаев простиранием древних складчатых структур и зонами разломов. При этом следует отметить, что элементы складчатой структуры отражаются в рельфе значительно меньше, чем разрывные нарушения, которые передко ограничивают неотектонические блоки. Большшинство разломов, отражавшихся в рельфе в виде тектонически предопределенных долин, горных склонов и уступов имеет древнее заложение, но многие из них продолжали активно существовать и в неотектонический этап, что обусловило их хорошую морфологическую выраженность.

С неотектоническим этапом связано также возникновение базальтовых плато и наклонных вулканических равнин, возникших в плюнжевую эпоху усиления вулканизма и тектонических перемещений блоков по разломам.

Базальтовые плато характеризуются слегка наклонную поверхностью, ограниченную крутыми структурно-денудационными склонами. Вулканические равнины так же, как и плато, сложены лавами преимущественно базальтового состава, но располагаются в переходной зоне от предгорий к депрессиям и в пределах самих депрессий, частично перекрывающиеся молодыми четвертичными отложениями.

Древние геологические структуры отражаются в «пассивных» структурно-денудационных категориях рельфа, возникших в результате денудационной претарировки древних складчатых структур, интрузивных тел и вулканических аппаратов.

Ориентировка линейных вытянутых хребтов, гряд и линейных возвышенностей передко контролируется простиранием складчатых структур субстрата. Естественно, что в процессе денудационной претарировки полного соответствия склонов с крыльями складок не возникает. Структурно-денудационные склоны в большинстве случаев под небольшими углами пересекают складчатые формы, фиксируя в то же время простирание последних. Наиболее часто они подчеркивают складки северо-восточного простирания меловых и более древних толщ.

Весьма важную структурно-денудационную категорию представляют рельеф, предопределенный интрузиями. Он возникает благодаря различной стойкости к денудационным процессам интрузивных и контактоизмененных пород. Чередование стойких и относительно ослабленных зон как в самой интрузии, так и во вмещающих ее толщах привело к формированию склонов, параллельных интрузивным контак-

В зависимости от размера интрузии и глубины ее размыва образуются или небольшие возвышенности, или обширные горные массивы. Но во всех случаях склоны этих форм рельефа параллельны интрузивным контактам. Наиболее хорошо дешифрируются в современном рельфе интрузии типа лакколитов и штоков.

В зависимости от длительности эволюции рельефа на интрузивных массивах и глубина денудационного среза различается три стадии его развития. Рельеф 1-й стадии развития возникает при минимальной глубине денудационного среза и представляет собой положительную форму, согласную с контурами отрепариированной интрузии; для 2-й стадии (при средней глубине денудации) характерно разобщение положительной формы на отдельные останцовые возвышенности, окруженные прионтактовыми грядами; для 3-й стадии развития (при наибольшей глубине денудации) типично возникновение инверсионного понижения на месте центральной части интрузивного массива и дальнейшая дифференциация прионтактовых возвышенностей и ложбин. На рассматриваемой территории наиболее широким распространением пользуются формы рельефа на интрузивных массивах, находящихся во 2-й и 3-й стадиях своего развития.

Анализ структурно-денудационных и литоморфных особенностей рельефа позволил выявить целую серию вулканических построек центрального типа в пределах развития главным образом пермских и, реже, меловых вулканических поясов. Формы рельефа, возникшие в пределах древних вулканических сооружений, весьма разнообразны. Иногда это округлые в плане, конусообразные возвышенности, связанные с жерловой фацией вулканов, иногда — серия концентрически расположенных гряд, приуроченных к корням глубоко срезанной вулканической постройки; в некоторых случаях структурно-денудационные элементы рельефа очерчивают двойные вулканы с окружной кальдерой и поднимающимися в центре ее конусом.

Наиболее распространенное на рассматриваемой территории имеет денудационно-эрозионные и денудационные формы рельефа, представленные разнообразными увалами, возвышеностями, а также поверхностью выравнивания. Все они возники в результате проявления комплекса склоновых процессов и в своем распределении и характере не обнаруживают прямой связи с древними структурами.

Среди денудационных поверхностей различаются поверхности педиментов и поверхности комплексной денудации. Поверхности педиментов, созданные процессами плоскостного смыва, образуют наиболее низкий ярус денудационных поверхностей, обычно сопряженных с плиоценовыми озерно-аллювиальными террасами. Пологонаклонные денудационные равнины педиментов развиты главным образом в предгорьях. Нередко в виде узких лент вдоль коренных речных долин они распространяются и вглубь горных сооружений. При этом высота их постепенно возрастает от 200 до 300 и даже 400 м. Внешние края педиментов, обращенные к долинам, первые, изъеденные речными притоками и оврагами. Внутренний их контур обычно ограничен денудационным уступом или склоном. Формирование педиментов происходило на фоне неотектонических поднятий территории, главным образом в плиоцене.

Поверхность денудационного выравнивания миоценового возраста расположена на различных гипсометрических уровнях, будучи неравномерно деформированной неотектоническими движениями. Для нее характерен увалистый рельеф с единичными останцовыми возвышенностями. На данной поверхности развиты коры выветривания, часто перекрытые делювием и склоновыми образованиями.

Поверхность денудационного выравнивания палеогенового возраста сохранилась в виде реликтовых участков в наиболее приподнятых

удаленных от местных базисов эрозии горных сооружениях Сихотэ-Алиня. Благодаря значительным высотам (1000 и более метров) рельефы этой древней выровненной поверхности подверглись интенсивному морозо-наводнительному воздействию. Последнее обстоятельство, повидимому, послужило причиной сноса с поверхности древних кор выветривания. Вероятным возрастом данной поверхности выравнивания можно считать спелый — поздний олигоцен, т. е. эпоху затухания текtonических поднятий.

Помимо вышеупомянутых геоморфологических категорий, значительная роль принадлежит к кумулятивному рельефу, созданному речной, озерной аккумуляцией, совместной деятельностью рек и озер, временными потоками и, наконец, совместной деятельностью рек и плоскостного «намыва».

Среди флювиального рельефа выделяется ряд террасовых уровней различного возраста и происхождения.

Позднечетвертийный возраст этого уровня подтверждается палеонтологическими данными.

Надпойменные террасы среднего уровня позднечетвертичного возраста, лишь в межгорловых и внутригорных понижениях занимают обширные площади. Ширина площадок террас низкого уровня здесь достигает нескольких километров. Средняя высота террас 12—15 м. Позднечетвертий возраст этого уровня подтверждается палеонтологическими данными.

Надпойменные террасы высокого уровня раннечетвертичного возраста встречаются обычно в долинах крупных рек. Возраст их определяется по геоморфологическим данным и результатам спорово-пыльевого анализа. Средняя высота террас 30—35 м.

Надпойменные террасы высокого уровня раннечетвертичного возраста закартированы только по межгорным депрессиям и внутригорным понижениям. Степень сохранности их значительно хуже, чем у остальных террас. Площадки их часто перекрыты, особенно в зоне тылового шва, молчанием делювиальными плащами. Склоны и площадки террас рассекаются многочисленными оврагами. Средняя высота террас 70 м.

К категории элементов рельефа, созданных озерной аккумуляцией, относится донная равнина оз. Ханка и озерные террасы современного возраста. Донная равнина образует дно оз. Ханка, сложена песчано-илистым материалом. Благодаря чрезвычайной мелководности озера частые волнения разносят ильистые взвеси равномерным слоем по всей поверхности донной равнины, нивелируя даже незначительные неровности ее микрорельефа.

Озерные террасы современного возраста образуют два уровня, один из которых располагается на высоте 1—1,5 м над уровнем воды в оз. Ханка, а другой — на высоте до 3 м. Обе террасы интенсивно заболочены и относятся к так называемым ханкайским плавням.

Целая серия разновозрастных террас и равнин относится к группе аккумулятивных элементов рельефа, созданных совместной деятельностью рек и озер. Эти формы рельефа развиты главным образом в depressionах и межгорных понижениях.

Озерно-аллювиальные равнины различаются по возрасту их образования и некоторым морфологическим чертам.

Позднечетвертичная равнина нередко достигает ширины десятков километров. Поверхность ее чрезвычайно ровная, постепенно понижаясь к центру депрессий. Относительные превышения в предгорьях 12—15 м, по направлению к осевым частям депрессий они постепенно

уменьшаются до 3—8 м. Сочленение равнины с террасами здесь проходит без четкого перегиба поверхности.

Среднечетвертичная озерно-аллювиальная равнина развита очень широко и тяготеет к районам неотектонических прогибаний. Высота ее над уровнем воды в реках постепенно, по мере удаления от предгорий, уменьшается от 40 до 20 м. В осевых частях депрессий равнина погребена под позднечетвертичными и современными осадками.

Нижнечетвертичная равнина представлена плосковерхими, очень пологими склонами относительной высоты: в предгорьях 60—70 м, а в центральных частях депрессий — не более 30—35 м. Широким развитием на поверхности равнины пользуются делювиально-солифлюкционные пласти.

Озерно-аллювиальная равнина плиоценового возраста, в отличие от вышеописанных, приурочена не только к депрессиям, но встречается в виде реликтов и на водораздельных пространствах. В последнем случае она значительно приподнята и выведена из своего первоначального положения восходящими неотектоническими движениями. Другой отличительной чертой плиоценовой равнины является довольно грубый механический состав слагающих ее осадков. Если четвертичные равнины сложены главным образом глинами и песками, то плиоценовые образованы преимущественно гравийно-галечниковыми отложениями. Рельеф равнины обычно холмисто-увалистый или пологий холмистый. Нередко такого типа равнина сограждается с педиментами. В большинстве случаев от последних она отделяется невысоким денудационным уступом, реже — довольно значительным по протяженности денудационными склонами.

К рельефу, созданному временными потоками, относятся делювиально-проливиальные шлейфы четвертичного возраста. У подножья хребтов делювиально-проливиальные шлейфы бывают вытянуты довольно широкой полосой на десятки километров. Наклонная (до 10°) поверхность шлейфов рассечена оврагами и руслами временных водотоков.

Совместная деятельность рек и плоскостного «намыва» создала пологонаклонные аллювиально-делювиальные равнины четвертичного возраста, расположенные изолированными пятнами в верховых некоторых речных долин. Нередко поверхность таких равнин заболачивается и покрывается маломощным торфяником.

Эрозионная деятельность рек выразилась в выработке разветвленной сети долин. При пересечении горных гряд долины глубоко врезаны, имеют V-образный поперечный профиль. Продольные долины более широкие, с трапециевидным и V-образным профилем. В зоне депрессий речные долины морфологически выражены весьма слабо, будучи врезаны на небольшую глубину.

## Структуры центрального типа

Заканчивая общий обзор генетических категорий рельефа, следует подчеркнуть, что пространственное размещение даже «структурных» геоморфологических таксонов, связанных с деятельностью экзогенных процессов, контролируется в конечном счете внутренними геотектоническими особенностями строения земной коры. Подобные связи дают возможность использовать геоморфологическую информацию не-

посредственно для решения тех или иных геологических задач.

В частности, анализ геоморфологических линеаментов позволяет выявить разнообразные структуры центрального типа, многие из которых являются рудоносными объектами [46]. Соответствующие купольные (положительные) и колыцевые (отрицательные) морфоструктуры

отражают положение как экспонированных, так и невскрытых или частично вскрытых денудацией тектономагматических структур и комплексов центрального типа.

Результаты морфотектонического дифференцирования центральных структурных форм на исследуемой территории отражены на схеме (рис. 4). Помимо мелких низкоторидковых форм, здесь установлено большое количество достаточно крупных центральных морфоструктур с поперечником до 50 км и более. Судя по неоднократному возобновлению тектонических процессов и магматизма в пределах выделенных структур, можно предполагать их прерывисто-унаслоенное развитие на протяжении длительных интервалов геологической истории.

Наиболее древнее, предположительно позднепротерозойское, за-

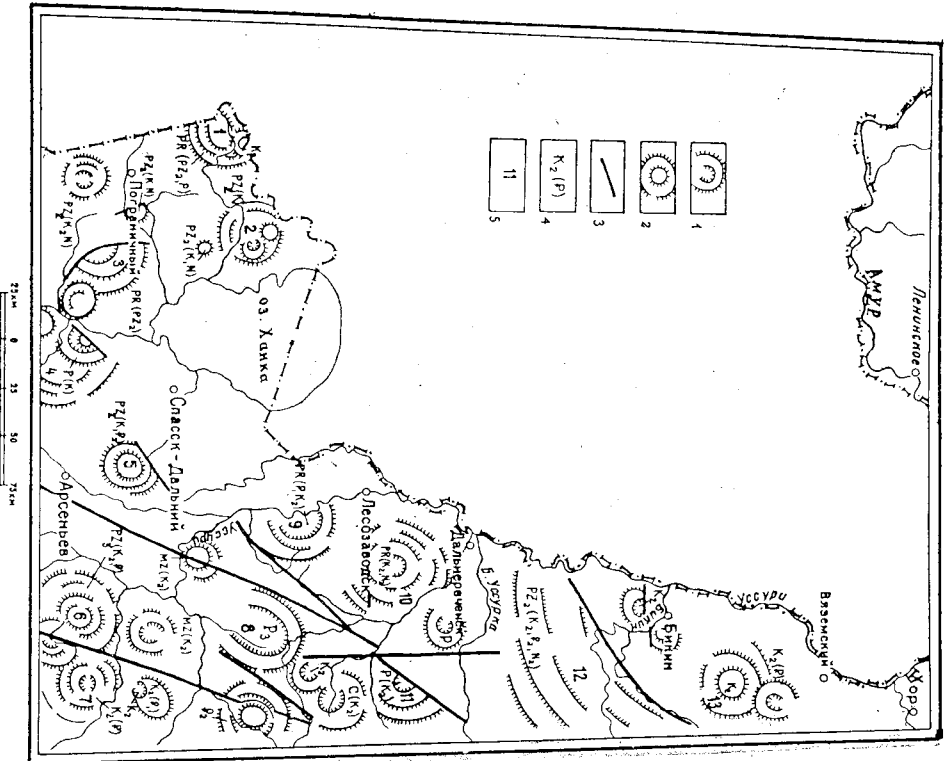


Рис. 4. Схема размещения морфоструктур центрального типа. Составил

Б. В. Соловьев.

1 — кольцевые морфоструктуры, 2 — купольные морфоструктуры, 3 — разломы, секущие морфоструктуры, 4 — время образования структур центрального типа, индексы в скобках указывают на период активации развития структур, 5 — основные морфоструктуры центрального типа: 1 — Керзенч., 2 — Конисская, 3 — Хордская, 4 — Южноладжанская, 5 — Остров., 6 — Изборская, 7 — Ангаская, 8 — Собуракская, 9 — Кабриланская, 10 — Пантелеймоновская, 11 — Наумовская, 12 — Былинская, 13 — Синяя.

ряда самостоятельных купольных структур центрального типа (Синяя и др.).

Таким образом, и генетические категории рельефа и их пространственная позиция отражают в первую очередь влияние геотектонических неоднородностей территории. В зависимости от геологического строения и неогенетического режима, с которыми теснейшим образом связаны особенности рельефа, выделяется ряд геоморфологических районов, объединяемых в четыре области: 1) сводово-глыбового поднятия М. Хингана; 2) центральных грабен-синклинальных депрессий; 3) сводово-глыбового поднятия и грабеновых межгорных депрессий Сихотэ-Алиня; 4) Восточно-Маньчжурского сводово-глыбового поднятия (рис. 5).

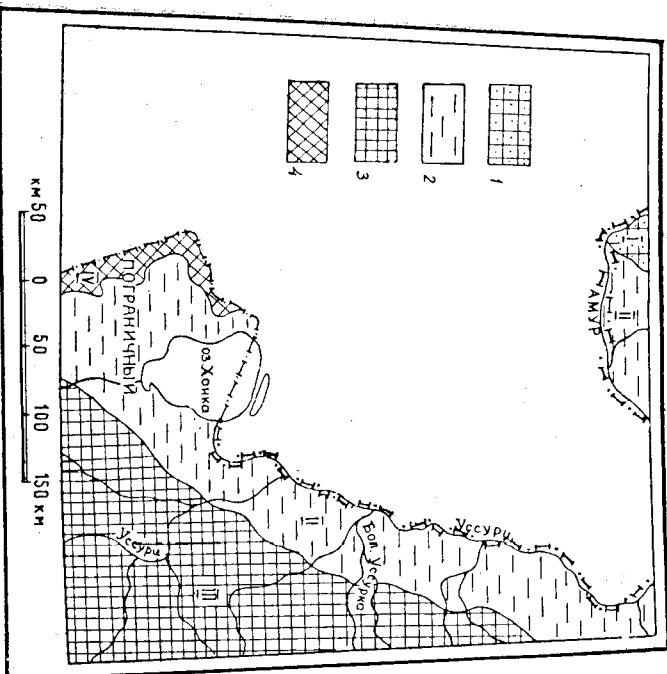


Рис. 5. Схема геоморфологического районирования.

1 — область сводово-глыбового поднятия М. Хингана, 2 — область центральных грабен-синклинальных депрессий Сихотэ-Алиня, 3 — область сводово-глыбового поднятия и грабеновых межгорных депрессий Сихотэ-Алиня, 4 — область Восточно-Маньчжурского сводово-глыбового поднятия.

жение имеют центральные структуры Ханкайского Массива (Керновая, Хоролская, Кабаргинская, Пантелеимоновская). Согласно каркасным компонентам этих структур, в палеозое и мезозое произошло внедрение интрузивов, а для Кабаргинской и Пантелеимоновской структур, кроме того, и проявление вулканизма. Комиссаровская интрузивная структура, возникшая как самостоятельный структурный центр в связи с внедрением среднепалеозойских гранитов, была дополнена в эпоху поздне-палеозойской активизации.

В зоне Даубихинского прогиба и Центрально-Сихотэалинского антиклиниория преобладают центральные структурные формы палеозойского заложения. Так, купол структуры Острый обусловлен внедрением среднепалеозойских гранитов и серией более поздних меловых интрузивов. Изобрина центральная структура связана со сложным магматическим комплексом интрузивных и эфузивных образований перми, горы и мела. Завершающая фазамагматизма, проявившегося конформно контентрам этой структуры, приходится на палеоген. Себчарская и Наумовская структурные формы центрального типа, также, видимо, заложившиеся в первые, были активизированы в мезозое. Кулунгий палеозойский вулканический центр очерчен Южно-Ханкайской кольцевой структурой. Заложение дочерних вулканических и экструзивных форм, осложняющих эту структуру, имело место в первые и мелу.

Фрагмент еще более крупного вулканического центра представлен в зоне Самурского антиклиниория Бикинской кольцевой морфоструктуры. Вулканическая деятельность здесь проявилась в первые, позднемеловое, палеогеновое и неогеновое время. В этой же тектонической зоне в связи с позднемеловым матматизмом произошло становление

### Область сводово-глыбового поднятия М. Хингана

В пределы рассматриваемой площади входят только юго-восточные отроги М. Хингана, образующие низкогорный водораздел Амура и р. Самары (хребет Помпеевский). Максимальные высоты здесь немногим больше 400 м. Притоки Амура рассекают поднятие глубоко врезанными долинами, имеющими трапециевидный поперечный профиль. На приводораздельных участках возвышенностей местами сохранились небольшие плоскадки поверхности выравнивания позднемиоценового возраста. Низкогорные возвышенности отделены тектоническими уступами от денудационной предгорной равнины, имеющей высоту 200—250 м. Надувалистой поверхностью последней лишь местами поднимаются денудационные останцы интрузивных тел.

Миоценовая поверхность денудационного выравнивания окаймляется узкой полосой педimentов, соединяющихся с плющеновыми базальтовыми равнинами. К полосе распространения базальтов приурочена линия раздела зон пяти- и шестистабильных землетрясений, что указывает на достаточно глубокое заложение разломов, служивших подводящими каналами для лав.

Пересекая хр. Громгевский, Амур течет в обрывистых берегах. Скалистые обрывы, например у Ястребиного Утеса, достигают высоты более 80 м, а у Белого Утеса превышают 100 м. Террасовые уровни получают широкое распространение в Средне-Амурской депрессии.

### Область крупных внутренних грабен-синклинальных депрессий

Область образует широкий пояс длительно развивающихся отрывистых тектонических структур, возникших в кайнозое на месте древних кристаллических массивов и их подвижных окраин.

Эти депрессии отдают морфоструктуры Сихотэ-Алиня от горных Маньчжурских гор. Обширные озерные и озерно-аллювиальные равнины протягиваются здесь на десятки километров. Плющеновые, ранне-, средне-, позднечетвертичные и современные равнины довольно постепенно, без резких уступов, соединяются друг с другом. Высота всех уровней уменьшается к центральным частям депрессий, мощность же отложений, наоборот, возрастает, что убедительно говорит в пользу неотектонических прогибаний этих участков.

Однообразие пологовувалистого и равнинного рельефа этой части территории нарушается разветвленной овражно-балочной сетью, группами мелкосопочника и денудационных останцов. Останцовые возвышенности, поднимающиеся на несколько десятков, реже сотен, метров

над поверхностью равнины, фиксируют выступы фундамента. Последние, судя по результатам бурения, разделяют область депрессий на ряд изолированных кайнозойских мульд, не выраженных в рельфе. Вместе с тем, наиболее крупные массивы мелкосопочника и низкого рельефа в ряде случаев почти полностью перегораживают депрессию, разделяя ее на ряд самостоятельных равин. Так, между отрогами М. Хингана, Надань-Хала-Алинь и Сихотэ-Алиня расположается *Средне-Амурская депрессия*. Здесь наиболее широким развитием пользуется позднететвертичная озерно-аллювиальная равнина. Подчиненное значение имеют уровни средне- и раннететвертичных озерно-аллювиальных равнин. Южнее, по правобережью Уссури, располагается *равнина Бирской (Розенгаартовской) депрессии*, далее к Ю — *Бикинская депрессия*. Все они аналогичны по геоморфологическому строению и неотектоническому развитию.

Наиболее крупной депрессией региона является *Уссури-Ханканская*, на севере ограниченная хр. Стрельникова. Громадный овал этой депрессии окружён концентрически расположенным полосами разно-воздушных озерно-аллювиальных равнин (от плиоценовой до современной включительной); к участку наибольшего прогибания приурочено оз. Ханка. На юге поверхность раннететвертичной и плиоценовой равнины является водоразделом с Суйфунской депрессией. Поверхность плиоценовой равнины местами перекрыта покровами позднеплиоценовых базальтов, образующих невысокие вулканические плато.

## Область сводово-глыбового поднятия Сихотэ-Алиня

Эта область характеризуется разнообразием геоморфологических районов, отражающих сложный тектонический режим территории. *Депрессионная равнина с останцовыми возвышенностями предгорий Сихотэ-Алиня* относится к району, тектонически стабильному на протяжении почти всего кайнозоя. Здесь максимально развиты миоценовые и плиоценовые педименты. Над увалистыми поверхностями выравнивания иногда поднимаются денудационные останцы устойчивых к выветриванию пород или возвышенностей, обусловленные препарированными интрузивными массивами.

Весьма интересные формы рельефа в виде концентрически расположенных гряд и конусообразных возвышенностей возникают в результате препарировки древних вулканических аппаратов. Элементы такого пермского вулкана закартированы, например, к ЮЗ от с. Лялячи. Реки, пересекающие педименты и поверхности выравнивания, предгорий, образуют достаточно широкие долины, обычно с заболоченными днищами и ясно выраженными террасами.

*Передовые хребты Сихотэ-Алиня* образуют цепочку среднегорных возвышенностей, преимущественно северо-восточного простирания. Они или вытянуты цепочкой, или располагаются купистообразно, или образуют одиночно стоящие массивы (горы Синяя, Шебениха). Такое расположение возвышенностей отражает, в первую очередь, особенности геологического строения и тектоники. Обшим для всех передовых хребтов является их четкая морфологическая выдержанность и значительная высота (до 1000 м). Все хребты круто склонные, с гребневидными скалистыми водоразделами. Часто склоны покрыты осьями, встречаются нагорные террасы и сильно разрушенные денудацией цирки (водоразделя Синих хребтов). Реки, берущие начало с этих хребтов, имеют глубоко врезанные V-образные долины с круто падающими тальвегом. Интенсивные неотектонические поднятия контрастно подчеркнули здесь литоморфные различия рельефа. В расположении горных возвышенностей отразились не только отпрепарированные интрузивные

тела, но и контуры интрузий, еще не вскрытые денудацией. Примером может служить возвышенность горы Белльевой. В ее пределах только по глубоким врезам выходят гранитоиды, в основном же она сложена пермскими толщами. Однако геоморфологический анализ рельефа показал, что возвышенность развивается как единая морфоструктура, причем контуры элементов рельефа, обусловленные препарировкой интрузивных и колпаково-измененных пород, полностью совпадают с границами, установленными гравиметровой съемкой, не выходящей на поверхность интрузивного массива.

*Центральный Сихотэ-Алинь* характеризуется преобладанием среднегорного, глубоко расчлененного рельефа, образующего ряд массивов и хребтов, преимущественно северо-восточного простирания. Значительную роль здесь играют реликтовые поверхности выравнивания миоценового, реже палеогенового возраста. Распределение главных элементов рельефа контролируется зонами разломов, в большинстве случаев унаследованных. С препарировкой крупных интрузивных тел или с поднятием блоков изометрической формы связано возникновение среднегорных массивов — таких как горы Березовая и Изобриная. Наиболее приподнятые участки обладают и наиболее круто склонным горным рельефом; примыкающие к ним плоские занятые пологосклонными возвышенностями. Границы, прилегающей к главному водоразделу Сихотэ-Алиня, или находящаяся на небольшом расстоянии от него, характеризуются хорошей сохранностью не только миоценовой, но и ополченовой поверхности выравнивания. Следует отметить также, что главный водораздел Сихотэ-Алиня, благодаря неоднократным перестройкам гидросети, приурочен не только к высоким хребтам, но и к относительно слабо приподнятым территориям. Так, в частности, он проходит по Зеркально-Павловскому междуречью, образованному плиоценовой террасой. Речные долины, пересекающие поднимающиеся участки, обладают крутыми склонами и U-образным поперечным профилем. Террасы встречаются только по наиболее крупным долинам и лучше всего выражены на продольных отрезках долин, совпадающих с генеральным простиранием геологических структур. В целом рисунок гидросети — сетчатый, отражающий сложный план трещин и разломов.

*Межгорные депрессии Сихотэ-Алиня* в подавляющем большинстве представляют собой грабены, испытывающие неотектонические опускания.

Различаются продольные депрессии, согласные с общим северо-восточным простиранием складчатых структур Сихотэ-Алиня, и близко расположенные депрессии, обусловленные поперечными разломами. Первые наиболее часты. Широтные депрессии, хотя и рас пространены меньше, но имеют важное значение, так как они подчеркивают зоны поперечных дислокативных нарушений, в том числе скрытых нарушений фундамента. Главные геоморфологические цепи всех депрессий достаточно однотипны. Центральная часть их занята лестницей широких речных или озерно-речных террас, ограниченных вблизи бортов полосами педиментов. Окружающие возвышенностии, как правило, обрываются к депрессиям крутыми склонами. Межгорные депрессии испытывают опускание лишь по отношению к окружающим горным возвышенностям, в целом же они возвышены в более позднюю Сихотэ-Алиня.

Широтные депрессии обладают большой шириной и выполнены главным образом озерно-аллювиальными осадками. Депрессии северо-восточного простирания обрамлены преимущественно речными террасами.

## Область Восточно-Маньчжурского сводово-глыбового поднятия

Рассматриваемую область можно расчленить на несколько геоморфологических районов.

Район *Пограничного хребта*, занимающий довольно узкую полосу возвышенностей, вытянут вдоль государственной границы. Круто-склонные вершины (абс. отм. 700—900 м) расположены цепочкой над приподнятым до 400—500 м и глубоко расщелененной поверхностью выравнивания плиоценового возраста. Более крутный массив среднегорного рельефа находится в верховых р. Комисаровка. Ее левые притоки с ущелистыми долинами расчищили высоко поднятую (до 900 м) поверхность выравнивания на ряд хребтов юго-восточного простирания. Многие крупные изолированные вершины обязаны своим происхождением денудационной претериюровке интрузивных тел.

Район *Гродековских среднегорных возвышенностей* характеризуется чрезвычайно интенсивным расчленением. Небольшие реликтовые участки миоценовой поверхности выравнивания сохранились только на водоразделах и в приверховых частях среднегорных возвышенностей. Большинство речных долин в верховых имеет ущелистый поперечный профиль, переходящий ниже по течению в трапецевидный.

Район *предгорных денудационных равнин с останцовыми возвышенностями* занимает основную часть рассматриваемой области. Поверхность предгорий местами разбита на блоки, приподнятые на разную высоту. Если не принимать во внимание эти перемещения, то в общем денудационная поверхность постепенно понижается от Пограничного хребта к ЮВ от 500 до 250 м. На участках более энергичных неогеотонических поднятий возникли небольшие низкогорные массивы, сохранившие реликты поверхности выравнивания, главным образом на водораздельных участках. Цепь, таких возвышенностей расположася по восточной окраине района.

В центре его встречаются возвышенности другого происхождения. Так, между р. Комисаровка и левых притоков р. Мельгуновка образовано хр. Синим, поднимающимся над денудационной равниной на 200—250 м. Хребет представляет собой удлиненный останец, вырезанный в пермских вулканогенных толщах. Сохранившиеся вблизи его вершины реликты поверхности выравнивания древнее денудационной поверхности предгорий и возникли, по-видимому, в палеогеновую эпоху планации.

Поскольку рассматриваемые предгорья выработаны главным образом в гранитоидах, весьма существенная роль в образовании рельефа принадлежит здесь денудационной претериюровке интрузивных тел. Многие денудационные останцы представляют собой выходы более устойчивых к разрушению гранитных пород. Часто встречаются цепочки таких останцов, подчеркивающие контуры интрузивных массивов. Наблюдаются и более сложно построенные возвышенности, образованные концентрическими денудационно-литогородковыми грядами, возникшими на эндо- и экзоконтактных зонах интрузивных тел.

Внешний край денудационных предгорий окружен каймой плиоценовых педиментов, которые отделяются от предгорий денудационными уступами. Абс. высота педиментов редко превышает 200—250 м.

Весьма характерными элементами рельефа предгорий являются *депрессии и впадины*, развивающиеся как наложенные кайнозойские структуры. Депрессии представляют собой обширные мульды, выполненные мощными толщами миоценовых и плиоценовых отложений. Эти депрессии унаследованы развивавшимися в четвертичное время. Их поверхность представляет собой озерно-аллювиальные и аллювиальные равнины. Контуры депрессий изометричные.

Впадины — это узкие, линейно вытянутые грабенообразные понижения, возникшие, по-видимому, не раньше конца плиоцена. Выходы миоценовых отложений в их притеррасах не установлены. Диапазон морфоморфологии молодыми четвертичными террасами, борта крутые и обрывистые.

Заканчивая порайонное геоморфологическое описание, следует вкратце остановиться на основных этапах формирования рельефа. Есть основания полагать, что в результате тектонических движений в конце мела рельеф рассматриваемой территории был довольно контрастным [12, 13]. К началу палеогена, благодаря денудации, относительные высоты его значительно уменьшились. Затем наступил этап формирования сводово-глыбовой структуры. Одновременно с перемещением крупных блоков земной коры во многих районах по разломам начались излияния лав. Палеоценовые, и особенно эоценовые, вулканические толщи широко распространены на Сихотэ-Алине. В эоцене начинают формироваться первые впадины, возникают центры устойчивых погружений земной коры. Усиление тектонической активности на границе эоценена и олигоцена привело к некоторому «компложению» значительно синклирированных горных массивов, к возникновению синклирии межгорных депрессий и внутригорных понижений. К позднему олигоцену депрессии становятся тонкими, преимущественно пестрально-глинистыми угленосными осадками. Значительные пространственно-образовываются в денудационную равнину. Горный рельеф сохраняется лишь местами в виде денудационных останцов, пологосклонных возвышенностей и массивов. На Сихотэ-Алине возникают поверхности выравнивания, которые срезают под один уровень эоценовые и более древние породы. Однако уже в раннем миоцене процесс planации был прерван новыми восходящими движениями, продолжившими дальнейшее развитие сводово-глыбовых структур и частично уничтожившими ранее сформированную поверхность выравнивания. Этот процесс, однако, довольно быстро сменяется тектонической стабилизацией [50].

К позднему миоцену создается и получает широкое распространение второй денудационный уровень. Значительно увеличиваются площади аккумуляции в межгорных и предгорных депрессиях. В предгорах последних происходит слияние отдельных впадин в крупные понижения, занятые сзерными бассейнами. Судя по мощности осадков, накопившихся в них, амплитуда опускания днищ депрессий за это время в ряде случаев превышала 500 м.

Плиоценовая эпоха ознаменовалась резкой активизацией тектонических движений. Особенно усилилась поднятие в конце плиоцена, когда в общих чертах был сформирован современный рельеф. У подножий воздымавшихся горных массивов и по бортам наиболее крутых долин в раннем плиоцене начинается формирование педиментов. Оживились движения по разломам, в том числе по близи рогов.

В позднем плиоцене горные возвышенности почти достигли современной высоты. В депрессии сносились гравийно-галечниковые материалы, образовавший толщи мощностью более 100 м. Мощеная поверхность оказалась сильно деформированной; в зоне предгорных равнин — опущенной и погребенной под более молодыми отложениями, в горных — приподнятой на высоту до 1000 м. Завершился плиоценовый этап развития мощными излияниями базальтовых лав. В горах лавовые потоки выполнили понижения рельефа, и он оказался слаженным за счет вулканической аккумуляции. Местами лавы перекрыли предгорные равнины и плиоценовые озерно-аллювиальные уровни, создав подпоры, препятствующие стоку вод из отдельных озерных котловин. Такой покров базальтов на левобережье Раздолинской прервал сток вод из оз. Ханка на юг.

Возникновение полупрудых озер и усиление дифференцированных неотектонических движений существенно изменили базисы эрозии, что, в свою очередь, привело к возникновению многочисленных речных перехватов и перераспределению водосборных бассейнов. Примером может служить водораздел рек Павловка и Зеркальная, образованный плиоценовыми галечниками.

В четвертичное время в результате дифференцированных неотектонических движений происходила выработка ледялай ныне наблюдаемого рельефа. Важными событиями четвертичной истории явились оледенения, установленные на соседних плоскостях. Влияние эпохи резкого четвертичного похолодания климата отразилось на процессах морфогенеза рассматриваемой территории. Два крупных похолодания, связанные со временем средней и позднечетвертичных оледенений, активизировали процессы физического выветривания и иницииации [45]. Развитие многолетнемерзлых толщ в зонах депрессий стимулировало возникновение дельювально-солифлюкционных шлейфов и покровов, склаивающих уступы между террасовыми равнинами.

В послеледниковое время происходит дальнейшее расчленение рельефа в горах и накопление рыхлого материала в долинах и депрессиях. Продолжается денудационно-литоморфная препарировка различных структурных элементов рельефа и зон тектонических контактов. В районах интенсивных современных поднятий активно развиваются склоны возвышенностей и происходит быстрый выброс обломочного материала в тектонически стабильные или погружающиеся участки территории.

## ГИДРОГЕОЛОГИЧЕСКИЕ УСЛОВИЯ

Сведения по гидрогеологии данной территории изложены в ряде работ [19, 23, 43]. По возрасту с учетом литологического состава и степени метаморфизма пород на территории выделяются водоносные комплексы и зоны трещиноватости. Первые наиболее широко распространены в равнинных, а вторые — в горных районах. Характеристика водоносных комплексов и зон трещиноватости приведена в табл. 14.

**Водоносные зоны трещиноватости.** Водоносность нижне-среднетретиозийских пород связана с их трещиноватостью в зоне выветривания мощностью в несколько десятков метров (трещинные воды), а также с разломами, где развиты трещинно-жильные скопления подземных вод. Мощность зоны эффективной трещиноватости вблизи интрузий 10—15 м. Воды обычно безнапорные, и только в разломах встречаются напорные воды. Удельные дебиты скважин 0,05—0,2 л/сек, в зонах разломов 2—8 л/сек.

Водоносность верхнетретиозийских и кембрийских толщ также приурочена к зоне выветривания, достигающей глубины 70 м. Воды обычно безнапорные. На участках, где эти породы перекрыты молодыми отложениями, воды обладают напором до 20 м и более. Дебит скважин 0,2—0,7 л/сек, дебит источников 0,1—0,2 л/сек. Наиболее водобильны карбонатные породы, в той или иной мере закарстованные; дебит скважин достигает 55 л/сек, в среднем 3—7 л/сек.

Водоносность силурийско-левинских отложений определяется наличием в них трещиноватости в зоне выветривания, достигающей мощности 40—60 м. Притоки воды в скважинах в песчаниках и на участках разрывных нарушений 1,8—5,9 л/сек; в сланцах, порфиритах дебит скважин 0,2—0,7 л/сек, при удельных дебитах 0,05—0,1 л/сек. Глинистые сланцы в ряде случаев безводны.

Водоносность каменноугольно-пермских отложений развита в зоне выветривания мощностью до 70 м и в зонах разрывных нарушений. Глубина залегания вод в долинах — несколько метров, на склонах — до 15—30 м. Воды безнапорные, в Средне-Амурской впадине скважинами вскрыты напорные воды. Производительность скважин в песчаниках и вулканитах 1—2 л/сек, в сланцах 0,5—1 л/сек, в известняках и зонах разломов 1—4 л/сек. Воды гидрокарбонатные кальциевые с минерализацией 0,1—0,25 г/кг (рис. 6). В Средне-Амурской впадине и в известняках минерализация возрастает до 0,5—0,7 г/кг. В скважине на Борисовском поднятии на глубинах 2264—2840 м вскрыты соленые хлоридные натриевые воды с минерализацией 11 г/кг. С разломами связана выходы углекислых минеральных вод.

Водоносная зона трещиноватости триасово-юрских отложений приурочена к зоне выветривания мощностью 14—82 м. Глубина залегания подземных вод в долинах — несколько метров, на склонах — до 50 м и более. Воды обычно безнапорные. Наиболее водопритоки получены из крупнозернистых песчаников до 1,5 л/сек. В других породах производительность скважин не превышает 1 л/сек, а в глинистых сланцах 0,1 л/сек. Зоны тектонических нарушений характеризуются по-

Таблица 14

## Характеристика гидрологического разреза

Индекс на гидрологической карте	Водоносные комплексы и зоны трещиноватости, состав водовмещающих пород	Максимальная изученность, м	Коэффициент фильтрации, м/сут	Уровень подземных вод от поверхности земли, м	Водообильность пород		Химический состав	
					Удельный дебит скважины, л/сек	Дебит источников, л/сек, от до преобладающий	Общая минерализация воды, г/кг от до преобладающая	Преобладающий состав воды
Q <sub>IV</sub>	Водоносный комплекс современных отложений. Валуны, галечники, пески, супеси, суглинки	5—8	2,8—63	0,2—5	0,2—3,5	0,01—0,6 0,1—0,2	0,03—0,3 0,1—0,2	HCO <sub>3</sub> — Ca + Mg
Q <sub>II-III</sub>	Водоносный комплекс средне-верхнечетвертичных отложений. Валуны, галечники, пески, супеси, суглинки	30	5—40	0,2—320	0,02—4,5	—	0,08—0,4 0,15—0,2	HCO <sub>3</sub> — Ca + Mg
N <sub>2</sub> — Q <sub>1</sub>	Водоносный комплекс плиоцен-нижнечетвертичных отложений. Валуны, галечники, пески, супеси, суглинки	130	0,01—12	7—24	0,01—2	0,07—13,3 0,1—1	0,04—0,3 0,1—0,2	HCO <sub>3</sub> — Ca + Mg
N <sub>3</sub>	Водоносный комплекс плиоценовых отложений. Базальты, андезито-базальты, туфы	60	—	0,5—16	0,04—0,6	0,02—2,3 0,1—0,5	0,02—0,3 0,1—0,2	HCO <sub>3</sub> — Ca + Mg
N <sub>1</sub>	Водоносный комплекс миоценовых отложений. Галечники, пески	120	0,36—23	5—36	0,02—1,5	—	0,07—0,5 0,1—0,25	HCO <sub>3</sub> — Ca + M
P <sub>3</sub> — N <sub>1</sub>	Водоносный комплекс олигоцен-миоценовых отложений. Песчаники, алевролиты, конгломераты, угли	320	0,1—12	до 40	0,3—10	—	0,1—0,3 0,1—0,3	HCO <sub>3</sub> — Na HCO <sub>3</sub> — Ca + Mg
P <sub>1-2</sub>	Водоносный комплекс палеоцен-эоценовых отложений. Базальты, андезиты, их туфы	50	0,004—6,4	0,8—30	0,003—0,5	0,02—0,5 0,05—0,2	0,02—0,2 0,07—0,12	HCO <sub>3</sub> — Ca
K <sub>4</sub>	Водоносный комплекс верхнемеловых отложений. Песчаники, алевролиты, конгломераты, угли, туфиты, кварцевые порфирьи, их туфы	400	0,1—12	до 300	0,002—0,6	0,05—1 0,1—0,3	0,02—0,5 0,1—0,2	HCO <sub>3</sub> — Ca
K <sub>1</sub>	Водоносная зона трещиноватости и водоносный комплекс нижнемеловых отложений. Песчаники, глинистые сланцы, конгломераты	600	0,01—7	до 600	0,01—2,9	0,01—1 0,1—0,5	0,02—0,3 0,1—0,2	HCO <sub>3</sub> — Ca
T — J	Водоносная зона трещиноватости триасово-юрских отложений. Песчаники, алевролиты, конгломераты, каменные угли, сланцы, порфирьи	260	0,27—1,5	до 50	0,001—0,7	0,01—1,2 0,1—0,2	0,03—0,4 0,2—0,3	HCO <sub>3</sub> — Ca
C — P	Водоносная зона трещиноватости каменно-угольно-пермских отложений. Песчаники, сланцы, порфириты, туфы, известняки	100	0,007—1,2	до 30	0,001—1	0,01—1,5 0,05—0,5	0,1—0,7 0,3—0,4	HCO <sub>3</sub> — Ca
S — D	Водоносная зона трещиноватости силурско-девонских отложений. Сланцы, песчаники, порфириты	70	—	2—26	0,05—0,1	0,01—0,5 0,05—0,1	0,1—1,2 0,1—0,2	HCO <sub>3</sub> — Ca
PR <sub>3</sub> — C	Водоносная зона трещиноватости верхне-протерозойско-кембрийских отложений. Известняки, песчаники, сланцы, кварциты, порфириты и их туфы	120	0,01—0,07	0,6—30	0,001—3,5	0,1—0,2 0,03—0,1	0,1—0,7 0,4—0,5	HCO <sub>3</sub> — Ca
PR <sub>1-2</sub>	Водоносная зона трещиноватости нижне-среднепротерозойских отложений. Сланцы, гнейсы	100	—	до 25	0,05—8	0,01—0,3 0,05—0,08	0,06—0,4 0,1—0,2	HCO <sub>3</sub> — Ca
	Водоносная зона трещиноватости гранитондов протерозойского, палеозойского и мезозойского возраста	100	0,006—7	до 40	0,001—1	0,08—0,5 0,1—0,3	0,02—0,5 0,05—0,15	HCO <sub>3</sub> — Ca + Mg HCO <sub>3</sub> — Na
T	Водоносная зона трещиноватости гипербазитов, габброродов палеозойского и мезозойского возраста	70	—	до 30	0,005—0,04	0,01—0,3 0,07—0,2	0,02—0,3 0,7—0,2	HCO <sub>3</sub> — Ca + Mg

вышенной обводненностью. Воды часто обладают напором в 30—70 м; иногда они самоизливаются. Дебит скважин 2—4 л/сек, в горных выработках приток воды достигает 13—17 л/сек.

Более

западной протерозойских, палеозойских и мезозойских гранитондов, характеризуется трещинами волнистыми, приуроченными к зоне выветривания, достигающей мощности 70 м, и к зонам разломов с трещинно-жильными водами. Глубина залегания подземных вод в долинах несколько метров, на склонах 20—40 м. Водолазы, сложенные гранитоидами, обычью бывают безводны. Напорные воды встречаются только на участках, где гранитоиды перекрыты песчано-глинистыми отложениями или в зонах разрывных нарушений. В этих случаях высота напора вод достигает 10—30 м, иногда наблюдается самоизлив (пос. Липовцы, с. Уссурика и др.). Производительность скважин в палеозойских гранитоидах в среднем равна 0,5—2 л/сек, максимальная — до 8 л/сек. В мезозойских гранитоидах дебит скважин 0,1—1 л/сек, редко до 2 л/сек. С гранитоидами связано большое количество холодных углекислых источников с дебитом 1—2 л/сек.

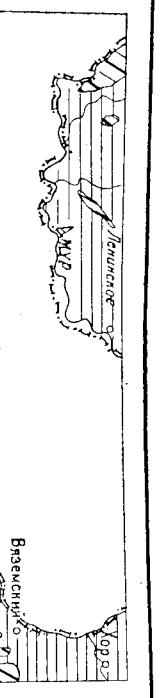
Водоносная зона трещиноватости палеозойских и мезозойских гипербазитов и габброродов изучена слабо. К зонам выветривания, распространенным на глубину 10—30 м, приурочены трещинные воды, а к разрывным нарушениям — трещинно-жильные. Дебиты скважин обычно не превышают 1 л/сек, и только в зонах разломов до 3—5 л/сек.

\* Водоносная зона трещиноватости нижнемеловых отложений распространена в песчаниках, алевролитах, глинистых сланцах, конгломератах. Подземные воды в зоне выветривания, имеющей мощность до 70 м, безнапорные. Они залегают на глубинах 5—10 м в основании склонов и на грунтах 20—30 м в средней части склонов. Приток воды в

скважины в среднем 0,1—0,3 л/сек, но иногда доходит до 1,5 л/сек. В зонах разломов воды обычно напорные, иногда самоизливающиеся, с дебитом в скважинах до 3 л/сек. Повышенная обводненность наблюдается на контактах осадочных пород с лайками.

Водоносный комплекс раннемелового возраста распространен во впадинах. Породы слабо дислоцированы и имеют открытую пористость, до 6—15%. В этом комплексе развиты порово-трещинно-пластовые и трещинно-жильные воды, вскрыпывающиеся скважинами на глубинах от нескольких десятков метров по периферии впадин до 400—600 м в их центральных частях. Воды высоконапорные, часто самоизливающиеся, с напором на устье до 2 атм. Комплекс обводнен слабо. Производят-

нам разрывных нарушений.



Притоки воды в скважинах в осадочных отложениях составляют 0,1—0,7, до 2—4 л/сек, в эфузивах 0,5—1,0, до 3 л/сек. Из верхнемеловых эфузивов выходят ряд источников (Покровский и др.), воды которых имеют гидрокарбонатный кальциевый и кальциево-натриевый состав с минерализацией 1,5—1,9 г/кг и содержанием углекислоты 1,5—2,5 г/кг.

Водоносный комплекс палеоцен-эоценовых отложений представлен вулканогенными отложениями, которые слагают водораздельные пространства на востоке территории и образуют покровы площадью до 900 км<sup>2</sup>. В вулканогенных породах преобладают трещинно-пластовые безнапорные воды. Глубина залегания подземных вод в долинах составляет 2—12 м, в нижних частях склонов 4—30 м. На водоразделах водоносные горизонты обычно спренированы. Дебит скважин в долинах 0,5—2,0 л/сек на приподнятых участках 0,1—0,5 л/сек, в зонах разломов производительность их возрастает до 5,7 л/сек (с. Чугуевка).

Водоносный комплекс олигоцен-миоцена представлен угленосными терригеническими отложениями, в которых развиты порово-трещиннопластовые и порово-пластовые воды. Переслаивание водоносных и водоупорных пород обуславливает образование гидравлически связанных напорных водоносных горизонтов, изолированных от поверхности земли. Уровень вод устанавливается на глубинах 10—30 м, местами воды самоизливаются.

В Средне-Амурской впадине дебет колеблется от 0,7 до 7 л/сек, при понижениях 27—48 м. Коеффициент фильтрации углей 3—12 м/сутки, песков 0,1—3 м/сутки. В Ханкайской впадине приток в скважинах 0,4—11 л/сек, при понижениях 5—43 м. В Региховской депрессии при откачке из скважины получен дебит 1—2,3 л/сек. Во впадинах с глубиной уменьшается водопроницаемость пород и водопритоков в скважины. В верхней части разреза (до глубины 100—150 м) воды гидрокарбонатного кальциевого или смешанного по катионам состава с минерализацией 0,1—0,3 г/кг.

В средней части разреза (глубина 200—1000 м) воды гидрокарбонатные натриевые с минерализацией 0,5—1,0 г/кг. Внизу разреза возможно присутствие вод хлоридных, гидрокарбонатных и гидрокарбонатно-хлоридных с минерализацией 1,5—2,5 г/кг.

Водоносный комплекс миоценовых отложений содержит несколько водоносных горизонтов мощностью до 20 м. Воды напорные, уровень устанавливается на глубинах 3—10 м.

Водоносный комплекс плиоценовых отложений сложен серией покровов базальтов и андезито-базальтов мощностью от 2 до 15 м каждый. Кровля покровов часто сопровождается корой выветривания, что обуславливает образование серии горизонтов порово-трещиннопластовых вод. Степень обводненности различна. Постоянно обводнены базальты только ниже базиса эрозии.

Рис. 6. Схема состава вод. Составили А. В. Зуев, В. А. Кирюхин.

**Минерализация (г/кг) и химический состав вод водоносных горизонтов, комплексов и зон трещиноватости, залегающих первыми от поверхности земли: 1 — до 0,1 гидрокарбонатные магниево-кальциевые; 2 — до 0,1 гидрокарбонатные магниево-кальциевые; 3 — 0,1—0,5 гидрокарбонатные кальциевые; 4 — 0,1—0,5 гидрокарбонатные магниево-кальциевые.**

тельность скважин в среднем 0,2—0,4 л/сек. В верхней части разреза воды гидрокарбонатные кальциевые с минерализацией 0,02—0,3 г/кг, на глубинах 800—1000 м — гидрокарбонатные натриевые с минерализацией до 1,5 г/кг.

Водоносный комплекс верхнемеловых отложений образован осадочными и вулканогенными толщами. Водоносность комплекса пестрая, небольшая, воды порово-трещинно-пластовые и трещинно-жильные. В вулканогенных отложениях встречается несколько водоносных горизонтов с трещинно-пластовыми водами. Глубина залегания вод от 3—5 м (в долинах) до 20—40 м (на склонах). Воды обычно безнапорные.

В Суйфунской впадине глубина залегания вод 130—300 м. Воды напорные, иногда самоизливающиеся. Напорные воды приурочены к зонам разрывных нарушений.

Притоки воды в скважинах в осадочных отложениях составляют 0,1—0,7, до 2—4 л/сек, в эфузивах 0,5—1,0, до 3 л/сек. Из верхнемеловых эфузивов выходят ряд источников (Покровский и др.), воды которых имеют гидрокарбонатный кальциевый и кальциево-натриевый состав с минерализацией 1,5—1,9 г/кг и содержанием углекислоты 1,5—2,5 г/кг.

Водоносный комплекс палеоцен-эоценовых отложений представлен вулканогенными отложениями, которые слагают водораздельные пространства на востоке территории и образуют покровы площадью до 900 км<sup>2</sup>. В вулканогенных породах преобладают трещинно-пластовые безнапорные воды. Глубина залегания подземных вод в долинах составляет 2—12 м, в нижних частях склонов 4—30 м. На водоразделах водоносные горизонты обычно спренированы. Дебит скважин в долинах 0,5—2,0 л/сек на приподнятых участках 0,1—0,5 л/сек, в зонах разломов производительность их возрастает до 5,7 л/сек (с. Чугуевка).

Водоносный комплекс олигоцен-миоцена представлен угленосными терригеническими отложениями, в которых развиты порово-трещиннопластовые и порово-пластовые воды. Переслаивание водоносных и водоупорных пород обуславливает образование гидравлически связанных напорных водоносных горизонтов, изолированных от поверхности земли. Уровень вод устанавливается на глубинах 10—30 м, местами воды самоизливаются.

В Средне-Амурской впадине дебет колеблется от 0,7 до 7 л/сек, при понижениях 27—48 м. Коеффициент фильтрации углей 3—12 м/сутки, песков 0,1—3 м/сутки. В Ханкайской впадине приток в скважинах 0,4—11 л/сек, при понижениях 5—43 м. В Региховской депрессии при откачке из скважины получен дебит 1—2,3 л/сек. Во впадинах с глубиной уменьшается водопроницаемость пород и водопритоков в скважины. В верхней части разреза (до глубины 100—150 м) воды гидрокарбонатного кальциевого или смешанного по катионам состава с минерализацией 0,1—0,3 г/кг.

В средней части разреза (глубина 200—1000 м) воды гидрокарбонатные натриевые с минерализацией 0,5—1,0 г/кг. Внизу разреза возможно присутствие вод хлоридных, гидрокарбонатных и гидрокарбонатно-хлоридных с минерализацией 1,5—2,5 г/кг.

Водоносный комплекс миоценовых отложений содержит несколько водоносных горизонтов мощностью до 20 м. Воды напорные, уровень устанавливается на глубинах 3—10 м.

Водоносный комплекс плиоценовых отложений сложен серией покровов базальтов и андезито-базальтов мощностью от 2 до 15 м каждый. Кровля покровов часто сопровождается корой выветривания, что обуславливает образование серии горизонтов порово-трещиннопластовых вод. Степень обводненности различна. Постоянно обводнены базальты только ниже базиса эрозии.

Рис. 6. Схема состава вод. Составили А. В. Зуев, В. А. Кирюхин.

**Минерализация (г/кг) и химический состав вод водоносных горизонтов, комплексов и зон трещиноватости, залегающих первыми от поверхности земли: 1 — до 0,1 гидрокарбонатные магниево-кальциевые; 2 — до 0,1 гидрокарбонатные магниево-кальциевые; 3 — 0,1—0,5 гидрокарбонатные кальциевые; 4 — 0,1—0,5 гидрокарбонатные магниево-кальциевые.**

Водоносный комплекс плиоцен-нижнечетвертичных отложений присутствует в Средне-Амурской и Ханкайской впадинах. Водоносный комплекс обычно перекрыт среднечетвертичными глинами. Воды напорные, напор 15—20 м, иногда до 40—50 м. Обводненность комплекса значительная.

Водоносный комплекс средне-верхнечетвертичных отложений развит в долинах рек. Воды напорные; в аллювиальных отложениях высота напора достигает нескольких метров, в озерных — до 20—30 м. Уровень вод устанавливается на глубинах 0,7—7 м.

Водоносный комплекс современных отложений широко распространчен, причем озерные и болотные фации развиты только на западе территории. К аллювиальным отложениям крупных рек (Амур, Уссури и др.) приурочены грунтовые потоки, гидравлически связанные с речными водами. Современные озерные отложения обводнены слабо. В болотных отложениях во влажные периоды формируются верховки. Их подопытной служат глины и сезонно-промороженные породы. Болотные воды обогащены органическим веществом.

Склоновые отложения обводнены короткое время. Инфильтрация атмосферных осадков приводит к образованию приповерхностного стока, подошвой которого служат глинистые прослои в покровных отложениях, а также коренные породы. Приповерхностные потоки смыкаются с зоной насыщения в нижней части склонов и существуют в течение 15—20 суток после прекращения инфильтрации атмосферных вод. При выходе на поверхность воды приповерхностного стока образуют источники с дебитами 0,3—3 л/сек. Водообильность водоносных комплексов и зон трещиноватости отражена на схеме (рис. 7).

**Гидрогеологическое районирование.** На территории выделяются три гидрогеологические области: Буренская, Ханкайская и Сихотэ-Алинская. В их пределах устанавливаются артезианские бассейны межгорного типа, артезианские бассейны, вулканогенные супербассейны и гидрогеологические массивы.

Артезианские бассейны занимают примерно треть территории. Главными являются: Средне-Амурский (общая площадь — около 60 000 км<sup>2</sup>, из них в пределах района 4200 км<sup>2</sup>) и Уссури-Ханкайский (более 15 000 км<sup>2</sup>). Слагаются эти бассейны преимущественно песчано-глинистыми отложениями олигоцен-четвертичного возраста средней мощности 500—700 м. Наибольшей величины мощность достигает в Переяславском (2,5—2,7 км) и в Нижне-Бикинском (1,2 км) бассейнах. Артезианские бассейны — Раздолинский и Арсеньевский занимают площадь около 1200 км<sup>2</sup> и сложены меловыми терригенными и вулканогенными отложениями мощностью до 1,5 км. Сверху меловые отложения перекрыты рыхлыми кайнозойскими образованиями мощностью 150—200 м.

Вулканогенные супербассейны слагают верхнюю часть гидрогеологического разреза и занимают пятую часть территории. По возрасту они делятся на Меловые — Б. Уссурско-Бикинский, Ретиховский, Пограничный (П. П. Романюх, 1962 г.) и др.; палеогеновые — Хрусталь-нейский и др.; неогеновые — Амурзетский, Нижно-Уссурийский и др. Площадь отдельных вулканогенных супербассейнов — от нескольких сотен до 2000 км<sup>2</sup>. Мощность чехла до 200—300 м. В случае наложения бассейнов разного возраста мощность чехла возрастает до 600—800 м.

Гидрогеологические массивы занимают несколько меньше половины рассматриваемой территории. Они слагают нижний этаж гидрогеологического разреза. В зависимости от геологического строения массивы делятся на две группы: а) сложенные породами допалеозойского и палеозойского возраста (Приханкайский, Гродековский, Южно-Хинганский) и б) сложенные породами палеозойского и мезозойского возра-

ста (Западно-Сихотэалинский). Литология и возраст пород определяет характер и степень водонасности массивов.

Кроме указанных структур, в районе г. Спасск-Дальний возможно выделение бассейна карстовых вод площастью около 200 км<sup>2</sup>, приуроченного к карбонатным породам нижнего кембрия.

**Зональность подземных вод.** Условия водообмена изменяются в зависимости от высотных отметок и глубины залегания подземных вод. Зона свободного водообмена расположена выше местного бассиса эрозии. В горных районах она охватывает зону выветривания коренных пород и пластавье водоносные горизонты, залегающие на водоразделах. Скорость движения подземных вод уменьшается от главных водоразделов к равнинным пространствам от десятков до нескольких метров в сутки. Скоростями движения в сотни метров в сутки характеризуются приповерхностные потоки, формирующиеся в делювиально-элю-

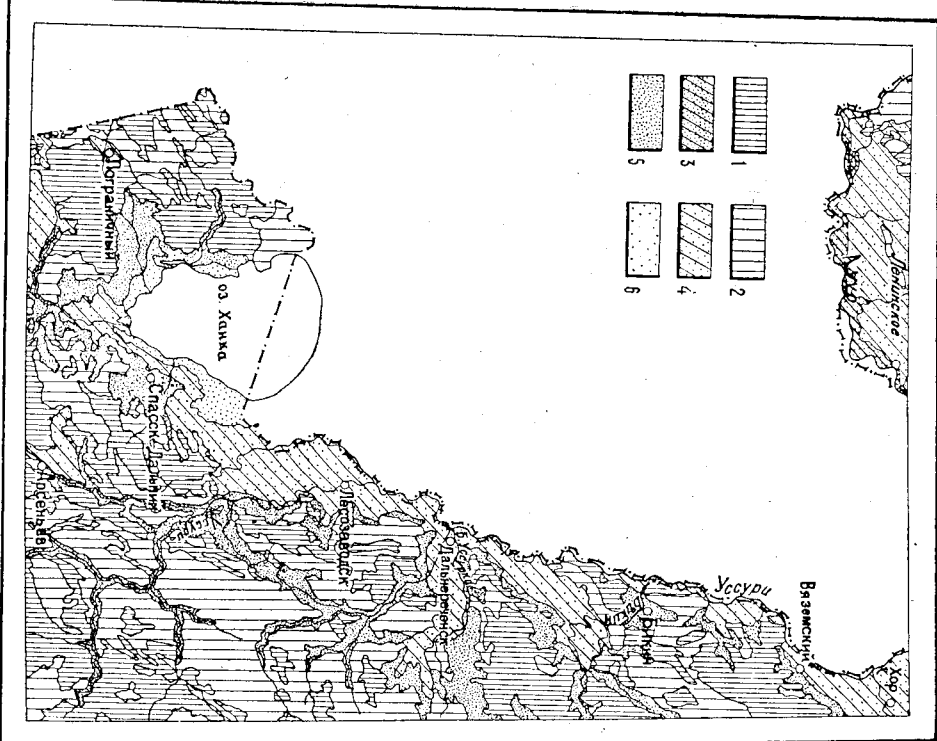


Рис. 7. Схема водообильности пород. Составили А. В. Зуев, В. А. Кирюхин. Водообильность водонапорных комплексов в зоне трещиноватости. Преводализация дебита источников (л/сек): 1 — 0,3—0,1; 2 — 0,1; 3 — 1000—500; 4 — 500—100; 5 — до 10.

виальных отложений по распадкам. В равнинных областях в пределах артезианских бассейнов зона свободного водобмена достигает мощности 100—150 м (на водоразделах). Скорость движения подземных вод колеблется от долей до нескольких метров в сутки. Условия водобмена ниже местного близка эрозии выяснены слабо. Судя по незнанием величинам уклонов, небольшим коэффициентам фильтрации (до 2—3 м/сутки) и пристости (несколько процентов), в напорных водоносных горизонтах, залегающих на глубинах 100—300 м, скорость движения подземных вод не превышает нескольких сантиметров в сутки.

бинах более 2 км обнаружены соленые хлоридные натриевые воды с минерализацией 11 г/кг.

Исходя из полученных данных, можно сделать вывод, что градиент роста минерализации с глубиной равен 80—150 мг/кг на 100 м, а нижняя граница пресных вод (1 г/кг) проходит в артезианских и альартезианских бассейнах на глубинах 700—1200 м. Состав вод с Минерализацией 0,5—1 г/кг преимущественно гидрокарбонатный натриевый. В наиболее глубоких частях артезианских и альартезианских бассейнов, а также в их фундаменте могут быть обнаружены воды гидрокарбонатно-хлоридного и хлоритного натриевого состава с Минерализацией до 2—3 г/кг, а в отдельных случаях до 10—15 г/кг. Указанная зональность нарушается в восточной части территории, где наблюдаются воды гидрокарбонатного кальция.

циевого состава с минерализацией до 2—3 г/л. Газовая зональность изучена недостаточно. Судя по опробованию отдельных скважин в Средне-Амурском и Уссури-Ханкайском артезианских бассейнах, выделяются примерно следующие зоны: кислородно-углекислотно-азотная до глубины 70—100 м, углекислотно-метано-азотная до глубины 200—300 м, водородно-метано-азотная до глубины 1000 м и водородно-азотно-метановая глубже 1000 м.

в водах приповерхностного и ких бассейнах подзоны очень и захватывает почевые во- ды, Верховодку и частично грунтовые воды. Состав этических вод кремнистый гидро- карбонатный магниево-на- триево-кальциевый. Минера- лизация 0,1—0,5 г/лкг явля- ется предельной для вод гидрогеологических масси- вов и вулканогенных супер- бассейнов (для изученных глубин 500—800 м). В адар- топочечных и артезианских

бассейнах воды с такой минерализацией обнаружены на глубине 30—800 м, чаще в интервале 100—400 м. Состав вод гидрокарбонатный кальциевый и кальциево-натриевый. Воды с минерализацией более 0,5 г/кг вскрыты лишь в отдельных скважинах. В скважинах, B. C. Вадимовых на глубине 220—402 м в песчаниках и конгломератах воды имеют со-

Температурная зональность подземных вод проявляется неравномерно. В Средне-Амурском, Бикинском, Липовецком участках Уссурийского артезианского бассейна наблюдается тенденция нарастания температуры с глубиной. Соответственно геотермический градиент распределяется с 2,4 до 2,8 °С/4 м и с 2,2 до 3,9 °С/интервале глубин 100—1000 м. На Борисовском участке Раздольненского бассейна наблюдается обратная тенденция: геотермический градиент с глубиной падает с 4,5 до 1,5. Нижняя граница распространения холодных вод ( $20^{\circ}\text{C}$ ) проходит на глубине 250—630 м. Зона теплых вод ( $20$ — $36^{\circ}\text{C}$ ) прослеживается в интервале глубин от 250—630 м до 750—1100 м. Максимальные температуры вод обнаружены в Средне-Амурской впадине (Переяславский участок) на глубине 1040 м —  $35^{\circ}\text{C}$ , в Раздольненской впадине (Борисовский участок) — на глубине 1200 м —  $45^{\circ}\text{C}$ . Теплые воды в артезианских бассейнах залегают ближе к поверхности, чем в гидрогеологических массивах.

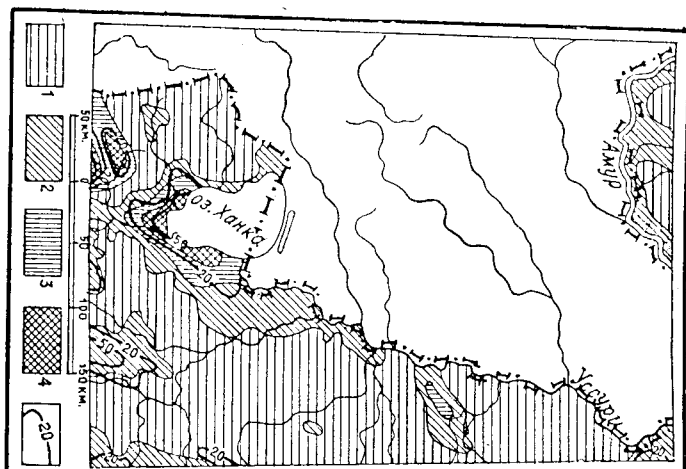


Рис. 8. Схема гидрохимических поясов с данными по геотермике. Составил В. А. Кирюхин.

Гидрохимические пояса: 1 — пойзона А<sub>0</sub>; 2 — подзоной А<sub>5</sub>; 3 — по зонам А<sub>1</sub>; 4 — зоной А<sub>3</sub> (цифра в индексе) гидрохимического пояса показывает максимальную минерализацию подземных вод данного пояса; 5 — границей нерадикализации вод с температурой 20° и 50°.

а в Контровод-Алчанском бассейне (с. Наларовка) на глубинах 26—350 м:

В Раздольненском адар-  
тезианском бассейне на глу-

Воды зон затрудненного и весьма затрудненного водообмена, за исключением отдельных ограниченных участков, не получают пополнения. В этих зонах создается напорный режим фильтрации и диффузии, вызванный возрастанием с глубиной роли геостатического давления и отжиманием под его действием поровых вод от наиболее погруженных частей артезианских бассейнов к их периферии.

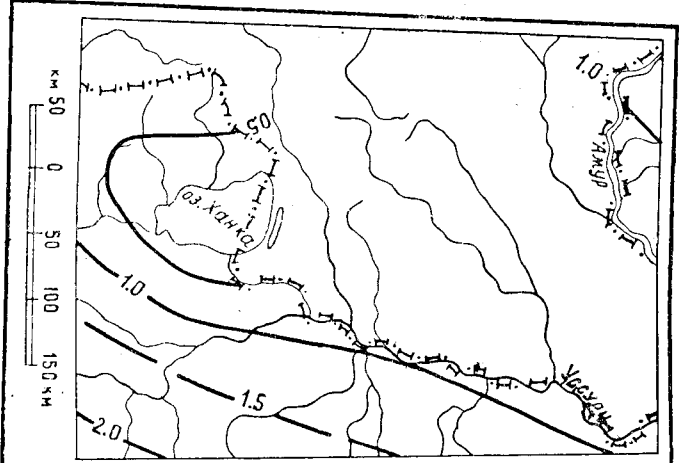
**Режим подземных вод.** Для рассматриваемой территории характерно три типа режима подземных (грунтовых) вод: водоразделенный, склоновый и приречный. Водоразделенный тип режима наиболее изменчив и характеризуется наибольшими амплитудами уровня подземных вод: до 20—30 м в горных районах и до 0,5—3 м в равнинных районах, резкими колебаниями ресурсов подземных вод (вплоть до полного их исчезновения в отдельные периоды в горных районах), значительными изменениями степени минерализации вод (уменьшение летом, увеличение в 1,5—2 раза зимой), а также химического состава их и температуры.

Склоновый тип режима отмечается также эпизодическими колебаниями уровня подземных вод (до 12—17 м в горных районах), ледобитов источниками (от полного истощения в межениевые периоды до 10—12 л/сек после выпадения осадков), степенями минерализации, химического состава и температуры (до 1—3°C). Водоразделенный и склоновый типы режимов определяются характером и интенсивностью водно-атмосферного питания. Влияние этого питания наблюдается в водах водоразделов и склонов через несколько часов после начала инфильтрации осадков. Приречный тип режима, наряду с водно-атмосферным питанием, обусловлен также инфильтрацией поверхностных вод во время паводков. Подпор подземных вод реками наблюдается в течение 1—1,5 месяца после паводка.

Паводковая волна уходит на расстояние 2—3 км от реки со скоростью 50—200 м/сутки. Поэтому пики уровня подземных вод заходят в зону приречного режима по отношению к пикам поверхностных вод на несколько дней. Амплитуда колебания уровня подземных вод в зоне приречного режима равна 0,2—0,5 м. Колебания температуры вод составляют 4—12°C, минерализации 40—100 мг/л.

**Практическое значение подземных вод.** Подземные воды пригодны для водоснабжения почти повсеместно. Наиболее полно они используются в крупных населенных пунктах, где часто наблюдаются обширные деградационные воронки. Использование подземных вод пока составляет 3—5% от суммарных запасов.

Рис. 9. Схема подземного стока (по Б. Н. Куделеву) в изолиниях среднемноголетних модулей подземного стока в л/сек с 1 км<sup>2</sup>.



Изолинии среднемноголетних модулей подземного стока в л/сек с 1 км<sup>2</sup>.

меняется от 0,5 л/сек на квадратный километр в артезианских бассейнах до 4 л/сек в гидрогеологических массивах. Наибольшая производительность скважин (10—55 л/сек) получена в современных аллювиальных и плюценовых песчано-гравийно-галечных отложениях, а также в карбонатных породах нижнего кембрия. Эти отложения наиболее перспективны для поисков и разведки подземных вод в целях водоснабжения. В некоторых районах (в долине р. Уссури и ее притоков) использование подземных вод ограничивает повышенное содержание железа (до 10—20 мг/л).

Минеральные воды используются на курорте Шмаковка и на заливке по разливу вод «Ласточка». Минеральные воды способствуют широкому развитию переувлажненных и заболоченных земель в Ханкайской и Средне-Амурской впадинах. Важную роль в этом играют воды верховодки, залегающие на суглинисто-глинистом покрове. Грутовые воды влияют на заболачивание при глубине их залегания до 3—5 м. Такие участки широко развиты на пойменных и частично надпойменных террасах.

## СПИСОК ЛИТЕРАТУРЫ

1. Авров В. Я. Прогноз газоносности СССР. Л., Гостоптехиздат, 1963, 171 с.
2. Анерт Э. Э., Криштофович А. Н. Геологический очерк Приморья.—В кн.: Климатические условия Приморья. Б. м., 1923, с. 51—61.
3. Анерт Э. Э. Богатство недр Дальнего Востока. Хабаровск — Владивосток, «Кинжское лето», 1928, с. 898.
4. Беляевский Н. А. Громов Ю. Я. Центральный Сихотэ-Алинский структурный шов.—«ДАН СССР», 1955, т. 103, № 1, с. 109—111.
5. Беляевский Н. А. Сихотэ-Алинская складчатая область.—В кн.: Геологическое строение СССР, т. 3, М., Госгеотехиздат, 1958, с. 189—203.
6. Берсенев И. И. Основные черты тектоники Приморского края.—В кн.: Материалы к Первой Всес. конф. по геологии и металлогении Тихоокеанского рудного пояса. Вып. 1, Владивосток, 1960, с. 30—34.
7. Берсенев И. И. Итоги геологического изучения Приморья за сорок лет Советской власти.—«Сов. геол.», 1962, № 11, с. 6—14.
8. Боровиков П. П., Коренбаум В. С., Левинский В. В. Металлодиагностика вермикулита в Приморье.—«Инф. сб. ПГУ», 1962, № 3, с. 57—63.
9. Бурда А. И., Неволин Л. А., Соловьев В. О. Дауринский разлом.—«Сов. геол.», 1963, № 5, с. 129—133.
10. Варнавский В. Г. Литология, фауна и палеогеографическая обстановка третичного осадконакопления на территории Хабаровского р-на.—В кн.: Геоморфология, палеогеография, геол. и палеоз. ископ. Приамурья, Хабаровск, 1964, с. 85—95.
11. Верещагин В. Н. Новые данные о местных отложениях западного склонна Сихотэ-Алиня.—«Тр. ВСЕГЕИ», 1964, т. 107, с. 91—94.
12. Ганелин Г. С. Основные этапы истории развития рельефа Приморья.—В кн.: Мат-лы по четверт. геол. и геоморфологии СССР, нов. серия, вып. 1, Л., Госгеотехиздат, 1956, с. 52—75.
13. Ганелин Г. С. Геоморфология Приморья. Объяснительная записка к геоморфологической карте Приморского края и сопредельных территорий масштаба 1:500 000.—«Тр. ВСЕГЕИ», 1957, 133 с.
14. Ганелин Г. С. Стратиграфия верхнечетвертичных и четвертичных отложений Сихотэ-Алиня.—«Мат-лы ВСЕГЕИ», 1959, вып. 27, с. 77—87.
15. Гапеева Г. М. Шлекочные базальтолиты Кировской возвышенности.—«ЗВМО», 1964, ч. 93, вып. 3, с. 304—317.
16. Геология Приморского края. Дальневост. кн. из-во, 1965, 351 с.
17. Геологическое районирование южной части Дальнего Востока.—В кн.: Мат-лы по геол. и полез. ископ. СССР, Л., 1950, с. 35—47. Авт.: Н. А. Беляевский, М. И. Ильинсон, Л. И. Красный, С. А. Музичев.
18. Геология СССР, т. XXXII. Пол. рег. И. И. Берсенева. М., «Недра», 1955 с.
19. Гидрогеология СССР, т. XXV. Пол. рег. Н. А. Маринова М., «Недра», 1968, 519 с.
20. Громов Ю. Я. Стратиграфия синия и кембрия Южного Приморья.—«Сов. геол.», 1958, № 6, с. 44—53.
21. Громов Ю. Я. Тектоника и история формирования Уссури-Ханкайского срединного массива.—«Сов. геол.», 1959, № 12, с. 40—51.
22. Евланова М. А., Окунева О. Г. Новые данные о возрасте карбонатных толщ (пермоякская свита) Вознесенского р-на Приморского края.—«Инф. сб. ПГУ», 1971, № 7, с. 6—9.
23. Кирюхин В. А. Основные черты гидрогеологии архангельских бассейнов Дальнего Востока.—«Зап. ЛГИ», 1962, т. 44, вып. 2, с. 29—45.
24. Коренбаум В. С., Федина Г. Н. Некоторые закономерности пространственного размещения пематитовых полей Приморья.—В кн.: Геол. и металлогения сов. сектора Тихоокеанского рудного пояса. М., Изд-во АН СССР, 1963, с. 467—469.
25. Кропоткин П. Н., Шахрастова К. А., Салун С. А. Тектоника некоторых вопросов металлогении южной части советского Дальнего Востока.—В кн.: Мат-лы по геол., матм. и рудным минералам Дальнего Востока и Забайкалья. М., Изд-во АН СССР, т. 2, 1953, с. 78—93.

26. Кулнич Р. Г., Толмачева Л. С., Жуковская А. В. Элементы тектоники Ханкайского массива и его обрамления (по геофизическим данным).—В кн.: Всесмай конф. молод. ученых Дальнего Востока. Изд. ДВФ СО АН СССР, Владивосток, 1965, с. 44—51.

27. Лазарев А. З. Допалеозой Дальневосточного края.—«Тр. 17 Междунар. геол. конгр.», т. 2, М., 1959, с. 209—212.

28. Лицк Ф. С., Черткасская М. И. Новые данные о распространении и характере палеозойских отложений в западном Сихотэ-Алине.—«Инф. сб. ПГУ», 1971, № 7, с. 9—12.

29. Липкин Ю. С. Некоторые особенности строения Ханкайского массива и история его формирования.—В кн.: Вопр. геол. сев.-зап. сектора Тихоокеанского руд. пологий нижнего докембрия массива.—«Инф. сб. ПГУ», 1964, № 5, с. 19—22.

30. Лицк Ф. С. Новые данные о распространении и характере палеозойских отложений в западном Сихотэ-Алине.—«Инф. сб. ПГУ», 1971, № 7, с. 9—12.

31. Мигута А. К. Геологическое строение и угленосность Раковской депресии.—«Соболи. ДВФ СО АН СССР», вып. 13, 1960, с. 21—26.

32. Мишкин М. А., Мишкина И. В. Новые данные по стратиграфии и петрологии нижнего докембрия Ханкайского массива.—«Инф. сб. ПГУ», 1964, № 5, с. 19—22.

33. Никольская В. В. О нахождении костей трионтриевого слоя в четвертичных отложениях юга советского Дальнего Востока.—В кн.: Пробл. физ. географ. т. 17, М., Изд-во АН СССР, 1951, с. 224—228.

34. Новые данные по стратиграфии аллювиальных, озерно-аллювиальных и зернистых четвертичных отложений Приморья и Среднего Приамурья.—«Сов. геол.», 1962, № 9, с. 78—86. Авт.: И. И. Берсенев, В. Ф. Морозова, С. А. Салун, П. Н. Соловьев.

35. Общие черты геологического строения южной части Дальнего Востока.—В кн.: Соврем. по разработке инф. стратиграф. схем Дальнего Востока. Хабаровск, 1956, с. 5—6. Авт.: Н. А. Беляевский, М. Г. Золотов, Л. И. Красный, М. С. Нагибина.

36. Овсянников Н. В. Каменные строительные материалы.—В кн.: Палеозойские ископаемые Дальневосточного края. Т. 1, Владивосток, Изд-во ДВФ АН СССР, 1962, № 9, с. 78—86. Авт.: И. И. Берсенев, В. Ф. Морозова, С. А. Салун, П. Н. Соловьев.

37. Радкевич Е. А. Золоторудные формации Дальнего Востока. М., «Наука», 1969, 136 с.

38. Руб М.-Г. Границы Приханкайского района и основные черты их металлическости.—«Тр. ИГЕМ», 1960, вып. 33, 359 с.

39. Руб М.-Г., Заливак Б. Л. Шлеконные интрузивные породы Приморского края.—«Изв. АН СССР», сер. геол., 1964, № 10, с. 80—102.

40. Салун С. А. Основные черты тектоники и истории развития фундамента Сихотэ-Алинской области.—«БМОИ», 1963, т. 38, № 6, с. 3—16.

41. Сей И. И., Калачева Е. Д. Новые данные по стратиграфии нижнеприморских отложений южного Сихотэ-Алиня.—«ДАН СССР», 1971, т. 198, № 4, с. 919—924.

42. Сильянов В. Н. Фудзино-Иманский сдвиг.—«Изв. АН СССР», сер. геол., 1963, № 2, с. 39—49.

43. Ситников В. К. Полезное питание рек Дальнего Востока.—«Тр. Гидрогеол. ин-та», 1964, вып. 114, с. 161—170.

44. Смирнов А. М. О соотношении Монголо-Охотского и Тихоокеанского складчатых поясов и Китайской платформы.—«Изв. АН СССР», сер. геол., 1958, № 8, с. 76—92.

45. Соловьев В. Б. Следы древнего оледенения и перигляциальных условий в южном Приморье.—«Тр. ВСЕГЕИ», 1961, т. 64, с. 141—148.

46. Соловьев В. Б., Зданская Г. Г. Стратиграфия голоценов южного Приморья и Сахалина (по данным спрово-полилитового анализа).—«Инф. сб. ВСЕГЕИ», 1961, № 52, с. 49—59.

47. Стратиграфия четвертичных отложений Сахалина и сопредельных районов материала (по данным спрово-полилитового анализа).—«Тр. ВСЕГЕИ», 1967, т. 145, с. 208—228. Авт.: В. Г. Бесталый, Г. Г. Зданская и др.

48. Хетчиков Л. Н. Геологические исследования в южной части Дальнего Востока за 35 лет Советской власти.—В кн.: Наука на Дальнем Востоке. Владивосток, 1957—1958, с. 7—21.

49. Чемеков Ю. Ф. Древние отложения Дальнего Востока СССР.—«Мат-лы ВСЕГЕИ», нов. серия, вып. 42, 1961, с. 139—174.

50. Чемков Ю. Ф. Каолиноколеражные породы юга Дальнего Востока СССР как возможный источник электротермического алюминия.—«Тр. ВСЕГЕИ», 1964, т. 107, с. 175—185.

51. Шехоркин А. Ф. Формация рифов и нижнего кембрия Ханкайского массива Приморья. М., «Наука», 1966, с. 96.

52. Южная часть Дальнего Востока. Под ред. И. П. Герасимова. М., «Наука», 1969, 419 с.